

Uredaj za čišćenje staklenih pročelja zgrada

Janjiš, Ivan

Master's thesis / Diplomski rad

2015

Degree Grantor / Ustanova koja je dodijelila akademski / stručni stupanj: **University of Zagreb, Faculty of Mechanical Engineering and Naval Architecture / Sveučilište u Zagrebu, Fakultet strojarstva i brodogradnje**

Permanent link / Trajna poveznica: <https://urn.nsk.hr/urn:nbn:hr:235:612765>

Rights / Prava: [In copyright/Zaštićeno autorskim pravom.](#)

Download date / Datum preuzimanja: **2024-05-06**

Repository / Repozitorij:

[Repository of Faculty of Mechanical Engineering and Naval Architecture University of Zagreb](#)



SVEUČILIŠTE U ZAGREBU
FAKULTET STROJARSTVA I BRODOGRADNJE

DIPLOMSKI RAD

Ivan Janjiš

Zagreb, 2015.

SVEUČILIŠTE U ZAGREBU
FAKULTET STROJARSTVA I BRODOGRADNJE

DIPLOMSKI RAD

Mentori:

Prof. dr. sc. Dorian Marjanović, dipl. ing.

Student:

Ivan Janjiš

Zagreb, 2015.

Izjavljujem da sam ovaj rad izradio samostalno koristeći stečena znanja tijekom studija i navedenu literaturu.

Zahvaljujem se mentoru, prof. dr. sc. Dorianu Marjanoviću na ukazanom povjerenju, strpljenju i pomoći tijekom izrade ovog rada. Zahvaljujem se svojim roditeljima što su mi omogućili sve što sam do sada postigao.

Ivan Janjiš



SVEUČILIŠTE U ZAGREBU
FAKULTET STROJARSTVA I BRODOGRADNJE



Središnje povjerenstvo za završne i diplomske ispite

Povjerenstvo za diplomske ispite studija strojarstva za smjerove:
procesno-energetski, konstrukcijski, brodostrojarski i inženjersko modeliranje i računalne simulacije

Sveučilište u Zagrebu Fakultet strojarstva i brodogradnje	
Datum	Prilog
Klasa:	
Ur.broj:	

DIPLOMSKI ZADATAK

Student:

Mat. br.:

Naslov rada na
hrvatskom jeziku:

Naslov rada na
engleskom jeziku:

Opis zadatka:

Zadatak zadan:

Rok predaje rada:

Predviđeni datumi obrane:

Zadatak zadao:

Predsjednik Povjerenstva:

Prof. dr. sc. Zvonimir Guzović

SADRŽAJ

SADRŽAJ	I
POPIS SLIKA	III
POPIS TABLICA.....	V
POPIS TEHNIČKE DOKUMENTACIJE	VI
POPIS OZNAKA	VII
SAŽETAK.....	X
SUMMARY	XI
1. UVOD	1
2. STAKLENO PROČELJE.....	2
2.1. Industrijsko staklo	2
2.1.1. Industrijsko staklo za staklena pročelja	4
2.2. Strukturalni panel pročelja	7
2.2.1. Dvostruki strukturalni panel.....	8
2.3. Vrste staklenih pročelja.....	9
3. ČIŠĆENJE STAKLENOG PROČELJA	12
3.1. Nečistoće na staklenom pročelju.....	12
3.2. Metode čišćenja staklenih pročelja	15
3.2.1. Ručno (manualno) čišćenje	15
3.2.2. Poluautomatsko čišćenje	16
3.2.3. Automatsko čišćenje	17
3.3. Tehnologije čišćenja	18
3.3.1. Čišćenje kemijskim sredstvima i vodom	19
3.3.2. Čišćenje sustavima reverzne osmoze	19
3.4. Smjernice i standardi za čišćenje staklenih pročelja	20
4. ANALIZA TRŽIŠTA	22
4.1. Svjetsko tržište staklenih površina	22
4.2. Evropsko tržište staklenih površina	22
4.3. Tržište staklenih pročelja	23
4.4. Troškovi čišćenja staklenih pročelja	23
4.5. Uređaji za čišćenje staklenih pročelja	24
4.5.1. Uređaji za ručno čišćenje	24
4.5.2. Poluautomatizirani uređaji za čišćenje.....	24
4.5.3. Automatizirani uređaji za čišćenje	25
4.6. Proizvođači uređaja za čišćenje staklenih pročelja	26
5. DEFINIRANJE PROJEKTNOG ZADATAKA.....	29
5.1. Funkcijska struktura	30
5.2. Morfološka matrica.....	31
5.3. Konceptualna rješenja	33
5.3.1. Koncept 1	33
5.3.2. Koncept 2	36

5.3.3.	Koncept 3	39
5.3.4.	Evaluacija koncepata.....	42
6.	KONSTRUKCIJSKA RAZRADA ODABRANOG KONCEPTA.....	44
6.1.	Proračun pogonskog mehanizma	45
6.1.1.	Linearni pogon	45
6.1.1.1.	Odabir kugličnog vretena.....	47
6.1.1.2.	Proračun vijaka za pričvršćenje nosive konstrukcije linearног pogona	49
6.1.2.	Rotacijski pogon	50
6.1.2.1.	Dimenzioniranje vratila	50
6.1.2.2.	Proračun zavara glavine pogonskog mehanizma.....	63
6.2.	Ostvarivanje kontakta sa površinom stakla.....	68
6.2.1.	Odabir vakuumskih hvataljki	68
6.2.2.	Određivanje potrebnog podtlaka vakuum pumpe	71
6.2.3.	Odabir vakuum pumpe.....	72
6.2.4.	Odabir perifernih uređaja	73
6.2.4.1.	Odabir kompenzatora visine vakuumskih hvataljki.....	75
6.2.4.2.	Odabir rotirajućih zglobovnih mehanizama vakuumskih hvataljki	75
6.2.4.3.	Odabir spojnih cijevi za stvaranje vakuma	76
6.3.	Čišćenje staklenih pročelja.....	77
6.3.1.	Odabir generatora pare.....	77
6.3.2.	Odabir spremnika vode	79
6.3.3.	Odabir sustava za pročišćavanje vode	80
6.3.4.	Odabir mlaznica vodene pare.....	80
6.3.5.	Odabir gumenih brisača	81
6.4.	Nosiva konstrukcija.....	82
6.4.1.	Proračun kritičnog zavara	82
6.4.2.	Proračun maksimalnog progiba	84
6.5.	Odabir napajanja uređaja	87
6.6.	Upravljanje, regulacija i sigurnost u radu	89
6.7.	Izrada 3D modela odabranog koncepta.....	90
7.	ZAKLJUČAK.....	92
LITERATURA.....		94
PRILOZI.....		96

POPIS SLIKA

Slika 1.	Ostakljena pročelja visokih zgrada.....	2
Slika 2.	Proizvodnja stakla postupkom tečenja	3
Slika 3.	Toplinski izolirana stakla (low-E).....	5
Slika 4.	Stakla za kontrolu solarnog zagrijavanja.....	5
Slika 5.	Laminirano staklo.....	6
Slika 6.	Zvučno izolacijsko staklo	6
Slika 7.	Samočistivo staklo.....	7
Slika 8.	Strukturalni panel	7
Slika 9.	Dijagram izolacijskih svojstava panela	8
Slika 10.	Prekinuti i neprekinuti dvostruki paneli	9
Slika 11.	Strukturalna staklena pročelja	10
Slika 12.	Polustrukturalna staklena pročelja.....	10
Slika 13.	Kontinuirana staklena pročelja	11
Slika 14.	Spider staklena pročelja.....	11
Slika 15.	Primjeri nečistoće od prašine – rendgenski snimak	12
Slika 16.	Primjeri nečistoća u obliku prljavština – rendgenski snimak.....	13
Slika 17.	Primjeri nečistoća od lipida – rendgenski snimak.....	13
Slika 18.	Renderiranje nečistoća za određivanje rasipanja.....	14
Slika 19.	Primjer različitih optičkih debljina slojeva, τ	15
Slika 20.	Ručna metoda čišćenja	16
Slika 21.	Poluautomatska metoda čišćenja.....	17
Slika 22.	Automatska metoda čišćenja	18
Slika 23.	Reverzna osmoza.....	19
Slika 24.	Proizvodnja ravnog stakla u svijetu.....	22
Slika 25.	Uređaji za ručno čišćenje	24
Slika 26.	Poluautomatizirani uređaji za čišćenje	25
Slika 27.	Automatizirani uređaji za čišćenje	26
Slika 28.	Ettore – uređaji za čišćenje staklenog pročelja	27
Slika 29.	Unger – uređaji za čišćenje staklenog pročelja	27
Slika 30.	Serbot – robotski čistač Gekko.....	28
Slika 31.	Funkcijska struktura	31
Slika 32.	Morfološka matrica	32
Slika 33.	Koncept 1	33
Slika 34.	Koncept 1 – dizalica	34
Slika 35.	Koncept 2	36
Slika 36.	Koncept 2 – sustav za pročišćavanje vode	37
Slika 37.	Koncept 2 - Dizalica.....	37
Slika 38.	Koncept 3 – gornji dio uređaja bez poklopca	39
Slika 39.	Koncept 3 - donji dio uređaja / mehanizam kretanja.....	40
Slika 40.	Opterećenje mehanizma za linearno gibanje	45
Slika 41.	Linearna jedinica THOMSON MF100.....	47
Slika 42.	Servo motor KOLLMORGEN AKM 41X	47
Slika 43.	Opterećenje vratila	50
Slika 44.	Presjeci idealnog oblika vratila	52
Slika 45.	Stupnjevano vratilo pogonskog mehanizma.....	56
Slika 46.	Konačni oblik vratila pogonskog mehanizma	61
Slika 47.	Servo motor BMH1002T.....	63
Slika 48.	Opterećenje zavara na glavini pogonskog mehanizma	64

Slika 49.	Presjek zavara na glavini pogonskog mehanizma	64
Slika 50.	Vakuumска zdjelica ANVERFLEX OC32-150	69
Slika 51.	Vakuumска zdjelica FIPA 470x60	70
Slika 52.	Rotacijska vakuum pumpa INECO RV22	72
Slika 53.	FESTO VTUB, prema [FESTO]	73
Slika 54.	FESTO VABM	74
Slika 55.	Kompenzator visine SALSA-330	75
Slika 56.	ANVER SW38F-38M-G	76
Slika 57.	FESTO PAN-MF-10x1,25-SW	76
Slika 58.	CELLKRAFT E-3000	78
Slika 59.	Spremnik vode T12NA-2BC	79
Slika 60.	Sustav pročišćavanja vode AAA-245P	80
Slika 61.	Mlaznica vodene pare LECHLER 540.909.16.CA	81
Slika 62.	Gumeni brisač	81
Slika 63.	Opterećenje zavara na nosivoj konstrukciji	82
Slika 64.	Presjek zavara nosive konstrukcije	83
Slika 65.	Prikaz mreže konačnih elemenata na bočnoj ploči	86
Slika 66.	Prikaz ukupnih naprezanja na bočnoj ploči – računalna metoda	86
Slika 67.	Prikaz progiba na bočnoj ploči – računalna metoda	87
Slika 68.	Baterija WB-LYP700AHA	88
Slika 69.	Senzor UM30	89
Slika 70.	3D model uređaja za čišćenje staklenih pročelja	90
Slika 71.	Prikaz 3D modela sa otvorenim poklopcom	91
Slika 72.	Prikaz uređaja s donje strane (prikaz pogonskog mehanizma)	91

POPIS TABLICA

Tablica 1. Specifikacije kaljenog stakla, prema [25]	4
Tablica 2. Nečistoće na staklenom pročelju.....	14
Tablica 3. Cijena čišćenja zgrade sa staklenim pročeljem	23
Tablica 4. IPC Eagle – Proizvodi za čišćenje staklenih pročelja	27
Tablica 5. Specifikacije postojećih automatiziranih uređaja	28
Tablica 6. Glavne potrebe korisnika.....	29
Tablica 7. Evaluacija koncepata	42
Tablica 8. Karakteristike linearne jedinice sa kugličnim vretenom, prema [11]	48
Tablica 9. Specifikacije servo motora Kollmorgen AKM 41X, prema [12]	48
Tablica 10. Specifikacije elektromotora SCHNEIDER BMH1002T, prema [14]	63
Tablica 11. Specifikacije vakuumske zdjelice ANVERFLEX OC32-150, prema [15]	69
Tablica 12. Specifikacije vakuumske zdjelice FIPA 470x60, prema [16]	70
Tablica 13. Specifikacije vakuum pumpe INECO RV22, prema [17]	73
Tablica 14. Specifikacije FESTO VTUB, prema [18]	74
Tablica 15. Specifikacije FESTO VABM, prema [18]	74
Tablica 16. Specifikacije SALSA-330, prema [15]	75
Tablica 17. Specifikacije ANVER SW38F-38M-G, prema [15]	76
Tablica 18. Specifikacije FESTO PAN-MF-10x1,25-SW, prema [18]	77
Tablica 19. Specifikacije CELLKRAFT E-3000, prema [19].....	78
Tablica 20. Specifikacije T12NA-2BC, prema [20].....	79
Tablica 21. Specifikacije AMI AAA-245P, prema [21]	80
Tablica 22. Specifikacije LECHLER 540.909.16.CA, prema [22]	81
Tablica 23. Specifikacije WB-LYP700AHA, prema [23]	88
Tablica 24. Specifikacije senzora UM30, prema[24].....	89

POPIS TEHNIČKE DOKUMENTACIJE

BROJ CRTEŽA	Naziv iz sastavnice
IJ-11/15-001	Automatizirani uređaj za čišćenje staklenih pročelja–poklopac zatvoren
	Automatizirani uređaj za čišćenje staklenih pročelja–poklopac otvoren
IJ-11/15-002	Linearni pogonski mehanizam
IJ-11/15-003	Nosiva konstrukcija linearног pogonskog mehanizma
IJ-11/15-004	Nosiva konstrukcija
IJ-11/15-005	Vratilo
IJ-11/15-006	Glavina linearног pogonskog mehanizma
IJ-11/15-007	Glavina vratila
IJ-11/15-008	Glavina elektromotora za rotaciju pogonskog mehanizma
IJ-11/15-009	Nosač pokretnih vakuumskih hvataljki
IJ-11/15-010	Nosač linearног pogonskog mehanizma
IJ-11/15-011	Nosiva ploča
IJ-11/15-012	Bočna ploča – vertikalna
IJ-11/15-013	Bočna ploča – horizontalna
IJ-11/15-014	Poklopac

POPIS OZNAKA

Oznaka	Jedinica	Opis
a	mm	Udaljenost reakcijske sile u osloncu A od oslonca B
A_j	mm^2	Površina presjeka jezgre vijka
A_{VZ}	mm^2	Površina vakuumske zdjelice
A_z	mm^2	Površina presjeka zavara
b	mm	Udaljenost sile težine pogonskog mehanizma od oslonca B
b_1		Faktor veličine
b_2		Faktor kvalitete površine
C	N	Dinamička nosivost ležaja
d	mm	Promjer vratila na određenom presjeku
d_v	mm	Nazivni promjer vijka
D_z	mm	Vanjski promjer presjeka zavara
d_z	mm	Unutarnji promjer presjeka vratila
E	N/mm^2	Modul elastičnosti
F	N	Sila na promatranom presjeku
f	mm	Progib bočne ploče
F_A	N	Sila u osloncu A
F_a	N	Aksijalna sila koja opterećuje ležaj
$F_{a,z}$	N	Aksijalna sila koja tlačno opterećuje presjek zavara
F_{aks}	N	Aksijalna sila potrebna za pogon linearног mehanizma
F_{Bh}	N	Horizontalna sila u osloncu B
F_{Bv}	N	Vertikalna sila u osloncu B
F_{max}	N	Maksimalna sila na vijku
f_{max}	mm	Maksimalni progib bočne ploče
F_N	N	Normalna sila na podlogu
F_r	N	Radijalna sila koja opterećuje ležaj
F_{tr}	N	Sila trenja na podlozi
F_{tr1}	N	Sila trenja na nepokretnim vakuumskim hvataljkama na nosivoj konstrukciji
F_{tr2}	N	Sila trenja na pokretnim vakuumskim hvataljkama
F_v	N	Sila u vretenu
g	m/s^2	Ubrzanje zemljine sile teže
G_{pog}	N	Težina pogonskog mehanizma
G_{pret}	N	Prepostavljena težina uređaja
h_{pp}	kJ/kg	Entalpija pregrijane pare
h_{pv}	kJ/kg	Entalpija pothlađene vode
$I(x,y)$	dpi	Rezolucija slike promatranog stakla
I_{bp}	mm^4	Moment tromosti bočne ploče
$I_{čisto}$	dpi	Rezolucija slike čistog dijela stakla

I_v	N	Impuls sile stvoren vakuumom
l_1	mm	Udaljenost između sile težine uređaja i pokretnih hvataljki
l_2	mm	Udaljenost između sile trenja nepokretnih hvataljki i pokretnih hvataljki
l_{bp}	mm	Duljina bočne ploče
M	Nm	Moment savijanja promatranog presjeka
m_{LP}	kg	Masa linearnog pogona
m_{NKLP}	kg	Masa nosive konstrukcije linearног pogona
m_{pret}	kg	Prepostavljena masa uređaja
M_{red}	Nm	Reducirani moment
M_{sz}	Nm	Moment savijanja koji opterećuje presjek zavara
m_{SMLP}	kg	Masa servo motora linearног pogona
M_x	Nm	Moment savijanja na promatranom presjeku
n	s^{-1}	Prepostavljeni broj okretaja
n_v		Broj vijaka
n_{VZ}		Broj vakuumskih zdjelica
$n_{VZ,np}$		Broj nepokretnih vakuumskih zdjelica
$n_{VZ,p}$		Broj pokretnih vakuumskih zdjelica
P	N	Ekvivalentno opterećenje ležaja
$p_{čiš}$	bar	Tlak čišćenja
P_{EM}	W	Potrebna snaga elektromotora
$P_{EM,L}$	W	Snaga potrebna za pogon elektromotora linearног pogona
$P_{EM,R}$	W	Snaga potrebna za pogon elektromotora za rotaciju pogonskog mehanizma
P_{GP}	W	Snaga potrebna za pogon generatora pare
P_o	W	Snaga potrebna za pogon ostalih uređaja
p_{pp}	bar	Tlak pregrijane pare
p_{pv}	bar	Tlak pothlađene vode
P_{rot}	W	Snaga potrebna za rotaciju pogonskog mehanizma
P_{uk}	W	Ukupna snaga potrebna za pogon uređaja
p_v	bar	Podtlak potreban za generiranje vakuma
P_{VP}	W	Snaga potreban za pogon vakuum pumpe
p_{vp}	bar	Podtlak vakuum pumpe
q_{mp}	kg/s	Maseni protok pare
q_{mv}	kg/s	Maseni protok vode
R_e	N/mm^2	Granica tečenja
R_m	N/mm^2	Vlačna čvrstoća
s	mm	Krak sile težine pogonskog mehanizma
S_{post}		Postojeća sigurnost
S_{potr}		Potrebna sigurnost
T	Nm	Moment uvijanja koji opterećuje promatrani presjek

T_z	Nm	Moment uvijanja koji opterećuje presjek zavara
$V_{čiš}$	m/s	Pretpostavljena brzina čišćenja
W	mm ³	Aksijalni moment otpora pojedinog presjeka vratila
$W_{t,z}$	mm ³	Torzijski moment otpora presjeka zavara
$W_{x,z}$	mm ³	Aksijalni moment otpora presjeka zavara
x	mm	Krak sile na promatranom presjeku
y		Aksijalni faktor ležaja
α_o		Faktor čvrstoće materijala vratila obzirom na način njegova opterećenja
β_{kf}		Faktor zareznog djelovanja kod savijanja
β_{kt}		Faktor zareznog djelovanja kod uvijanja
μ		Faktor trenja podloge
$\sigma_{dop,z}$	N/mm ²	Dopušteno naprezanje presjeka zavara
σ_{fDN}	N/mm ²	Trajna dinamička čvrstoća na savijanje pri izmjeničnom opterećenju
σ_{fDNdop}	N/mm ²	Dopušteno savojno naprezanje
σ_{red}	N/mm ²	Reducirano naprezanje
$\sigma_{red,z}$	N/mm ²	Reducirano naprezanje na presjeku zavara
$\sigma_{s,z}$	N/mm ²	Naprezanje zavara na savijanje
$\sigma_{t,z}$	N/mm ²	Tlačno naprezanje zavara
$\sigma_{uk,z}$	N/mm ²	Ukupno normalno naprezanje na presjeku zavara
$\tau(x,y)$	mm	Debljina sloja nečistoće
$\tau_{dop,v}$	N/mm ²	Dopušteno smično naprezanje na vijke
$\tau_{s,v}$	N/mm ²	Smično naprezanje vijke
$\tau_{s,z}$	N/mm ²	Smično naprezanje zavara
$\tau_{t,z}$	N/mm ²	Naprezanje zavara na uvijanje
τ_{tDI}	N/mm ²	Trajna dinamička čvrstoća na uvijanje pri izmjeničnom opterećenju
τ_{tdop}	N/mm ²	Dopušteno torzijsko naprezanje
$\tau_{uk,z}$	N/mm ²	Ukupno tangencijalno naprezanje presjeka zavara
φ		Faktor udara
ϕ_{pp}	kJ	Toplinski tok potreban za pregrijavanje pare
ω	rad/s	Kutna brzina definirana pretpostavljenim brojem okretaja

SAŽETAK

U ovom radu dano je rješenje za razvoj uređaja za automatizirano čišćenje staklenih pročelja zgrada. U razvoju uređaja potrebno je osigurati produktivno čišćenje staklenih površina uz poštivanje sigurnosnih zahtijeva i ekoloških kriterija. Tijekom razvoja potrebno je uzeti u obzir djelotvornost čišćenja u različitim vremenskim uvjetima i gabaritima građevina. Potrebno je osigurati i odgovarajuće pozicioniranje i vođenje uređaja po cijelom pročelju građevine. U radu je provedena analiza tržišta te izrađena tehnička specifikacija uređaja. Nakon detaljne analize tržišta metodičkom razradom izrađena su konceptualna rješenja nakon kojih je odabранo jedno za detaljnju projektnu razradu. Odabrano projektno rješenje razrađeno je uz uporabu standardnih sklopova i dijelova te s potrebnim proračunima nestandardnih dijelova. Nakon razrade odabranog projektnog rješenja izrađen je 3D model uređaja i potrebna tehnička dokumentacija.

Ključne riječi: automatizirani uređaj za čišćenje, čišćenje staklenih pročelja, staklena pročelja

SUMMARY

In this paper a solution for automated building facades cleaning machine was given. In development of the machine, effective cleaning of glass surface, safety measures and ecological criteria had to be ensured. Cleaning in all types of weather and different building sizes also had to be ensured as do machine positioning and guiding on building glass facades. In the beginning of this paper, analysis of the market and technical specifications of the machine was provided. After detailed market analysis three conceptual solutions were given, which led to one solution being taken for further technical development. In development of the chosen conceptual solution, standard parts and assemblies were used and all nonstandard parts were designed with proper technical calculation. After development of all parts and assemblies of chosen conceptual solutions, a 3D model with proper technical documentation was given.

Key words: automated building facades cleaning machine, window cleaning machine, high rise cleaning

1. UVOD

Uporaba staklenih pročelja trend je koji se danas prati pri izgradnji novih građevina, posebno visokih poslovnih i stambenih zgrada. Razlog tome je veća estetska vrijednost same građevine, ali i energetska učinkovitost koja se postiže uporabom modernih stakala koja imaju vrlo povoljna izolacijska svojstva (toplinska, zvučna, svjetlosna, itd.). Dobra izolacijska svojstva modernih staklenih pročelja omogućena su novom konstrukcijom samog staklenog pročelja (dvostruki i trostruki strukturni panel) te nanošenjem odgovarajućih premaza na površinu stakla. Upravo ti premazi zahtijevaju poseban tretman održavanja odnosno čišćenja kako se ne bi oštetili i kako bi se očuvala njihova povoljna izolacijska svojstva. Građevine sa staklenim pročeljem danas se prema [7] moraju čistiti minimalno svakih 6 mjeseci, a ovisno o klimatskim uvjetima u kojima se građevina nalazi i češće. Čišćenje staklenih pročelja još se uvijek pretežito obavlja ručno gdje čovjek (čistač) pomoću platforme za održavanje građevine, dizalice ili ovješenog sjedala dolazi do svakog dijela staklenog pročelja i čisti ga. Ovakav način čišćenja poprilično je dugotrajan i skup te zahtjeva adekvatnu obuku za rad na visinama i korištenje odgovarajućih uređaja za čišćenje ljudi koji čiste. Sve veća visina građevina sa staklenim pročeljima otežava čišćenje samih pročelja (najviše vjetar) i povećava rizik od pada. Ti razlozi potakli su kroz zadnjih 10 godina razvoj poluautomatiziranih i automatiziranih uređaja za čišćenje pročelja koji bi trebali omogućiti sigurnost ljudi u čišćenju staklenih pročelja. Prednost korištenja ovakvih uređaja je osim sigurnosti i mogućnost korištenja čišćenja sustavom reverzne osmoze koji omogućuje čišćenje demineraliziranim vodom. Čišćenje ovakvim sustavom ne oštećuje površinu stakla (neovisno o vrsti premaza) i ekološki je vrlo prihvatljiv jer nije potrebno korištenje agresivnih sredstava za čišćenje. Danas postoji samo nekoliko automatiziranih uređaja za čišćenje staklenih pročelja koji većinom ostaju pričvršćeni za određenu građevinu koju čiste putem mobilne dizalice ili vozognog vitla na koje je takav uređaj ovješen. U ovom radu pokušat će se konstruirati automatizirani uređaj za čišćenje pročelja koji će moći na jednostavan, brz i ekološki prihvatljiv način čistiti staklena pročelja građevina te koji će se na što jednostavniji način moći prenositi s jedne na drugu građevinu.

2. STAKLENO PROČELJE

Pročelja građevina predstavljaju zaštitni, energetski i estetski vrlo bitan dio građevina. odnosno strukturalnih panela koji se sastoje od aluminijskog okvira i dva ili više stakala između kojih struji zrak. Na takve strukturalne panele najčešće se nanose premazi radi bolje energetske učinkovitosti, boljih izolacijska svojstva (toplinska i zvučna izolacija), odbijanja zračenja, prevelike količine svjetla i sl. Osim dobrih izolacijskih svojstava, staklene fasade zbog svoje transparentnosti omogućuju nesmetan prolaz svjetlosti, a time i zdravo radno okruženje. Staklena pročelja zbog svoje male mase (u odnosu na betonska, kamena i druga pročelja) idealna su za izgradnju visokih zgrada i drugih građevina što se može vidjeti u stvarnosti (Capital Gate, Abu Dhabi, The PTT HQ., Bangkok, The Sail Marina Bay, Singapore. [Slika 1]).



Capital Gate, Abu Dhabi.



The PTT HQ., Bangkok.



The Sail @ Marina Bay Singapore.

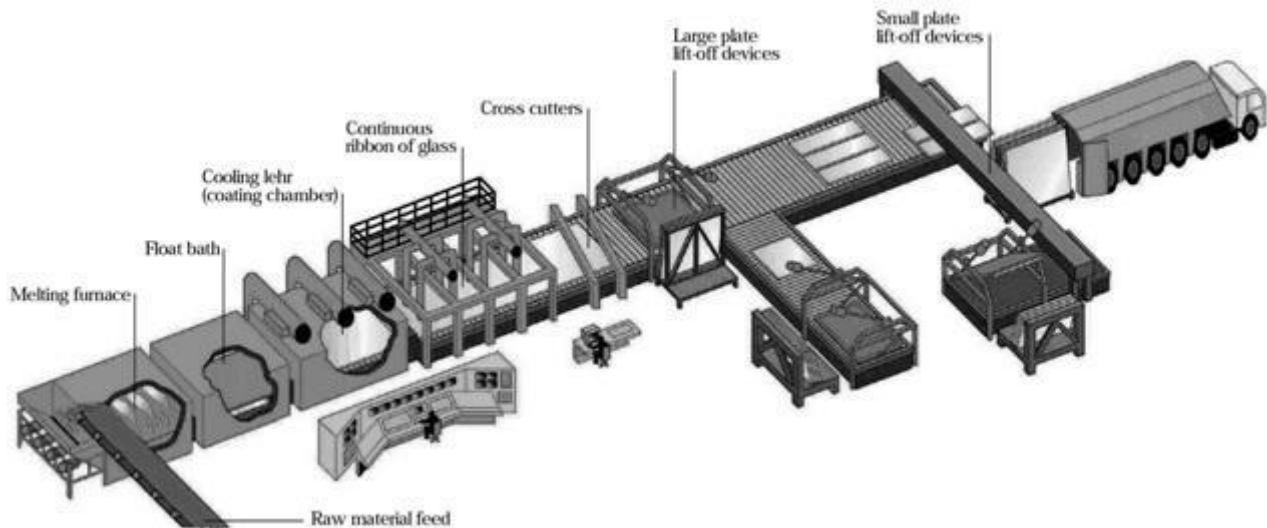
Slika 1. Ostakljena pročelja visokih zgrada

Energetska učinkovitost, a time i ekološka prihvatljivost te atraktivan i moderan izgled staklenih pročelja danas predstavljaju standard u arhitekturi i izgradnji novih poslovnih i stambenih građevina i smatra se da će taj trend u budućnosti još rasti.

2.1. Industrijsko staklo

Najvažniji dio staklenog pročelja je staklo. Za staklena pročelja isključivo se koristi industrijsko staklo odnosno ravno staklo (eng. *flat glass*). Ravna stakla proizvode se postupkom tečenja [Slika 2] gdje se tali smjesa kvarcnog pijeska (SiO_2), vapnenca (CaCO_3), sode (Na_2CO_3) i željeznih oksida nakon čega slijedi kositrena kupka iz koje se izvlače kontinuirane trake stakla.

Takav staklene trake potom se žare i valjaju radi povećanja čvrstoće i uklanjanja zaostalih naprezanja. Nakon hlađenja staklene trake režu se na standardne „jumbo“ panele (6 x 3,21 m) ili prema potrebama kupca.



Slika 2. Proizvodnja stakla postupkom tečenja

Industrijsko staklo danas se proizvodi u nekoliko različitih vrsta prema [4]:

- Žareno staklo – „zeleni“ izradak u procesu tečenja, koristi se za prozore, posuđe i sl.
- Očvrsnuto (kaljeno) staklo – žareno na 600 °C i naglo hlađeno, koristi se za vjetrobranska stakla automobila, prozore i klizna vrata.
- Laminirano staklo – 2 ili više slojeva stakla međusobno povezani polimernim međuslojem (najčešće PVB - polivinil-butiral, EVA - etil-vinil-acetat, PU – poliuretan). Laminirana stakla imaju odlična izolacijska i mehanička svojstva i najčešće se koriste za izradu staklenih fasada i vjetrobranskih stakala automobila.
- Premazom ojačana stakla – stakla na koja se nanose razni premazi za postizanje određenih svojstava (apsorpcija, refleksija, provođenje topline i svjetlosti, mehanička otpornost, otpornost koroziji i sl.). Moderna („high tech“) stakla najčešće su laminirana i na njih je naneseno nekoliko premaza.
- Zrcalna stakla – stakla koja na jednoj strani imaju premaz od srebra, aluminija, zlata ili kroma čime se omogućuje zrcaljenje. Najčešće se koriste za izradu zrcala te dekorativnih predmeta.
- Rasterska stakla – stakla na koje se nakon izvlačenja iz peći valjcima nanosi reljef na površinu. Najčešće se koriste za unutarnja uređenja građevina i dekorativne svrhe.

- Ekstra čista stakla – stakla sa manjim udjelom željeznih oksida kako bi se smanjila refleksija svjetla i time omogućilo što veći prolaz svjetla. Najčešće se koriste za solarne panele, a u novije vrijeme i za staklena pročelja i prozore.

2.1.1. Industrijsko staklo za staklena pročelja

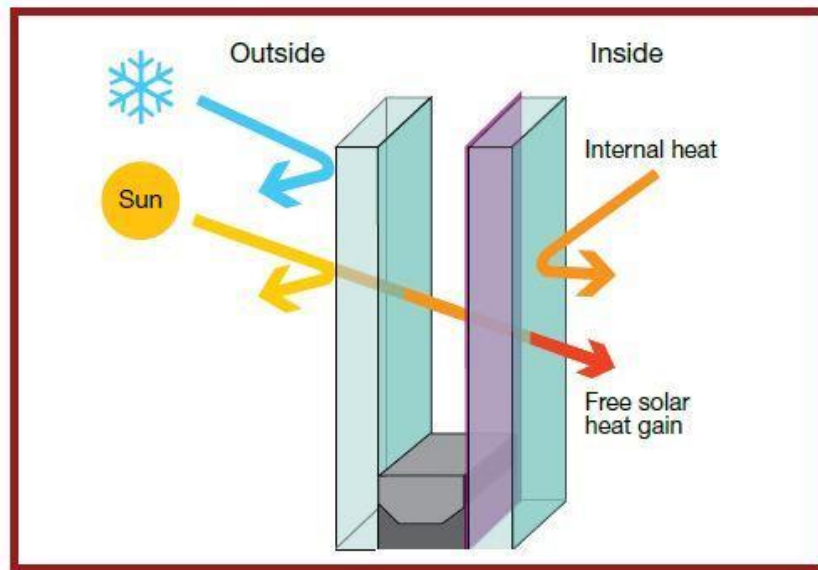
Stakla koja se danas koriste za staklena pročelja vrlo su napredna (eng. *high tech*) i složeniju strukturu. Stakla za pročelja građevina moraju zadovoljiti sva svojstva eksploatacije građevine, od osnovnih kao što su zaštita, sigurnost, propuštanje svijetla do specifičnih kao što su samočišćenje, mehanička otpornost, zvučna izolacija i sl. Glavna mehanička svojstva kaljenih stakala ojačanih premazima prikazuje tablica 1. Sva stakla sa izolacijskim premazima moraju zadovoljavati normu hEN 1096-4.

Tablica 1. Specifikacije kaljenog stakla, prema [25]

Specifikacije	Kaljeno staklo
Gustoća (g/cm^3)	$2,42 - 2,52$
Vlačna čvrstoća (N/mm^2)	200
Tlačna čvrstoća (N/mm^2)	1000
Modul elastičnosti (GPa)	70
Debljina stakla (mm)	$3 - 19$
Koeficijent linearne ekspanzije (m/mK)	$9 \cdot 10^{-6}$

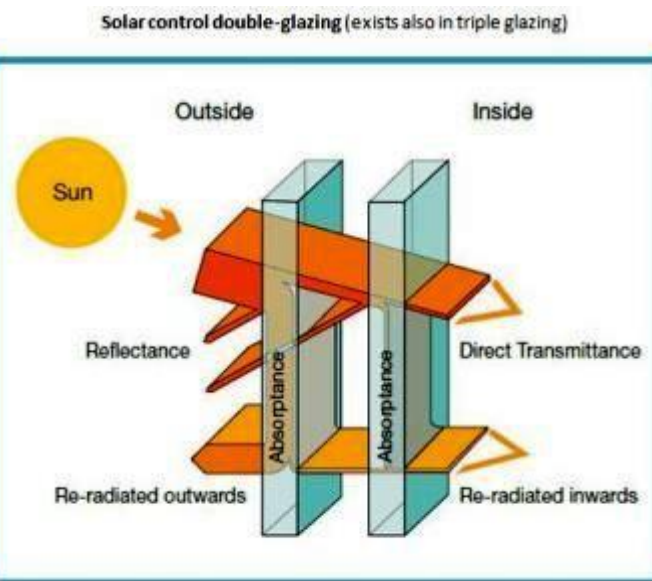
Stakla koja se koriste za pročelja građevina danas se prema [4] mogu naći u nekoliko varijanti, ovisno o svojstvima karakterističnim za lokaciju na kojoj se građevina nalazi:

- Toplinski izolirana stakla [Slika 3] – moderna toplinski izolirana stakla poznata su pod nazivom low-E stakla (eng. *low emissivity*) i najčešće se postavljaju kao unutarnje staklo unutar strukturalnog panela staklenog pročelja. Toplinski izolirana stakla imaju na jednoj strani metalni premaz koji odbija toplinu natrag u prostor i tako reducira gubitak topline te omogućuje veće prikupljanje sunčeve topline. Zbog svojih povoljnih svojstava ovaj tip stakla najčešće se primjenjuje za pročelja, a zbog povoljnih energetskih svojstava (solarna energija) i ekološki su vrlo prihvatljiva.



Slika 3. Toplinski izolirana stakla (low-E)

- Stakla za kontrolu solarnog zagrijavanja (eng. *solar control glass*) [Slika 4] – moderan tip stakla koji smanjuje i sprječava solarno zagrijavanje građevina. Smanjenje zagrijavanja postiže se tako što je jedna strana stakla zatamnjena ili je nanesen tanak, proziran premaz. Ovaj tip stakla energetski je vrlo povoljan jer se manjim zagrijavanjem od sunca smanjuje potreba za klimatizacijom prostora, a samim time i manji su energetski troškovi.

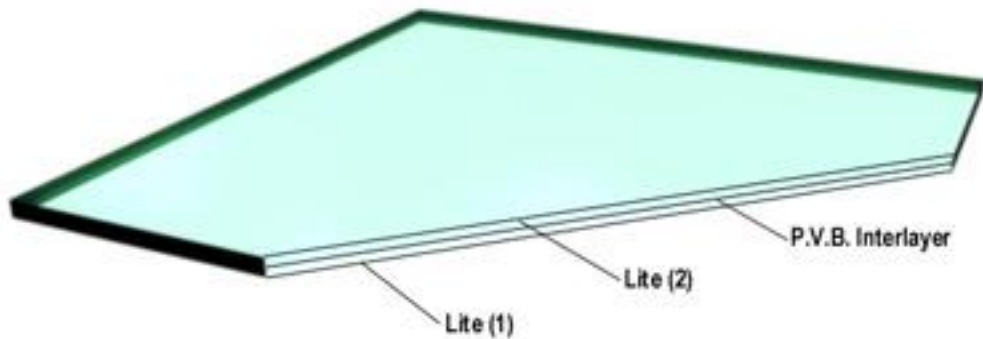


Slika 4. Stakla za kontrolu solarnog zagrijavanja

- Laminirana stakla [Slika 5] – stakla sa 2 ili više slojeva stakala između kojih se nalazi polimerni međusloj koji omogućuje poboljšana mehanička i izolacijska svojstva.

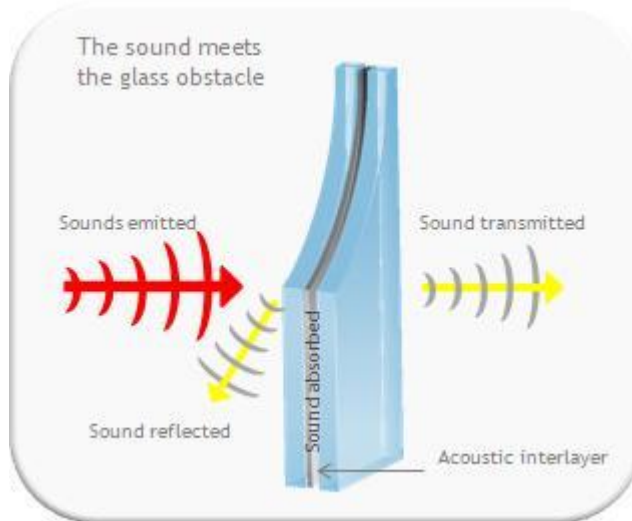
Laminirana stakla često se premazuju sa različitim premazima i kombiniraju sa drugim tipovima stakala (low-E stakla, zvučno izolacijskim staklima i sl.) čime se dobiju moderna (eng. *high tech*) stakla.

Laminated Glass Unit



Slika 5. Laminirano staklo

- Zvučno izolacijska stakla [Slika 6] – poseban tip laminiranog stakla čiji akustični međusloj djeluje kao membrana koja odbija zvučne valove. Zvučno izolacijska stakla mogu se kombinirati i sa drugim staklima (low-E stakla, zvučno izolacijskim staklima i sl.) i premazima čime se dobiju moderna (eng. *high tech*) stakla.



Slika 6. Zvučno izolacijsko staklo

- Samočistiva stakla [Slika 7] – posebna moderna stakla sa hidrofobnim premazima koji omogućuju samočišćenje površine stakala. Premaz na ovim staklima ima dvije funkcije:
 - a) foto-kataliza – djelovanjem svjetla razbija se prljavština
 - b) hidrofobnost – omogućuje klizanje čestica sa površine

Ovakav tip stakala odnosno premaza za stakla još je u razvoju i još uvijek premazi nisu toliko učinkoviti da se staklo samo čisti.



Slika 7. Samočistivo staklo

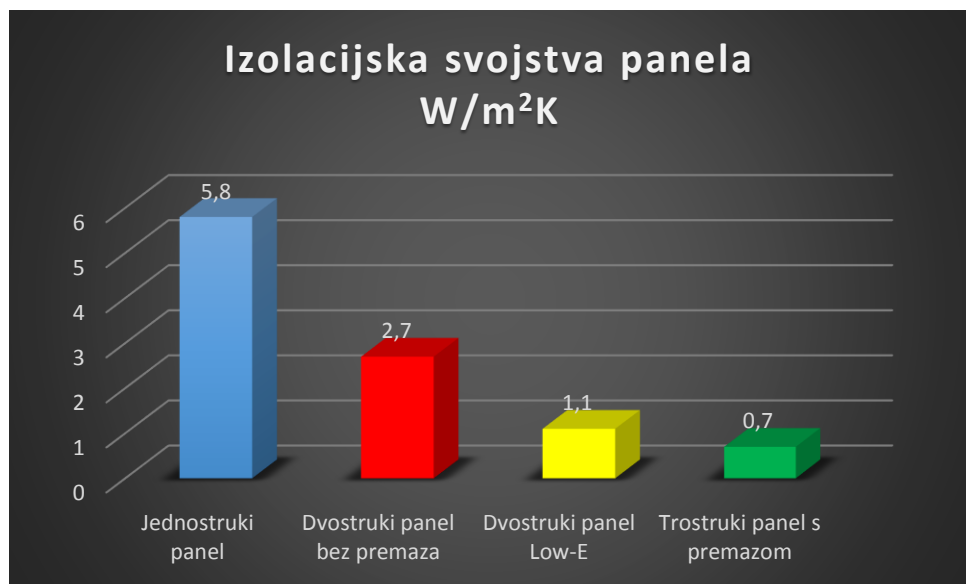
2.2. Strukturalni panel pročelja

Strukturalni panel pročelja predstavlja osnovnu jedinicu građe pročelja. Strukturu panela čine aluminijski okvir i prozorska krila, najčešće 2 između kojih se nalazi međuprostor gdje struji zrak [Slika 8].



Slika 8. Strukturalni panel

Ovisno o broju stakala strukturalni paneli mogu biti jednostruki, dvostruki i trostruki s raznim premazima. Trenutno su najzastupljeniji jednostruki paneli, ali sve je veća tendencija korištenja dvostrukih i trostrukih panela zbog puno veće energetske učinkovitosti i boljih mehaničkih i izolacijskih svojstava [Slika 9].



Slika 9. Dijagram izolacijskih svojstava panela

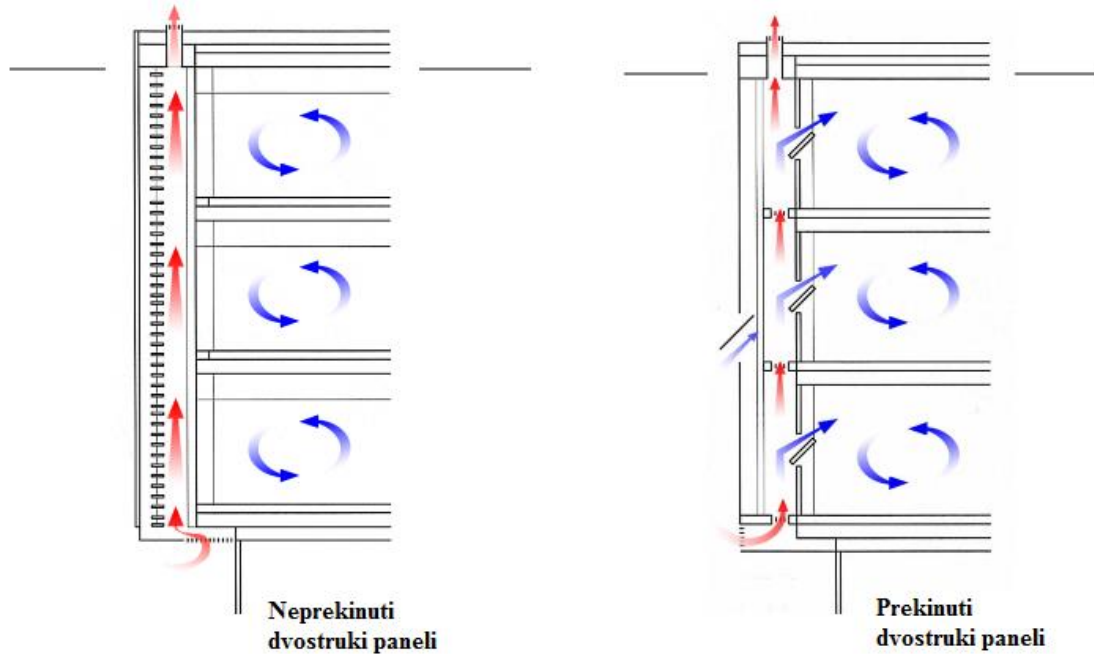
2.2.1. Dvostruki strukturalni panel

Dvostruki strukturalni panel danas predstavlja trend u postavljanju staklenih pročelja građevina. Panel se sastoji od dva prozorska krila koja su odvojena međuprostorom na način da je jedno postavljeno ispred drugog. Takvom strukturu omogućena je:

- dugotrajnost, s obzirom da vanjsko staklo štiti unutarnje od atmosferskih utjecaja i oštećenja
- bolja toplinska i zvučna izolacija,
- prirodno kruženje zraka, što omogućava ventilaciju prostora na potpuno prirodan i zdrav način
- korištenje prirodnih resursa za zagrijavanje ili hlađenje prostora,
- smanjenje troškova i manja upotreba energije
- ekološka zaštita

Dvostruki stakleni paneli međusobno se razlikuju s obzirom na namjenu i konstrukciju. Uobičajeno je spomenuti diobu prema [5] na prekinute i neprekinute dvostrukе panele [Slika 10]. Neprekinuti imaju mogućnost strujanja zraka u neprekinutom procesu od donjeg dijela zgrade do gornjeg gdje on izlazi iz prostora. Dobra svojstva neprekinutih panela su bolja toplinska i zvučna izolacija, a nedostatak upotreba u toplim klimatskim uvjetima, jer se zrak do viših katova dodatno zagrijava pa pri vrhu više i ne služi kao prirodna ventilacija.

U hladnim vremenskim zonama (npr. u Rusiji) pri neprekinutom strujanju zraka pri vrhu zgrade dolazi do dodatnog hlađenja i stvaranja leda. Zato je alternativa prekinuti dvostruki panel kod kojeg upravo prekidi na jednom ili više mjestu omogućavaju izmjenu zraka iz međuprostora. Takvo pročelje ima više ventilacijskih ciklusa i bolju ventilaciju. Ovaj je sustav skuplji i pogodniji za gradnju u toplijim klimatskim zonama.

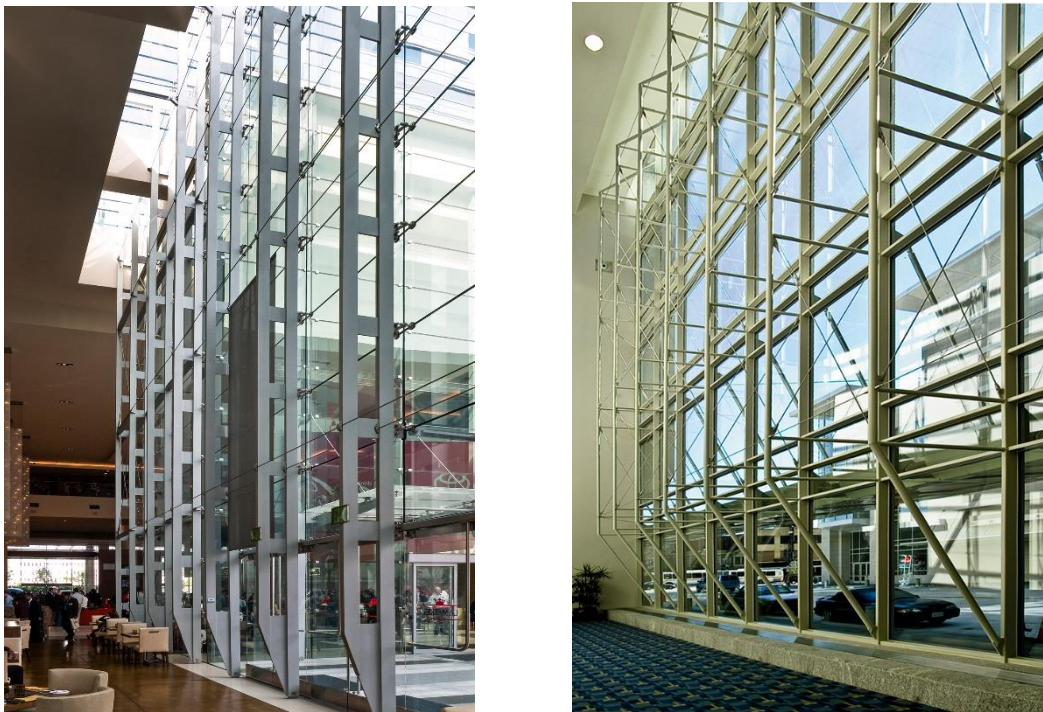


Slika 10. Prekinuti i neprekinuti dvostruki paneli

2.3. Vrste staklenih pročelja

Staklena pročelja prema [6] dijele se na:

- Strukturalna staklena pročelja [Slika 11] - izrađuju se bez vidljivih nosivih aluminijskih profila. Stakla se tehnikom lijepljenja montiraju na aluminijске profile te daju dojam cjelovite staklene površine. Otvori se ne razlikuju od ostalog dijela pročelja, te se uglavnom otvaraju prema van.



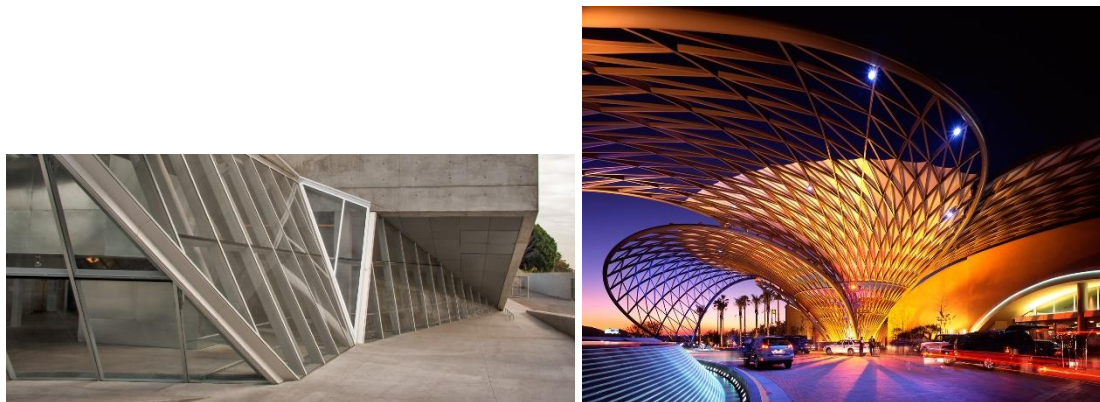
Slika 11. Strukturalna staklena pročelja

- Polustrukturalna staklena pročelja [Slika 12] - izrađuje se iz nosivih aluminijskih profila koji su vidljivi svojom minimalnom širinom i to po rubovima elemenata od kojih je pročelje izrađeno.



Slika 12. Polustrukturalna staklena pročelja

- Kontinuirana staklena pročelja [Slika 13] – izrađuju se iz vidljivih aluminijskih profila, koji slijedi aluminijski raster, a daju mogućnost različite izvedbe vanjskog profila. Moguća je ugradnja različitih prozorskih sustava.



Slika 13. Kontinuirana staklena pročelja

- Spider staklena pročelja [Slika 14] - posebna u tome što se staklo spaja posebnim držaćima u četiri točke, bez dodatnih profila na vanjskom dijelu pročelja. Spider fasada daje izgled staklenog plašta.



Slika 14. Spider staklena pročelja

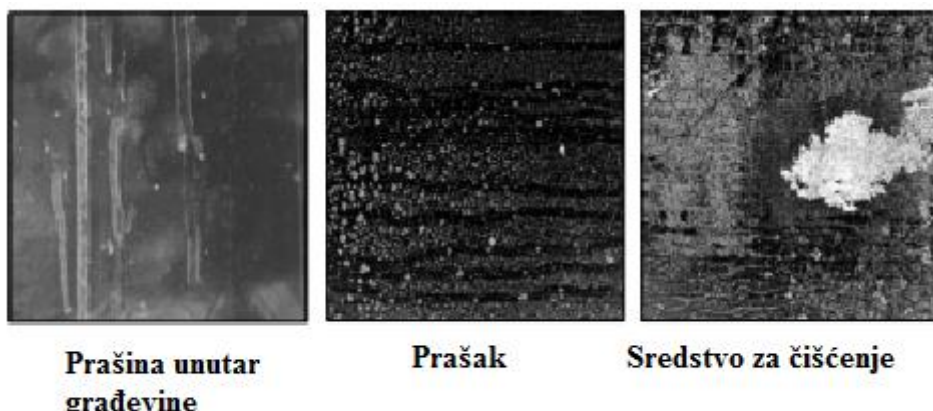
3. ČIŠĆENJE STAKLENOG PROČELJA

Najveći dio održavanja građevina sa staklenim pročeljem odnosi se na čišćenje. Čišćenje staklenog pročelja ključno je kako bi se održala funkcionalnost i estetika samog pročelja građevine. Prema [7] staklena pročelja moraju se čistiti minimalno svakih 6 mjeseci. Učestalost čišćenja staklenih pročelja može biti i češća ovisno o lokaciji same građevine, utjecajima okoliša te samog stupnja zagađenosti područja. Prilikom čišćenja staklenih pročelja posebnu odgovornost treba usmjeriti na očuvanje premaza na staklima jer djelovanjem prevelikom mehaničkom silom može doći do oštećenja tih premaza te gubitka njihovih svojstava (izolacija, energetski učinak i sl.).

3.1. Nečistoće na staklenom pročelju

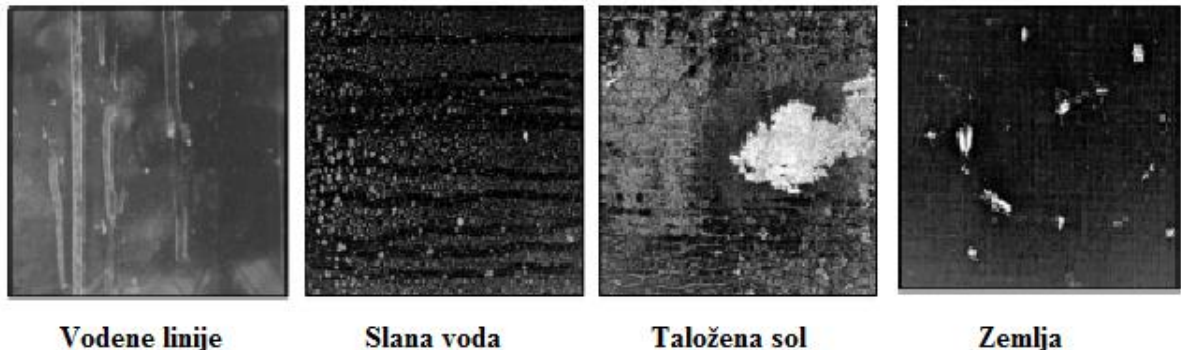
Nečistoće koje se pojavljuju na staklenom pročelju većinom su posljedica klimatskih utjecaja (sunce, kiša, magla, vlaga, snijeg) te ostalih utjecaja (prašina, smog, ispušni plinovi i sl.) vezanih za lokaciju na kojoj se građevina sa staklenim pročeljem nalazi. Većina nečistoća koje se pojavljuju na staklenim pročeljima mogu se prema [10] podijeliti u tri glavne skupine :

- Prašina – prašina unutar same građevine, prašina od prahova, prašina od sredstava za čišćenje [Slika 15]



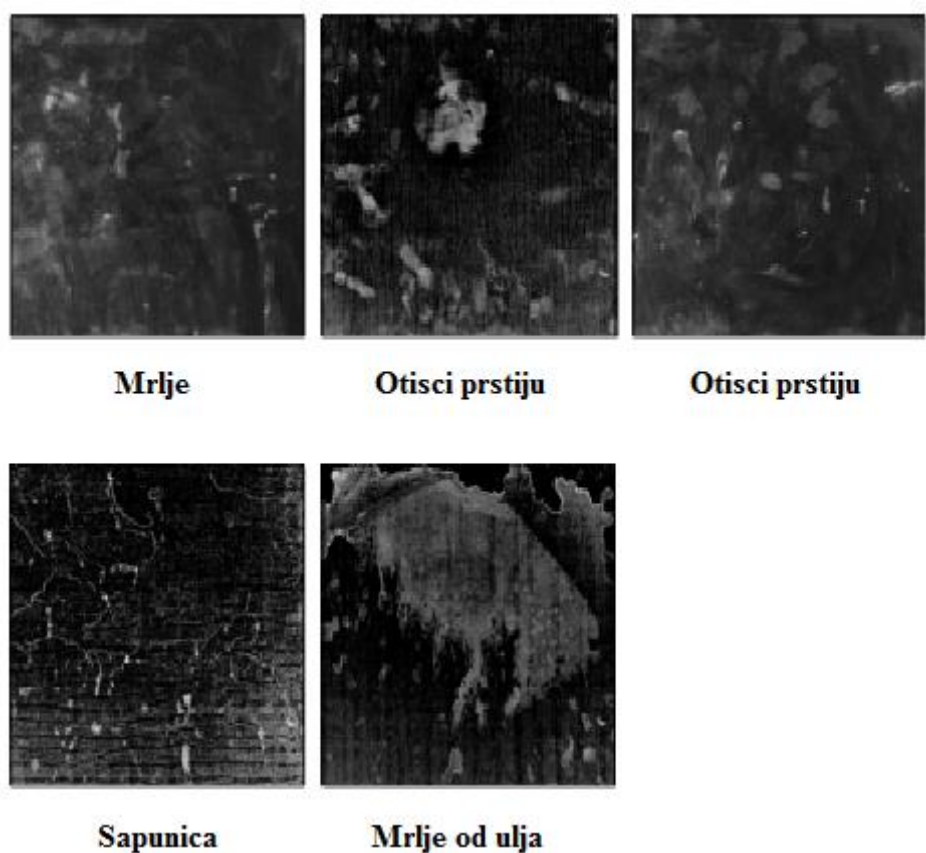
Slika 15. Primjeri nečistoće od prašine – rendgenski snimak

- Prljavština – vodene linije, slana voda, solni talog, tlo [Slika 16]



Slika 16. Primjeri nečistoća u obliku prljavština – rendgenski snimak

- Lipidi – organske tvari, mrlje, otisci prstiju, sapunica, mrlje od ulja i maziva [Slika 17]



Slika 17. Primjeri nečistoća od lipida – rendgenski snimak

Sva tri oblika nečistoća imaju određena svojstva kao što su interakcija sa zrakom, vidljiva debljina sloja nečistoće te rasipanje [Tablica 2]. Interakcija sa zrakom ima veliku važnost zbog stvaranja oksida koji dovode do korozije površine stakla što može dovesti do oštećenja same površine pročelja. Iz tablice se može vidjeti da prljavština (voda, sol, zemlja) te lipidi (mrlje, otisci, ulje i maziva) podložni su oksidaciji dok prašina u interakciji sa zrakom ne potiče oksidaciju odnosno nema kemijske reakcije između njih. Vrijednosti n_1 i n_2 u tablici

1 označavaju indekse loma svjetlosti, gdje n_1 označava indeks loma svjetlosti za zrak, a n_2

indeks loma svjetlosti za nečistoću. Bitna karakteristika nečistoća je tzv. rasipanje odnosno kut rasipanja, a vrijednost kojom se izražava rasipanje je g_{ras} koja označava srednju vrijednost kosinusa kuta rasipanja. Iz tablice se može vidjeti da najveće rasipanje nastupa kod nečistoća od lipida, dok su vrijednosti rasipanja za prljavštinu poput taložene soli, zemlje i vodenih mrlji najmanje.

Tablica 2. Nečistoće na staklenom pročelju

Nečistoće	Interakcija sa zrakom	Vidljiva debljina sloja, τ	Rasipanje
Prašina	Ne, $n_1 = n_2$	Mala	$0,4 \leq g \leq 0,8$
Prljavština	Da, $n_1 \neq n_2$	Srednje velika	$0 \leq g \leq 0,8$
Lipidi	Da, $n_1 \neq n_2$	Mala	$0,7 \leq g \leq 1$

Danas su razvijene moderne metode 3D renderiranja [Slika 18] pomoću kojih se stvaranjem određenih modela može točno izmjeriti određeni kut rasipanja nečistoća i prema jednadžbi (1) odrediti debljina određenog sloja nečistoće.

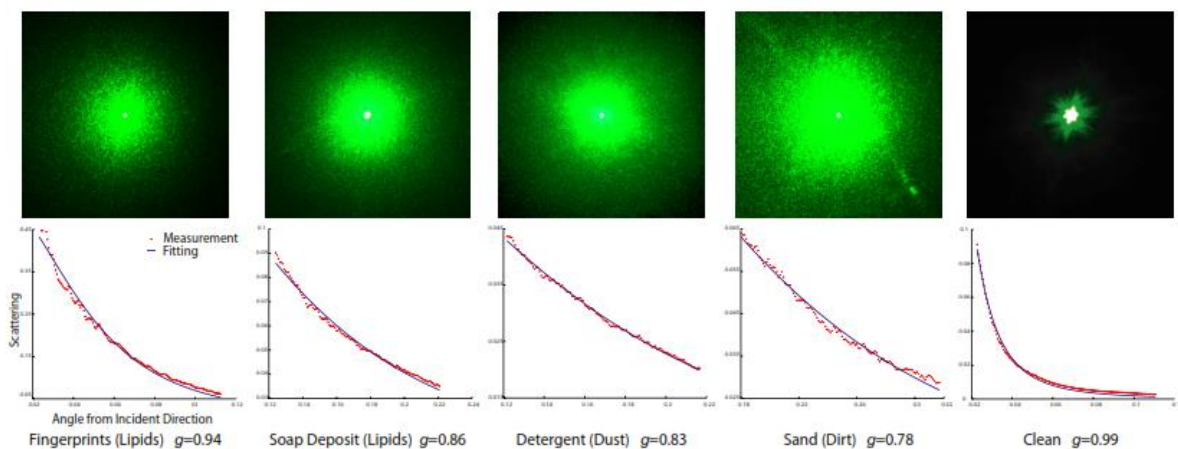
$$\tau(x, y) = -\ln \frac{I(x, y)}{I_{čisto}} \quad (1)$$

Gdje je:

$I(x, y)$ - rezolucija slike promatranog stakla

$I_{čisto}$ - rezolucija slike čistog dijela stakla

Primjer različitih optičkih debljin slojeva nečistoće, τ prikazuje Slika 19. Razvoj ovakvih metoda značajno je utjecao i olakšao razvoj uređaja i alata za čišćenje staklenih površina.



Slika 18. Renderiranje nečistoća za određivanje rasipanja



Slika 19. Primjer različitih optičkih debljina slojeva, τ

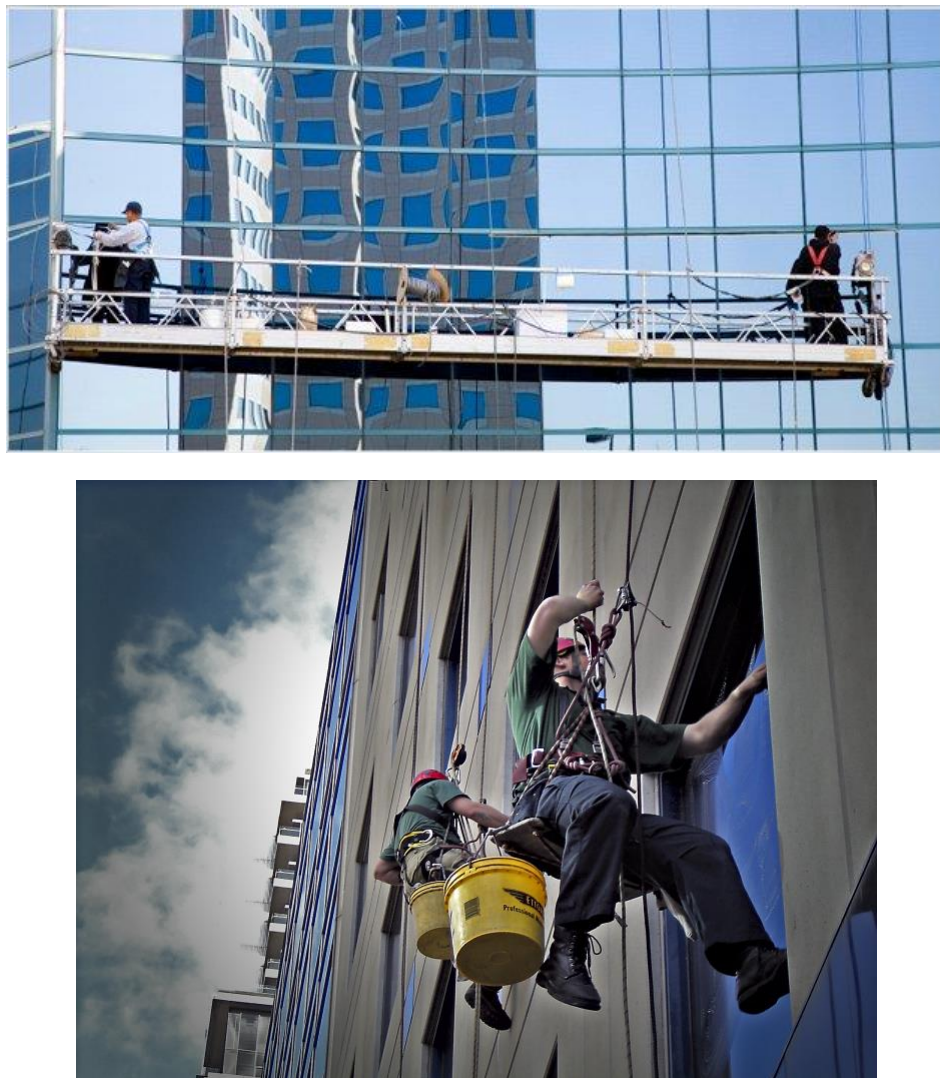
3.2. Metode čišćenja staklenih pročelja

Razvojem modernih staklenih pročelja čišćenje samih takvih staklenih površina (low-E stakla) postalo je složenije i delikatnije od tzv. „klasičnog“ pranja. Djelovanjem prevelikog pritiska vode ili prevelikom mehaničkom silom rotirajućih četki može doći do lakog oštećenja slojeva staklenih pročelja. Na površinu stakla također agresivno djeluju i voda i sredstva za čišćenje koji ako nisu propisano odabrani mogu dovesti do oksidacije i oštećenja površine stakla ili staklenih premaza. Obzirom da su čišćenje staklenih pročelja podrazumijeva čišćenje na visokim i vrlo visokim građevinama (poslovne i stambeni zgrade, neboderi) sama visina čini značajan faktor u čišćenju i održavanju pročelja posebno u pogledu sigurnosti samih ljudi, ali i same kvalitete čišćenja. Svi ti faktori potaknuli su i razvoj naprednijih metoda čišćenja staklenih površina, a samim time i staklenih pročelja. Standardne metode koje se danas primjenjuju za čišćenje staklenih površina mogu se podijeliti u tri skupine:

- Ručno (manualno) čišćenje
- Poluautomatsko čišćenje
- Automatsko čišćenje

3.2.1. *Ručno (manualno) čišćenje*

Metoda ručnog odnosno manualnog čišćenja prema [7] najstarija je i najčešća metoda koja se danas primjenjuje za čišćenje staklenog pročelja. Ova metoda podrazumijeva direktnu interakciju čovjeka tj. čistača i površine stakla [Slika 20] gdje on određenim alatima (spužva, voda, sredstvo za čišćenje, naprava za sušenje prozora) uklanja nečistoće sa staklenih površina. Obzirom na velike visine staklenih pročelja, ljudi koji čiste takva pročelja moraju biti odgovarajuće obučeni za obavljanje poslova na visini. Za čišćenje pročelja ovom metodom nužno je imati platformu za održavanje građevina, dizalicu ili ovještene sjedalice kako bi čistač mogao doći do svakog dijela pročelja. Ova metoda je vrlo učinkovita, ali dugotrajna i vrlo opasna za ljude jer lako može doći do vrlo ozbiljnih nezgoda te je tendencija da se uporabom poluautomatiziranih i automatiziranih strojeva postupno odustaje od nje.



Slika 20. Ručna metoda čišćenja

3.2.2. Poluautomatsko čišćenje

Metoda poluautomatskog čišćenja značajnije se počela razvijati kroz zadnjih 20-tak godina. Ova metoda uključuje čovjeka kao čistača te odgovarajući sustav čišćenja (najčešće sustav reverzne osmoze) gdje čovjek sa tla ili krova građevine putem teleskopskog štapa koji je spojen na automatski sustav dobave vode uklanja nečistoće sa površine stakla [Slika 21]. Ovakve metode smanjuju rizik od povrede ljudi i padanja predmeta, ali taj rizik još uvijek postoji jer za čišćenje visokih građevina mora postojati platforma ili dizalica kako bi se moglo doći do svakog dijela pročelja. Najveća prednost ove metode čišćenja je mogućnost korištenja sustava čišćenja na bazi reverzne osmoze koji su ekološki iznimno prihvatljivi te nije potrebno korištenje agresivnih sredstava za čišćenje. Ova metoda čišćenja danas se najviše primjenjuje za čišćenje solarnih panela, ali je sve veća uporaba i za čišćenje staklenih površina.



Slika 21. Poluautomatska metoda čišćenja

3.2.3. Automatsko čišćenje

Metoda automatskog čišćenja predstavlja najnoviji način čišćenja staklenih površina pa tako i staklenih pročelja. U ovoj metodi automatizirani uređaj postavlja se na pročelje građevine pomoću dizalice ili konopaca te pušta u rad [Slika 22]. Takvim načinom u potpunosti je eliminiran rizik od pada (ljudi i stvari) te je sam postupak čišćenja puno brži. Uređaji koji rade po ovoj metodi najčešće koriste sustav reverzne osmoze koji je ekološki vrlo prihvatljiv jer za čišćenje ne koristi agresivna sredstava. Ova metoda primjenjiva je za čišćenje praktički neograničene visine samih pročelja građevina te nije potrebno koristiti platformu ili ovještene sjedalice. Negativna strana ove metode je visoka cijena samih uređaja te danas još uvijek ovakvi uređaji nisu u potpunosti autonomni već se mogu gibati samo translacijski u jednoj osi (najčešće „gore – dolje“) dok je gibanje u drugoj osi omogućeno pomoću tračnica ili mobilne dizalice na koje se uređaj mora postaviti. Zbog svojih povoljnih karakteristika ova metoda predstavlja budući pravac razvoja uređaja za čišćenje staklenih pročelja.



Slika 22. Automatska metoda čišćenja

3.3. Tehnologije čišćenja

Razvoj modernijih staklenih pročelja praćen je razvojem odgovarajućih tehnologija čišćenja takvih pročelja. Usmjereno na ekološki prihvatljive proizvode, potreba za što većom učinkovitosti i ušteda na energiji glavne su smjernice za razvoj današnjih tehnologija za čišćenje staklenih pročelja. Tehnologije čišćenja staklenih pročelja koje se danas primjenjuju mogu se podijeliti u dvije skupine:

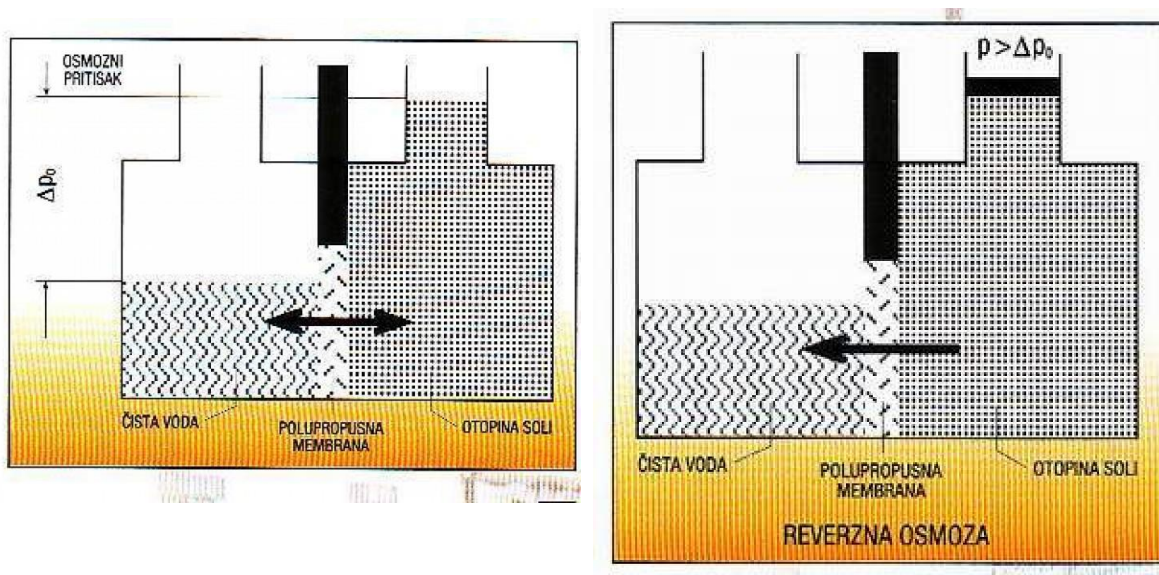
- Čišćenje kemijskim sredstvima i vodom
- Čišćenje sustavima reverzne osmoze

3.3.1. Čišćenje kemijskim sredstvima i vodom

Uporaba sredstava za čišćenje i vode još uvijek je najčešći način čišćenja staklenih pročelja. Čišćenje ovom tehnologijom zahtijeva miješanje vode i sredstva za čišćenje u određenom omjeru te nanošenje takve smjese na aplikator (spužva, krpa, četka). Nakon što se staklena površina očisti potrebno ju je posebnim cjedilom osušiti. Sredstva koja se koriste za čišćenje staklenih pročelja ne smiju sadržavati fluorovodik jer takvi spojevi agresivno djeluju na zaštitne premaze na stakli i oštećuju ga. Sredstva za čišćenje odabiru se prema vrsti zaštitnog premaza na staklenoj površini. Ova tehnologija čišćenja daje vrlo učinkovite rezultate i primjena je vrlo jednostavna, ali veliki nedostatak je što takva sredstva za čišćenje nisu ekološki prihvatljiva i djeluju negativno i na dišne sustave.

3.3.2. Čišćenje sustavima reverzne osmoze

Moderni sustavi čišćenja temelje se na čišćenje demineraliziranim vodom koja se dobiva postupkom reverzne osmoze. Proces prirodne osmoze poznat je već preko 200 gdje se razdvajaju dvije tekućine različitih koncentracija (npr. čista voda bez soli i solna otopina) kroz neku polupropusnu membranu koja propušta otapalo (npr. vodu), a ne propušta otopljenе minerale. Tada kroz tu membranu prolazi samo čista voda u otopinu soli i otopinu razrijedi. Time se poveća volumen solne otopine i njezina se razina digne iznad razine čiste vode. Zbog toga dolazi i do razlike u pritiscima, a nastali pritisak naziva se osmozni pritisak. Kod obratne ili reverzne osmoze na solnu otopinu djeluje pritisak viši od osmoznog te iz otopine soli kroz membranu prolazi čista voda [Slika 23].



Slika 23. Reverzna osmoza

Otopljene soli i ostale primjese, kao koloidi, bakterije itd. ostaju u otopini, a na drugoj strani membrane ostaje čista voda. Reverzna osmoza je postupak odvajanja otopljenih tvari (minerala) od otapala (vode) i koristi se za dobivanje čiste vode ili u galvanskoj industriji za izlučivanje dragocjenih skupih otopljenih tvari. Za izradu polupropusnih membrana upotrebljavaju se celulozni acetat ili poliamid. Takve membrane ugrađuju se u čvrste i na visoke pritiske otporne cijevi iz poliestera koje se nazivaju modulima. Ovako dobivena demineralizirana voda vrlo je pogodna za čišćenje staklenih površina neovisno o vrsti premaza jer ne djeluje agresivno na njih. Obzirom da čišćenjem ovakvom demineraliziranom vodom ne zahtjeva korištenje sredstava za čišćenje postupak reverzne osmoze predstavlja trend u razvoju modernih sustava za čišćenje pročelja.

3.4. Smjernice i standardi za čišćenje staklenih pročelja

Za čišćenje staklenih pročelja zgrada potrebno je poštivati određene smjernice čišćenja, posebno za stakla sa premazima. Opće smjernice za čišćenje staklenih pročelja prema [7] su:

- Provoditi sigurnosne uvjete tijekom cijelog vremena trajanja čišćenja, imati zaštitnu opremu tijekom cijelog vremena trajanja čišćenja, pratiti upute za čišćenje i korištenje opreme za čišćenje
- Pažljivo čitati upute o kemikalijama i sredstvima za čišćenje te pokušati minimizirat uporabu takvih sredstava
- Strogo je zabranjeno korištenje svih proizvoda koji sadržavaju fluorovodičnu kiselinu (HF) ili derivate fluorovodika jer djeluju nadražujuće na premaze na staklima te ih lako mogu oštetiti
- Strogo zabranjeni svi proizvodi koji sadrže jake kiseline i lužine jer djeluju izrazito nadražujuće na premaze na staklima
- Osigurati kemijsku kompatibilnost između proizvoda za čišćenje i površine koja se čisti (staklo, premazi, aluminijski okvir, brtvila)
- Ako je potrebno provoditi specijalni tretman čišćenja (zbog većih oštećenja) prvo napraviti probni test čišćenja na maloj površini stakla.
- Ne čistiti stakla kada su direktno izložena suncu te kada je previsoka ili preniska vanjska temperatura
- Tijekom čišćenja stakla provjeriti i stanje okvira i brtvila

- Osigurati da su spužve, krpe, cijedila i ostali alati za čišćenje u ispravnom stanju tijekom cijelog vremena trajanja čišćenja

Kako bi mogli čistiti staklena pročelja na adekvatan način svi profesionalni čistači staklenih pročelja trebaju prema svjetskoj organizaciji za čišćenje prozora IWCA (International Window Cleaning Association) imati certifikat I14 kojim ispunjavaju sve uvjete potrebne za sigurno i kvalitetno korištenje sve opreme i uređaja za čišćenje staklenih pročelja. Svi uređaji za čišćenje staklenih pročelja trebaju imati certifikate za kvalitetu ISO 9001:2008 i za zaštitu okoliša ISO 14001:2014

4. ANALIZA TRŽIŠTA

Potražnja za staklenim površinama danas je u velikom porastu, posebno u automobilskoj industriji, građevini te u izradi solarnih panela. Uz sve veći porast uporabe staklenih površina značajno je porasla i potreba za održavanjem tj. čišćenjem takvih staklenih površina što je rezultiralo velikim porastom u zapošljavanju u sektoru čišćenja i održavanja. Najveći porast zapošljavanja zabilježen je u poslovima za čišćenje staklenih pročelja te je prema [8] prosječna godišnja plaća čistača staklenih pročelja za 2014. godinu u svijetu iznosila od 30000 do 50000 dolara.

4.1. Svjetsko tržište staklenih površina

Proizvodnja staklenih površina, a najviše ravnih industrijskih stakala u značajnom je porastu i prema [4] 2014. godine u svijetu je proizvedeno oko 65 milijuna tona ravnog industrijskog stakla. Najviše stakla danas se proizvodi u Kini, čak 50% dok se u Europi proizvodi 15%, a u značajnom porastu je proizvodnja staklenih površina u Južnoj Americi, Jugoistočnoj Aziji i Indiji [Slika 24].



Slika 24. Proizvodnja ravnog stakla u svijetu

4.2. Evropsko tržište staklenih površina

Proizvodnja ravnog stakla u Europi danas je najviše usmjerena na proizvodnju energetski učinkovitih staklenih površina. Obzirom da je postupak dobivanja takvog stakla skup i tehnički zahtjevan u Europi postoje samo 7 proizvođača stakla od kojih su 4 najveća:

- AGC, Belgija
- NSG Group, Ujedinjeno Kraljevstvo

- Saint-Gobain Glass, Ujedinjeno Kraljevstvo
- Sisecam, Turska

Ova četiri proizvođača danas su vlasnici čak 57 od 62 postrojenja za proizvodnju staklenih površina u Europi [4].

4.3. Tržiste staklenih pročelja

Sve veći trend uporabe stakla u izgradnji građevina odnosno staklenih pročelja rezultiralo je da se najveći dio proizvedenog ravnog stakla koristi upravo za izradu takvih staklenih pročelja. Prema [4] čak 80% od ukupno proizvedenog ravnog stakla koristi se za izradu staklenih pročelja. Taj trend nastavlja se i zbog sve veće ekološke osviještenosti jer su ovakva moderna staklena pročelja energetski vrlo učinkovita pa je i ušteda na energiji značajnija, a time se i manje iskorištavaju prirodni resursi. Zbog velike energetske učinkovitosti ovakvih staklenih pročelja prema [4] čak 40% od ukupne proizvodnje staklenih pročelja koristi za obnovu postojećih pročelja.

4.4. Troškovi čišćenja staklenih pročelja

Prema [9] danas u svijetu postoji oko 80000 zgrada s više od 12 katova od kojih više od 30% ima stakleno pročelje. Troškovi čišćenja staklenog pročelja ovise o mnogo faktora kao što su:

- Svojstva staklenog pročelja (vrsta stakla, premazi, struktura pročelja)
- Ukupna površina staklenog pročelja
- Učestalost čišćenja
- Troškovi radnika

Uzimajući u obzir ove faktore prema [9] određena je prosječna cijena čišćenja koja iznosi 8-9 €/m². Pomoću ove vrijednosti lako se može izračunati cijena čišćenja jedne prosječne zgrade sa staklenim pročeljem [Tablica 3].

Tablica 3. Cijena čišćenja zgrade sa staklenim pročeljem

Ukupna površina staklenog pročelja (m ²)	Prosječna cijena čišćenja (€/m ²)	Ukupna cijena čišćenja (€)
12000	8	96.000,00
12000	9	108.000,00

Ova cijena odnosi se na standardnu ručnu metodu čišćenja te se može vidjeti da je čišćenje ovakvih visokih zgrada dosta velik trošak.

4.5. Uređaji za čišćenje staklenih pročelja

Danas na tržištu postoji jako veliki izbor alata i uređaja za čišćenje staklenih pročelja. Svi ti uređaji napravljeni su tako da se njima mogu zadovoljiti svi uvjeti potrebni za pravilno čišćenje staklenih površina. Odabir odgovarajućeg uređaja za čišćenje ovisi o vrsti stakla koje se čisti odnosno o zaštitnom premazu koji se nalazi na staklu. Većina uređaja koji se danas koriste mogu se podijeliti prema metodi za koju su namijenjeni u 3 razreda odnosno :

- Uređaji za ručno čišćenje
- Poluautomatizirani uređaji
- Automatizirani uređaji

4.5.1. Uređaji za ručno čišćenje

U ovu skupinu uređaja svrstavaju se svi osnovni alati za čišćenje staklenih površina [Slika 25]:

- Spužve
- Četke – sintetičke, prirodne
- Krpe – mikrovlakna, nanovlakna, vuna
- Brisači stakla
- Ovjesne kante
- Sredstva za rad na visini – sigurnosna užad, odjeća, rukavice, kaciga, zaštitne naočale, kuke
- Platforme, ovjesne sjedalice, dizalice



Slika 25. Uređaji za ručno čišćenje

4.5.2. Poluautomatizirani uređaji za čišćenje

Poluautomatizirani uređaji za čišćenje staklenih pročelja najčešće se sastoje od samog uređaja za čišćenje (najčešće teleskopska četka) i uređaja za dobavu vode ili vode i sredstva za čišćenje [Slika 26]. Četke koje se koriste za čišćenje najčešće su gumirane, ali mogu biti i od prirodnih materijala. Kao sustav dobave vode i sredstva za čišćenje danas se najčešće koriste sustavi koji rade na principu reverzne osmoze koji su zbog svojih prednosti (čišćenje čistom vodom, ekološki vrlo prihvatljivi, pogodni za čišćenje svih vrsta stakala) idealni za čišćenje staklenih pročelja.



Slika 26. Poluautomatizirani uređaji za čišćenje

4.5.3. Automatizirani uređaji za čišćenje

Automatizirani uređaji za čišćenje staklenih pročelja predstavljaju najmodernije uređaje za čišćenje te na tržištu postoji samo nekoliko gotovih takvih uređaja. Ovakvi uređaji postavljaju se na pročelje zgrade (dizalica, ovjesno vitlo) nakon čega se uređaj pušta u rad gdje autonomno čisti stakleno pročelje [Slika 27]. Automatizirani uređaji za čišćenje također koriste sustave dobave vode na principu reverzne osmoze dok se samo čišćenje staklenih površina vrši putem rotirajućih četki i vode. Automatizirani uređaji koji se danas koriste još uvijek imaju ograničeno gibanje samo po jednoj osi dok se za gibanje u drugoj osi koriste mobilne dizalice ili vitla.



Slika 27. Automatizirani uređaji za čišćenje

4.6. Proizvođači uređaja za čišćenje staklenih pročelja

Obzirom na današnji trend uporabe staklenih pročelja u izgradnji visokih građevina sve je veća potreba za razvojem novih, automatiziranih i poluautomatiziranih uređaja za čišćenje takvih staklenih pročelja. Danas na tržištu postoji najviše proizvođača uređaja za ručno čišćenje staklenih pročelja obzirom da je takav način čišćenja još uvijek najčešći. Zbog prednosti koje donose sve je veći porast u proizvodnji poluautomatiziranih uređaja za čišćenje, dok samo nekoliko tvrtki danas proizvodi automatizirane uređaje koji još uvijek nisu u masovnoj uporabi.

Vodeći proizvođači uređaja za čišćenje staklenih pročelja u svijetu su:

- IPC Eagle (eng. Integrated Professional Cleaning), SAD – proizvode vakumske čistače staklenih površina, čistače solarnih panela i poluautomatizirane i automatizirane čistače staklenih pročelja [Tablica 3].

Tablica 4. IPC Eagle – Proizvodi za čišćenje staklenih pročelja

IPC Eagle - Proizvodi za čišćenje staklenih pročelja		
Poluautomatizirano čišćenje	Automatizirano čišćenje	Sustavi dobave RO
Teleskopska četka Flip Lock II 	HighRise 	Hydro Cart 

- Ettore, SAD – vodeći proizvođač brisača stakla u svijetu, proizvode sve uređaje za ručno čišćenje staklenih pročelja [Slika 28]

**Slika 28. Ettore – uređaji za čišćenje staklenog pročelja**

- Unger, Njemačka – vodeći proizvođač uređaja za ručno čišćenje staklenih pročelja u Europi [Slika 29].

**Slika 29. Unger – uređaji za čišćenje staklenog pročelja**

- Serbot, Švicarska – vodeći proizvođač automatiziranih uređaja za čišćenje staklenih pročelja u Evropi, glavni proizvod je automatizirani robotski čistač Gekko koji je razvijen 2014. godine [Slika 30].



Slika 30. Serbot – robotski čistač Gekko

U tablici 5 mogu se vidjeti specifični podaci (efikasnost čišćenja, potrošnja vode) za čišćenje staklenih fasada postojećih automatiziranih uređaja za čišćenje staklenih pročelja.

Tablica 5. Specifikacije postojećih automatiziranih uređaja

Proizvođač	Tip uređaja	Potrošnja vode, q (l/h)	Efikasnost čišćenja, $\eta_{čis}$ (m^2/h)
IPC Eagle	HighRise	228	1200
Fraunhofer	Sirius_c - čišćenje parom	1,5	700
Serbot	Gekko	30 - 90	645
Korea University	BFMR	8,7 - 10,8	403,2

Iz tablice 4. može se vidjeti da uređaji koji čiste parom imaju znatno manju potrošnju vode, ali i manju efikasnost čišćenja dok je kod uređaja koji koriste četke i tekuću vodu situacija obratna.

5. DEFINIRANJE PROJEKTNOG ZADATAKA

Nakon analize tržišta te postojećih uređaja za čišćenje staklenih pročelja vidi se da su danas još uvijek najzastupljeniji uređaji za ručno čišćenje dok je samo nekoliko automatiziranih uređaja koji su još uvijek u razvoju.

U ovom projektu pokušati će se dati rješenje za jedan automatizirani uređaj za čišćenje staklenih pročelja koji bi trebao zadovoljavati sljedeće uvjete:

- Čišćenje ekološki prihvatljivom metodom – sustavi reverzne osmoze i čišćenje vodenom parom
- Osigurati djelotvorno čišćenje neovisno o visini same građevine (utjecaji vjetra, razlika u temperaturi podnožja i vrha građevina, ostali klimatski utjecaji)
- Olakšano pozicioniranje uređaja na samu građevinu odnosno pročelje građevine
- Osigurati na siguran način vođenje uređaja po cijelom pročelju građevine
- Mogućnost relativno jednostavnog premještanja uređaja sa jednog pročelja na drugo
- Pri konstruiranju što više koristiti dijelove i sklopove dostupne na tržištu
- Brzina čišćenja, $v_{čiš} = 6 \text{ m/min} = 0,1 \text{ m/s}$
- Potrošnja vode, $q_m = 3 \text{ l/h} = 0,05 \text{ l/s}$

Kako bi se što bolje definirale funkcije uređaja provedena je anketa na temelju 30 ispitanika različitih zanimanja iz čijih rezultata su definirane glavne potrebe korisnika koje bi uređaj trebao zadovoljavati [Tablica 6].

Tablica 6. Glavne potrebe korisnika

Glavne potrebe korisnika	Ocjena važnosti
Kvaliteta čišćenja staklenih površina	10
Efikasnost čišćenja	9
Sigurno vođenje i upravljanje uređaja	8
Investicijski troškovi + potrošnja vode	7
Ekološki prihvatljivo čišćenje	6
Cijena održavanja i servisiranja	5
Životni vijek	4
Generiranje buke i utjecaj na okolinu	3
Jednostavnost uporabe	2
Estetika	1

Iz tablice 4. može se vidjeti da je najvažnija stavka kvaliteta čišćenja staklenih površina te sama efikasnost čišćenja tj. količina očišćene površine u satu. Može se vidjeti da je vrlo važna stavka

sigurno vođenje i upravljanje uređaja tj. pouzdanost uređaja u radu. Veliku važnost pridodana je i na korištenje ekološki prihvatljivih metoda čišćenja (sustavi obrnute osmoze) te na održavanje i servisiranje samog uređaja kao i na visinu investicijskih troškova te potrošnje vode tijekom čišćenja. Obzirom da se radi o pokretnom uređaju sa velikim brojem pogonskih uređaja (pumpe za vodu, pumpe za zrak, elektromotori) izgled ima nešto manju važnost, no upravo taj velik broj pokretnih strojeva i dijelova može generirati buku pa i taj faktor predstavlja bitnu stavku u koncipiranju ovakvog uređaja.

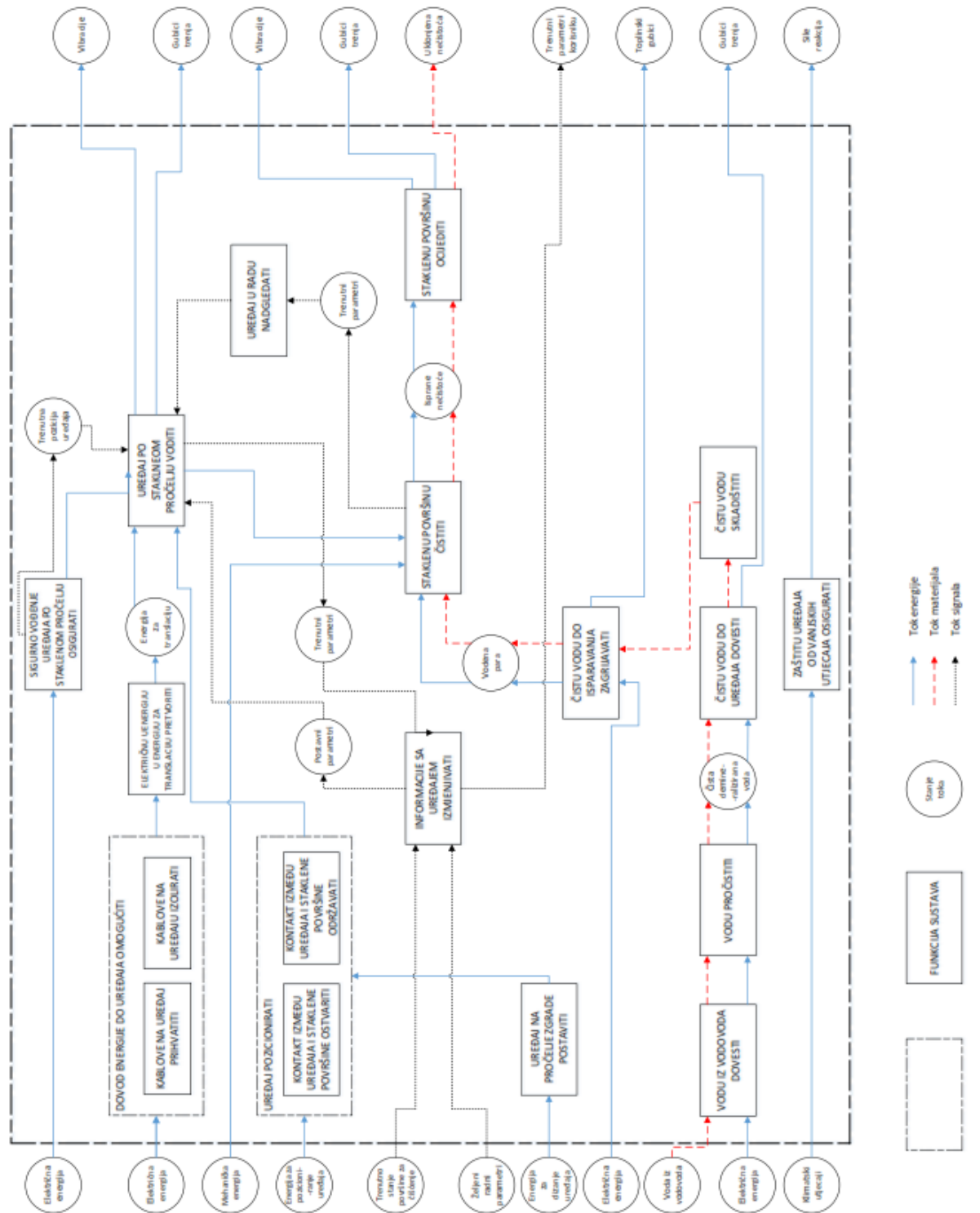
Za razvoj ovakvog uređaja napraviti će se funkcionalna struktura te će se na temelju nje dati konceptualna rješenja koja zadovoljavaju te funkcije. Nakon odabira najpovoljnijeg rješenja slijediti će detaljna konstrukcijska razrada odabranog konceptualnog rješenja. Konstrukcijska razrada sadržavati će proračun čvrstoće i sigurnosti svih kritičnih i nosivih dijelova konstrukcije te odabir potrebnih standardnih pogonskih dijelova. Nakon konstrukcijske razrade napraviti će se 3D model uređaja te će se izraditi potrebna tehnička dokumentacija.

5.1. Funkcionalna struktura

Temeljem definiranih početnih uvjeta te potreba korisnika koje uređaj mora zadovoljavati izrađena je funkcionalna struktura koja prikazuje glavne funkcije uređaja te tok energije, materijala i signala [Slika 31].

Iz funkcionalne strukture može se vidjeti da su glavne funkcije:

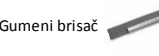
- Uredaj po staklenom pročelju voditi
- Staklenu površinu čistiti
- Uredaj pozicionirati



Slika 31. Funkcijska struktura

5.2. Morfološka matrica

Nakon definirane funkcijске strukture izrađuje se morfološka matrica koja prikazuje moguća rješenja za pojedine funkcije automatskog uređaja za čišćenje staklenih pročelja [Slika 32].

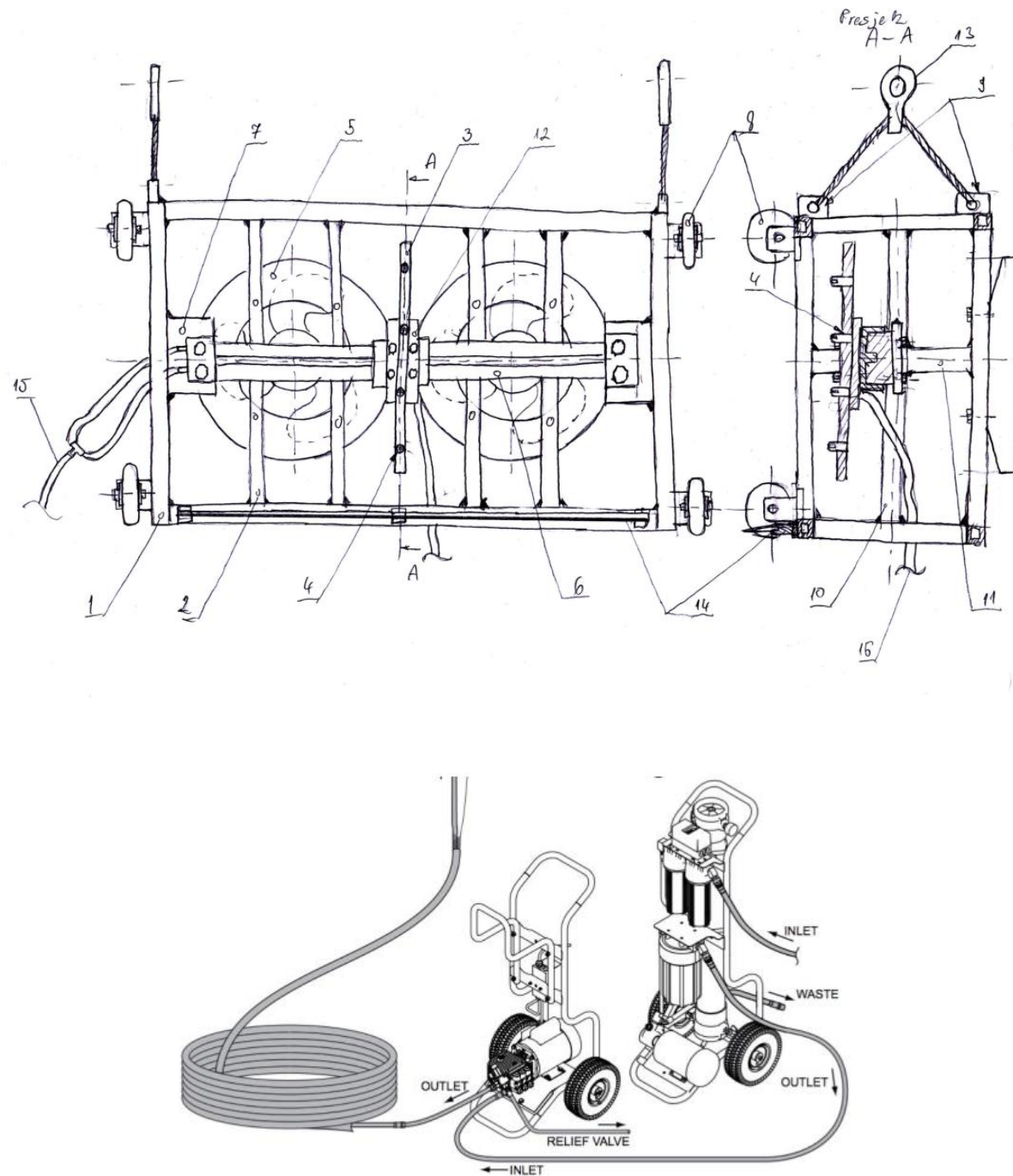
MORFOLOŠKA MATRICA			
FUNKCIJA	RJEŠENJA POJEDINIH FUNKCIJA		
Uredaj na pročelje zgrade postaviti	Ručno 	Dizalica 	
Dovod energije do uređaja omogućiti		Izolirani kabel + modularno napajanje	
Kablove na uređaj prihvatići			
Kablove na uređaju izolirati			
Uredaj pozicionirati	Ručno 	Dizalica 	
Kontakt između uređaja i staklene površine ostvariti	Vakumska usisna prihvavnica 	Gumeni kotači 	
Kontakt između uređaja i staklene površine održavati	Vakuumski ovjes 	Amortizer 	Potisni ventilator 
Uredaj po staklenom pročelju voditi	Pomična dizalica 	Vozičak + tračnice 	Pokretnе vakuumske hvataljke 
Sigurno vođenje uređaja po staklenom pročelju osigurati	Graničnici		Senzori 
Električnu energiju u energiju za rotaciju pretvoriti		Elektromotor 	
Energiju za rotaciju u energiju za translaciju pretvoriti	Lineatni aktuator 	Elektromehanički i pneumatski linearni pogoni s klizačem 	Zupčasta letva 
Uredaj u radu nadgledati	Ljudsko oko	Kamera 	Senzori 
Staklenu površinu čistiti	Mlaznice za vodenu paru 		Rotirajuća četka 
Staklenu površinu ocijediti	Gumeni brisač 	Puhalo vrućeg zraka 	Usisna pumpa 
Informacije s uređajem izmjenjivati	CPU 	Arduino 	PLC (programmable logic controller)
Vodu iz vodovoda dovesti		Dovodno tlačno crijevo 	
Vodu pročistiti	Sustav reverzne osmoze 	Desalinizator 	Omekšivači vode 
Čistu vodu do uređaja dovesti		Dovodno tlačno crijevo 	
Čistu vodu skladištiti		Izolirani spremnik 	
Čistu vodu do isparavanja zagrijavati	Električni grijач 		Plinsko zagrijavanje
Žaštitu uređaja od vanjskih utjecaja osigurati	Metalno kućište	Plastično kućište	Kompozitno kućište

Slika 32. Morfološka matrica

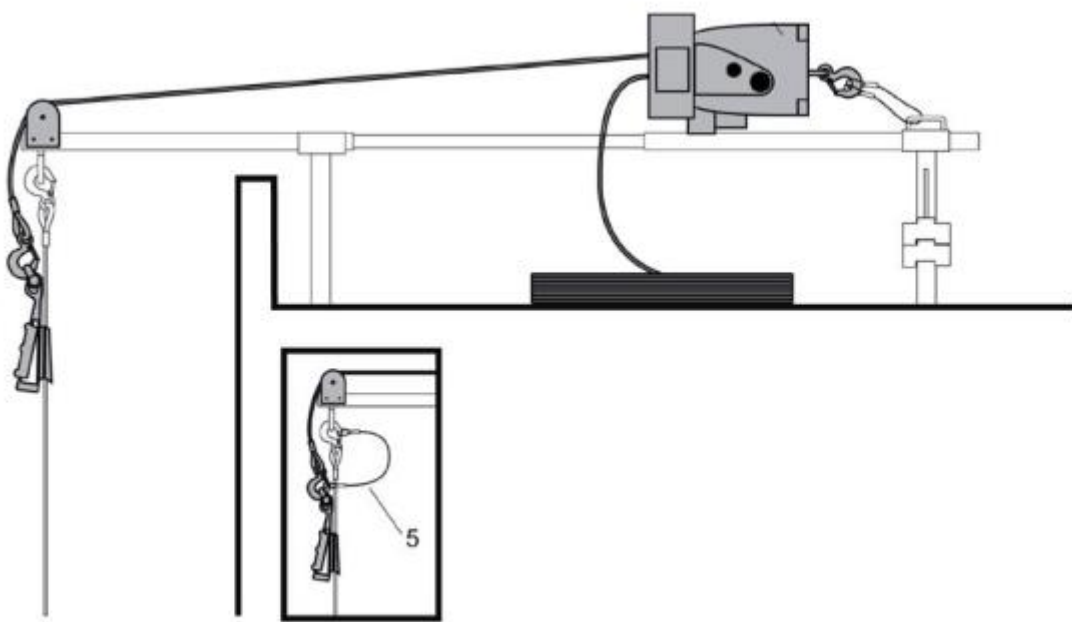
5.3. Konceptualna rješenja

Definiranjem funkcija koje uređaj mora ispunjavati te danim rješenjima za te funkcije u morfološkoj matrici izrađuje se nekoliko konceptualnih rješenja uređaja za čišćenje staklenih pročelja zgrada.

5.3.1. Koncept 1



Slika 33. Koncept 1



Slika 34. Koncept 1 – dizalica

- | | |
|---|--|
| 1 – Nosiva konstrukcija | 9 – Nosač za ovješenje |
| 2 – Nosač ventilatora | 10 – Vertikalna ukruta |
| 3 – Nosač mlaznica | 11 – Horizontalna ukruta |
| 4 – Mlaznica | 12 – Pričvrsnica nosača mlaznica na klizač |
| 5 – Ventilator | 13 – Ovjesno oko |
| 6 – Pneumatski linearni pogon
sa klizačem | 14 – Brisač |
| 7 – Nosač pneumatskog linearног
pogona sa klizačem | 15 – Tlačno crijevo za zrak |
| 8 – Gumeni kotač | 16 – Tlačno crijevo za vodu |

Princip rada :

Uređaj se postavlja na pročelje zgrade pomoću mobilne dizalice postavljene na krov zgrade. Nosiva konstrukcija uređaja (1) te vertikalne (10) i horizontalne (11) ukrute izrađeni su u zavarenoj izvedbi od kvadratnih cijevi od nehrđajućeg čelika. Postupak čišćenja omogućuje se putem 4 mlaznice (4) koje su pomoću nosača (3) i pričvrsnice (12) postavljeni na pneumatski linearni pogon sa klizačem (6) koji omogućuje translatorno gibanje mlaznica. Površina stakla

čisti se parom pročišćene vode nakon čega brisač (14) cijedi očišćenu površinu stakla. Sustav za pročišćavanje putem reverzne osmoze te spremnik komprimiranog zraka postavljeni su na pokretnim kolicima [Slika 33] te se do uređaja dopremaju pomoću tlačnih crijeva (15) i (16). Vođenje uređaja omogućeno je pomoću gumenih kotača, dok se pomicanje samog uređaja vrši pomoću portalne dizalice na koju je uređaj ovješen pomoću ovjesnog oka (13). Stalan kontakt sa površinom održava se pomoću dva ventilatora (5) koji djeluju kao potisnici.

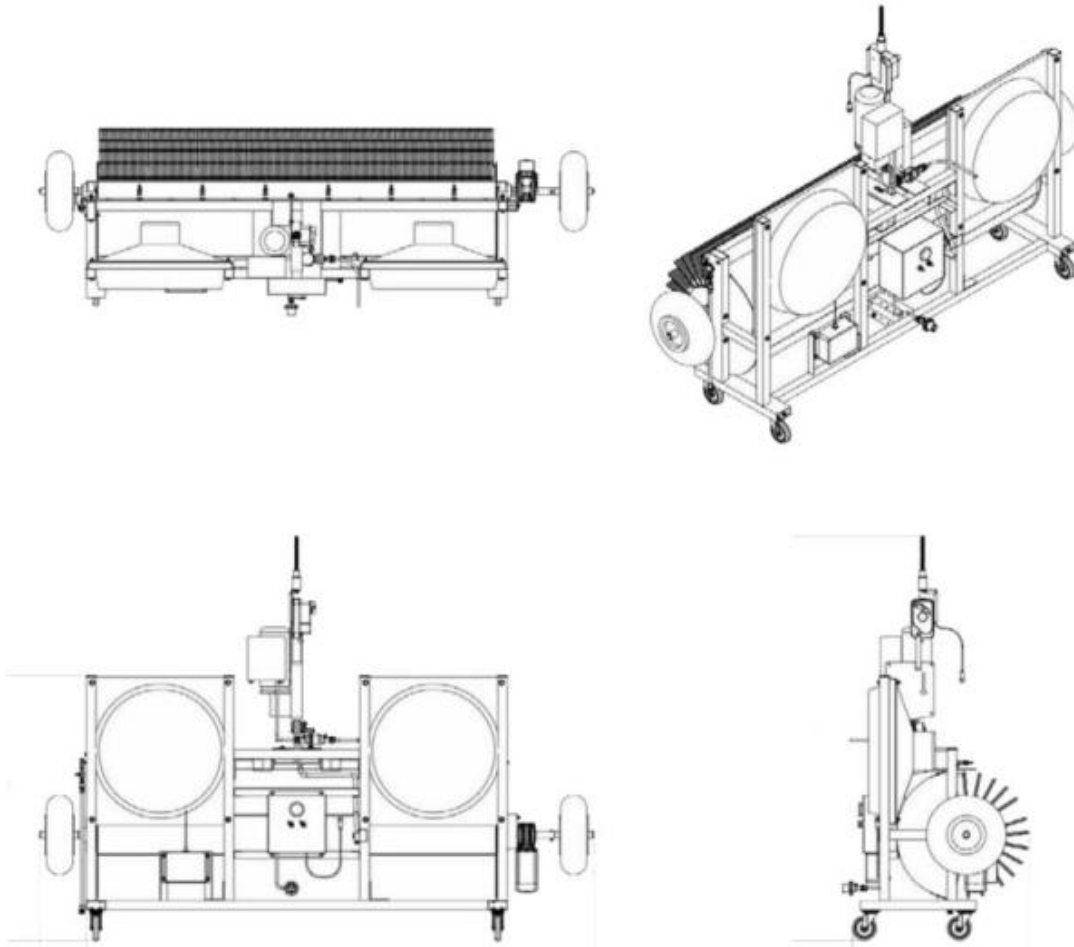
Prednosti:

- Velika brzina čišćenja
- Visoka efikasnost čišćenja
- Ekološki prihvatljiva metoda čišćenja
- Relativno malo pokretnih dijelova na samom uređaju
- Jednostavna izvedba uređaja

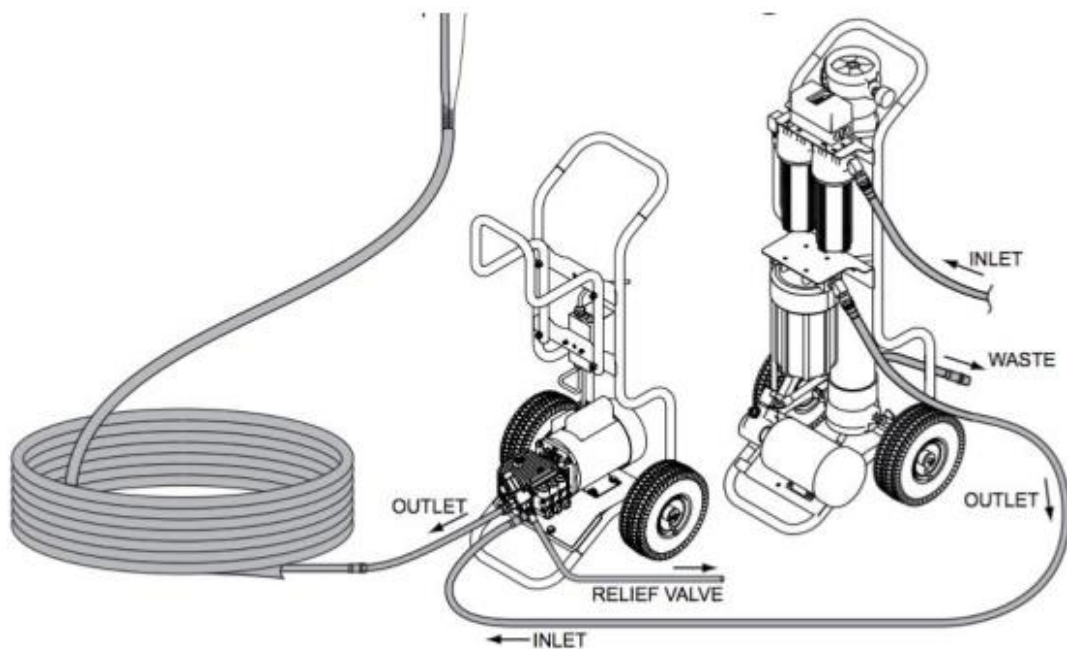
Nedostaci:

- Potrebna mobilna dizalica za postavljenje te pomicanje uređaja
- Dugotrajno postavljanje uređaja
- Potrebna posebna kolica za mehanizam za pročišćavanje vode
- Potrebna posebna kolica za spremnik komprimiranog zraka
- Dugotrajan prelazak uređaja s jedne strane pročelja na drugo
- Veća buka uređaja zbog ventilatora

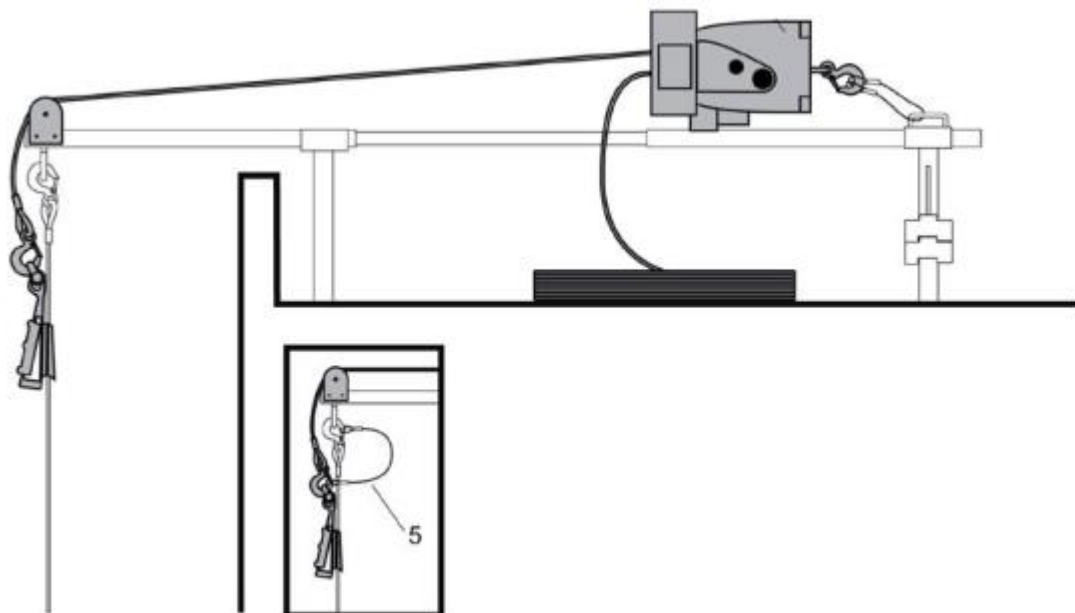
5.3.2. Koncept 2



Slika 35. Koncept 2



Slika 36. Koncept 2 – sustav za pročišćavanje vode



Slika 37. Koncept 2 - Dizalica

Princip rada :

Uređaj se postavlja na pročelje zgrade pomoću mobilne dizalice postavljene na krov zgrade. Nosiva konstrukcija uređaja te vertikalne i horizontalne ukrute izrađeni su u zavarenoj izvedbi od kvadratnih cijevi od nehrđajućeg čelika. Postupak čišćenja omogućuje se vodom putem mlaznica te rotirajuće četke. Mlaznice su postavljene iza rotirajuće četke čime se omogućuje efikasnije čišćenje staklene površine. Površina stakla čisti se pročišćenom vodom nakon čega brisač cijedi očišćenu površinu stakla. Sustav za pročišćavanje putem reverzne osmoze postavljen je na pokretnim kolicima [Slika 36] te se voda do uređaja doprema pomoću tlačnog crijeva. Vođenje uređaja omogućeno je pomoću gumenih kotača, dok se pomicanje samog uređaja vrši pomoću portalne dizalice na koju je uređaj ovješen pomoću ovjesnog oka. Stalan kontakt sa površinom održava se pomoću dva ventilatora koji djeluju kao potisnici.

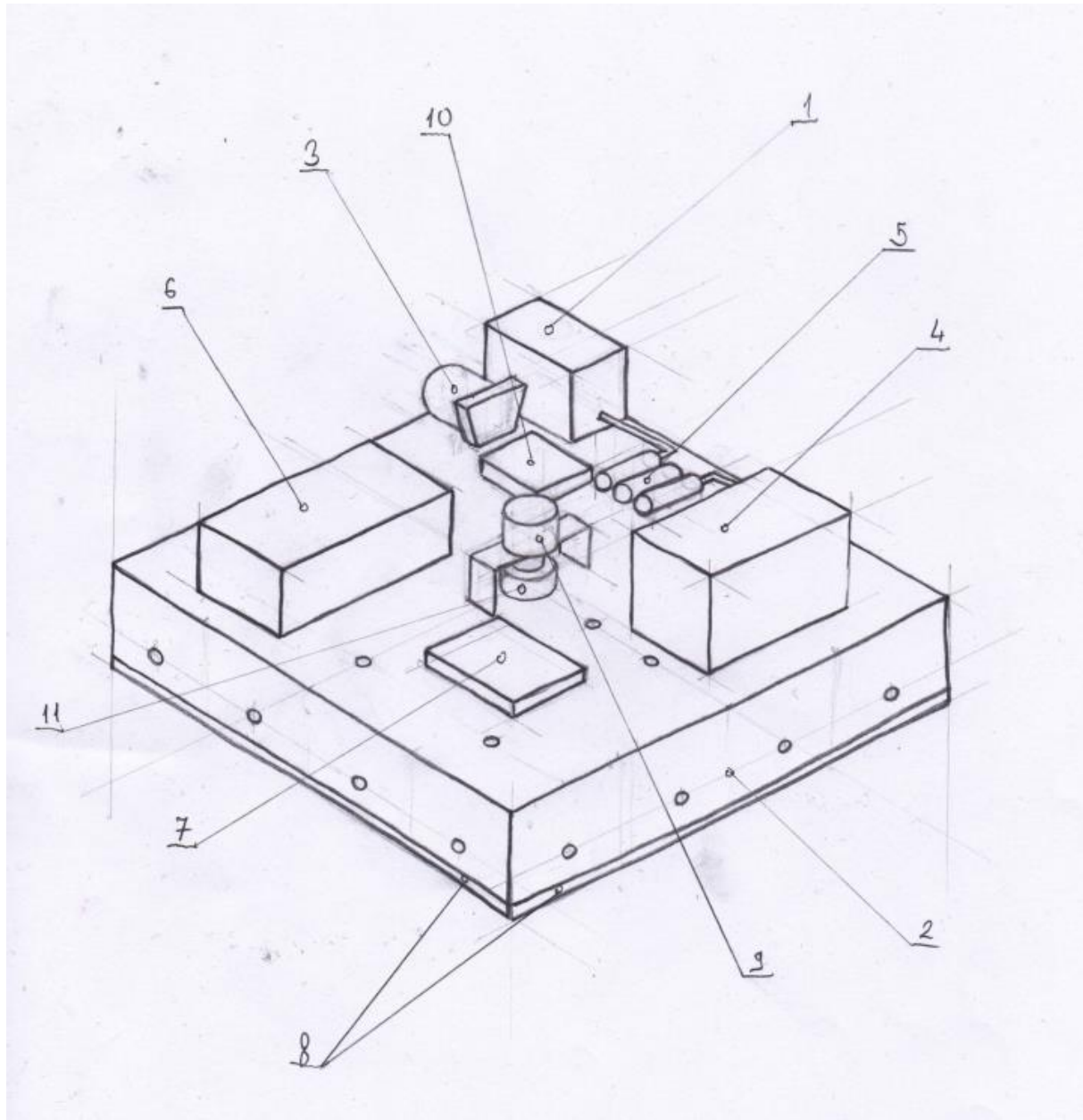
Prednosti:

- Velika brzina čišćenja
- Visoka efikasnost čišćenja
- Ekološki prihvatljiva metoda čišćenja
- Jednostavna izvedba uređaja

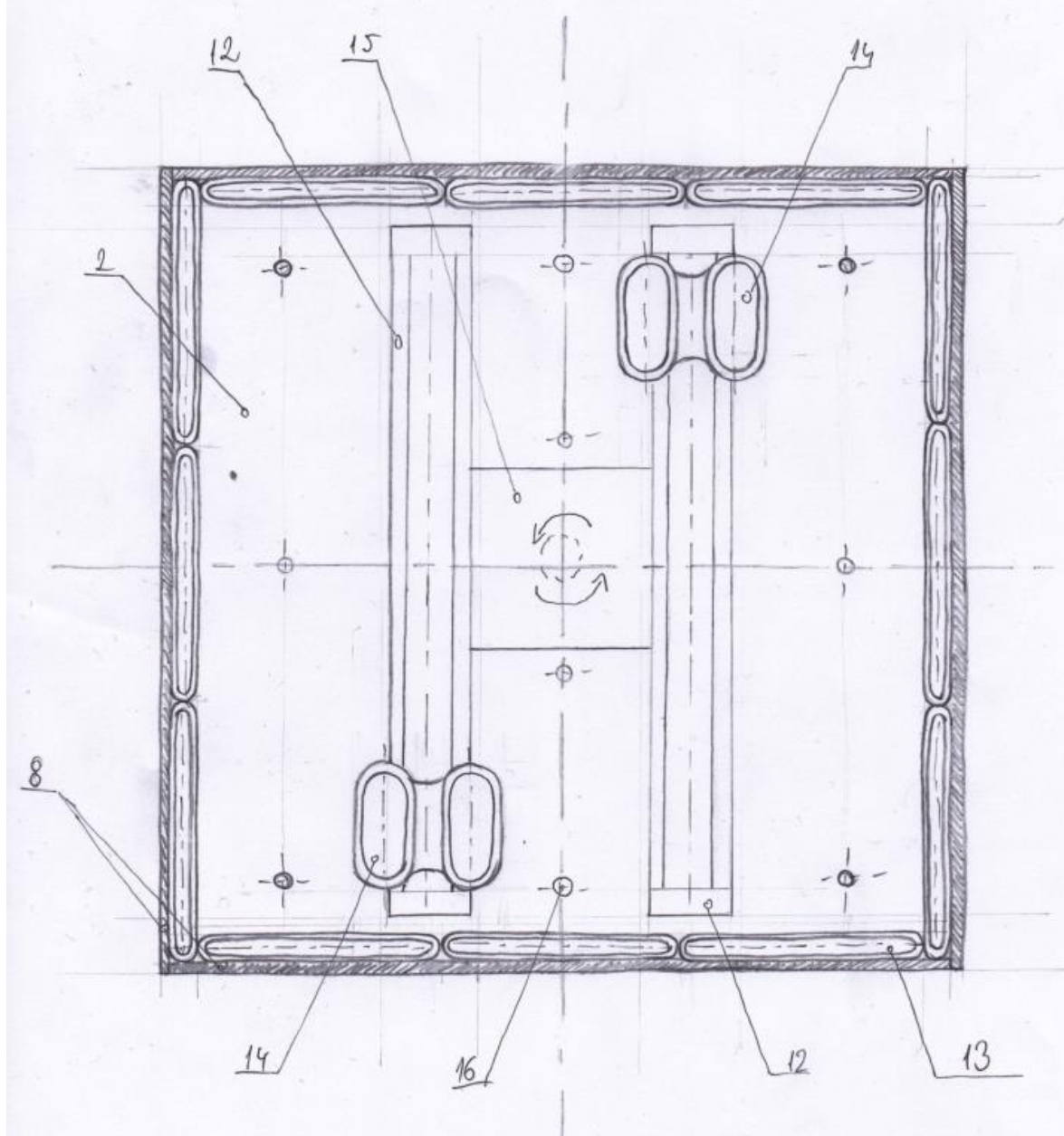
Nedostaci:

- Potrebna mobilna dizalica za postavljenje te pomicanje uređaja
- Dugotrajno postavljanje uređaja
- Potrebna posebna kolica za mehanizam za pročišćavanje vode
- Dugotrajan prelazak uređaja s jedne strane pročelja na drugo
- Veća buka uređaja zbog ventilatora i četke
- Veće prskanje vode
- Veća potrošnja vode

5.3.3. Koncept 3



Slika 38. Koncept 3 – gornji dio uređaja bez poklopcu



Slika 39. Koncept 3 - donji dio uređaja / mehanizam kretanja

- | | |
|--------------------------------|---|
| 1 – Spremnik vode | 9 – Elektromotor za rotaciju pogona |
| 2 – Nosiva konstrukcija | 10 – Kutija s ventilima za reguliranje vakuma |
| 3 – Vakuumska pumpa | 11 – Rotacijski mehanizam |
| 4 – Generator pare | 12 – Elektromehanički linearni pogon s klizačem |
| 5 – Sustav pročišćavanja vode | 13 – Vakuumske hvataljke - nepokretne |
| 6 – Sustav napajanja | 14 – Vakuumske hvataljke - pokretne |
| 7 – PLC – upravljačka jedinica | 15 – Nosač linearног pogonskog mehanizma |
| 8 – Gumeni brisač | 16 – Mlaznica vodene pare |

Princip rada:

Uređaj se postavlja na pročelje zgrade pomoću male dizalice ili ručno na bilo koji dio pročelja (krov ili podnožje). Uređaj je ima vrlo kompaktnu kvadarsku izvedbu koja omogućuje čišćenje pročelja do samih rubova. Postupak čišćenja započinje ulijevanjem vode iz vodovoda u spremnik vode (1) nakon čega slijedi pročišćavanje vode posebnim sustavom pročišćavanja putem obrnute osmoze (5). Pročišćena voda potom isparava pomoću isparivača (4) te se nabija na tlak čišćenja te dovodi do mlaznica (16) koje čiste staklenu površinu. Oчиšćena staklena površina cijedi se pomoću gumenih brisača (8) postavljenih na sva četiri donja brida uređaja čime se omogućuje kvalitetno čišćenje u dvije osi (x, y). Dodatno sušenje i sakupljanje preostale onečišćene vode sa površine stakla omogućuje se pomoću vakuumskih hvataljki (13) postavljenih po obodu uređaja gdje se takve kapljice vode pomoću vakuum pumpe odvode u sustav za pročišćavanje vode (5). Vođenje i kretanje uređaja omogućeno je pomoću pokretnih vakuumskih hvataljki (14) koje se mogu podešavati po visini pomoću ovjesnog mehanizma. Vakuumske hvataljke postavljene su tako da su po dvije pokretnе hvataljke(14) postavljene na svaki klizač elektromehaničkog linearног pogona čime se omogućuje kontinuirano gibanje u linearној osi. Potom se pomoću rotacijskog mehanizma (11) omogućuje rotacija pogonskog mehanizma, a time i gibanje uređaja po cijeloj površini staklenog pročelja. Nepokretne vakuumske hvataljke ostaju u stalnom kontaktu sa staklenom površinom čime se osigurava stabilnost uređaja. Upravljanje uređajem vrši se pomoću daljinskog upravljača koji prima signale od uređaja.

Prednosti:

- Velika brzina čišćenja
- Visoka efikasnost čišćenja
- Ekološki prihvatljiva metoda čišćenja
- Kompaktna izvedba uređaja
- Nije potrebna mobilna dizalica za postavljenje te pomicanje uređaja
- Relativno miran rad
- Autonomno pomicanje uređaja i čišćenje u dvije osi
- Mala potrošnja vode
- Brzo postavljanje uređaja
- Sigurno vođenje uređaja

Nedostaci:

- Kompleksnija izvedba pokretnog mehanizma
- Veći broj pokretnih dijelova
- Veći investicijski troškovi
- Više elektroničnih komponenti

5.3.4. Evaluacija koncepata

Tablica 7. Evaluacija koncepata

Glavne potrebe korisnika	Koncept 1	Koncept 2	Koncept 3
Kvaliteta čišćenja staklenih površina	10	10	10
Efikasnost čišćenja	9	10	9
Sigurno vođenje i upravljanje uređaja	7	7	7
Investicijski troškovi	6	5	5
Ekološki prihvatljivo čišćenje	10	10	10
Cijena održavanja i servisiranja	6	7	5
Životni vijek	8	8	8
Generiranje buke i utjecaj na okolinu	4	3	7
Jednostavnost uporabe	5	5	7
Estetika	2	2	6

Ukupna ocjena koncepata dobije se umnoškom ocjene važnosti sa ocjenom koncepta prema definiranim potrebama korisnika prema kojoj slijedi:

- Koncept 1 – 425
- Koncept 2 – 429
- Koncept 3 – 430

Na temelju potreba korisnika i generiranja koncepata odabire se Koncept 3 kao najbolji.

Glavna prednost ovoga koncepta je mogućnost potpuno autonomnog kretanja te čišćenja u dvije osi uz zadovoljavajuću učinkovitost čišćenja. Velika prednost je i mogućnost jednostavnog postavljanja uređaja na pročelje zgrade te vrlo kompaktна izvedba. Uređaj je ekološki vrlo prihvatljiv jer za čišćenje koristi sustav obratne osmoze. Posebnost ovog uređaja predstavlja i način cijeđenja staklenih površina pomoću 4 gumena brisača te sustavom usisavanja samih kapljica preostale onečišćene vode. Upravljanje ovakvim uređajem je sigurno i dovoljna je samo jedna adekvatno sposobljena osoba za upravljanje. Vibracije i buka koje generira ovakav uređaj smanjeni su na prihvatljivu razinu pomoću izoliranog kućišta što predstavlja značajnu prednost u odnosu na ostale koncepte. Relativni nedostatak ovog koncepta odnosno ovakvog

uređaja za čišćenje staklenog pročelja predstavljaju veći investicijski troškovi te sama kompleksnija izvedba pokretnog mehanizma. Obzirom na sve prednosti koje ovakav uređaj ima te inovativnost samog uređaja u vidu potpune autonomnosti u radu i korištenjem vodene pare za čišćenje čime je poprilično smanjena potrošnja vode, a time i troškovi održavanja zaključujem da je ovaj koncept najprihvatljiviji i u nastavku će slijediti njegova detaljna razrada.

6. KONSTRUKCIJSKA RAZRADA ODABRANOG KONCEPTA

Odabirom koncepta 3 kao najpovoljnijeg kreće se u njegovu detaljniju konstrukcijsku razradu. Koncept 3 najviše odstupa od ostalih koncepata jer je potpuno autonoman tj. svi pogonski uređaji uključujući i izvor energije (baterije) nalaze se na samom uređaju. Na taj način omogućeno je brže i lakše postavljanje uređaja na pročelje zgrade te je moguće puno lakše vođenje i upravljanje uređajem. Obzirom na količinu i složenost pogonskih uređaja na te na samu postupak čišćenja staklenih pročelja potrebno je uvesti dodatne prepostavke kako bi uređaj bio izvediv.

PREPOSTAVKE:

- Brzina čišćenja, $v_{čiš} = 6 \text{ m/min} = 0,1 \text{ m/s}$
- Potrošnja vode, $q_{mv} = 3 \text{ l/h} = 0,05 \text{ l/s}$
- Kapacitet baterije dovoljan za čišćenje u trajanju od min. 1 h
- Čišćenje jedne strane pročelja u kontinuitetu
- Prepostavljena masa uređaja, $m_{pret} = 200 \text{ kg}$
- Čišćenje ravnih površina staklenog pročelja
- Omogućen prelazak preko aluminijskih okvira staklenog pročelja
- Čišćenje sustavom reverzne osmoze
- Čišćenje parom
- Kontakt te držanje uređaja za staklene površine ostvaruje se vakuumom sa potrebnom regulacijom pomoću ventila

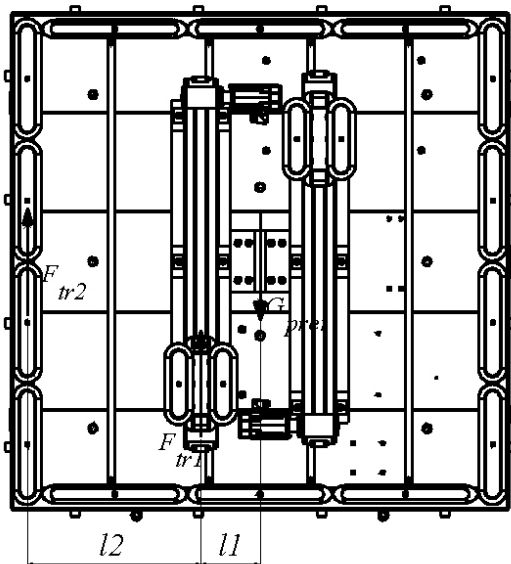
Ostali potrebni parametri za odabir pojedinih uređaja biti će definirani tijekom proračuna određenog pogonskog uređaja.

6.1. Proračun pogonskog mehanizma

Pogonski mehanizam uređaja proračunava se obzirom na željenu brzinu čišćenja, $v_{čiš}$ koja iznosi 6 m/min odnosno 0,1m/s. Pogonski mehanizam treba omogućiti kontinuirano linearno gibanje te rotaciju za minimalno 90° kako bi bilo moguće kretanje uređaja u svim smjerovima po pročelju zgrade.

6.1.1. Linearni pogon

Opterećenje mehanizma za linearno gibanje prikazuje slika 40.



Slika 40. Opterećenje mehanizma za linearno gibanje

Aksijalna sila potrebna za pogon linearnog mehanizma određuje se prema izrazu:

$$F_{aks} = F_{tr1} + F_{tr2} + G_{pret} \quad (2)$$

Gdje je:

F_{tr1} – sila trenja na nepokretnim vakuumskim hvataljkama na nosivoj konstrukciji

F_{tr2} – sila trenja na pokretnim vakuumskim hvataljkama

G_{pret} – pretpostavljena težina uređaja

Sile trenja na nepokretnim i pokretnim vakuumskim hvataljkama određuju se iz ravnoteže momenta i sila u vertikalnom smjeru prema izrazima:

$$F_{tr2} \cdot l_2 = G_{pret} \cdot l_1 \quad (3)$$

Iz kojeg se izvodi izraz za silu trenja na nepokretnim vakuumskim hvataljkama:

$$F_{tr2} = G \cdot \frac{l_1}{l_2} \quad (4)$$

Gdje je:

F_{tr1} – sila trenja na nepokretnim vakuumskim hvataljkama na nosivoj konstrukciji

F_{tr2} – sila trenja na pokretnim vakuumskim hvataljkama

G_{pret} – pretpostavljena težina uređaja

l_1 – udaljenost između sile težine uređaja i pokretnih hvataljki

l_2 – udaljenost između sile trenja nepokretnih hvataljki i pokretnih hvataljki

Sila trenja na pokretnim vakuumskim hvataljkama određuje se iz izraza :

$$F_{tr1} = G - F_{tr2} \quad (5)$$

Težina uređaja određuje se prema izrazu :

$$G = m_{pret} \cdot g \quad (6)$$

Gdje je:

m_{pret} – pretpostavljena masa uređaja

g – ubrzanje zemljine sile teže

U izraz (6) uvrštavaju se brojčane vrijednosti:

$$m_{pret} = 200 \text{ kg}$$

$$g = 9,81 \text{ m/s}^2$$

Pri čemu se dobiva:

$$G = 200 \cdot 9,81 = 1962 \text{ N}$$

U izraze (4) i (5) uvrštavaju se brojčane vrijednosti:

$$G_{pret} = 1962 \text{ N}$$

$$l_1 = 191 \text{ mm}$$

$$l_2 = 561 \text{ mm}$$

Pri čemu se dobiva:

$$F_{tr2} = 1962 \cdot \frac{191}{561} = 668 \text{ N}$$

$$F_{tr1} = 1962 - 668 = 1294 \text{ N}$$

U izraz (2) uvrštavaju se brojčane vrijednosti:

$$G_{pret} = 1962 \text{ N}$$

$$F_{tr1} = 1294 \text{ N}$$

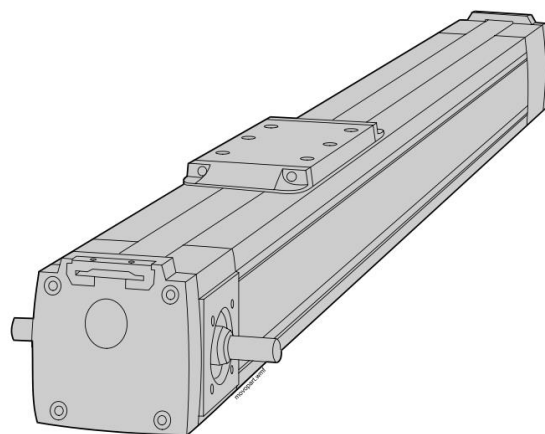
$$F_{tr2} = 668 \text{ N}$$

Pri čemu se dobiva:

$$F_{aks} = 1294 + 668 + 1962 = 3924 \text{ N}$$

6.1.1.1. Odabir kugličnog vretena

Prema izračunatoj maksimalnoj aksijalnoj sili, $F_{aks} = F_v = 3924 \text{ N}$ potrebnoj za pogon linearne jedinice odabire se prema [11] linearna jedinica sa kugličnim vretenom i klizačem MF100 tvrtke THOMSON [Slika 41.] i preporučenim pogonskim servo motorom AKM 41X tvrtke KOLLMORGEN [Slika 42.].



Slika 41. Linearna jedinica THOMSON MF100



Slika 42. Servo motor KOLLMORGEN AKM 41X

Linearna jedinica i servo motor isporučuju se zajedno sa spojkom i prijenosnikom putem para stožnika i cijeli sklop je potpuno zaštićen od utjecaja vode, vlage i prašine. Karakteristike

linearne jedinice THOMSON MF100 prikazane su u tablici 8, a karakteristike servo motora KOLLMORGEN AKM 41X u tablici 9.

Tablica 8. Karakteristike linearne jedinice sa kugličnim vretenom, prema [11]

Specifikacije	THOMSON MF100
Dimenziije presjeka, w x h (mm)	108 x 100
Tip vretena	Kuglično vreteno / jedna matica
Duljina koraka vretena (mm)	900
Maksimalna brzina (m/s)	1,25
Maksimalna akceleracija (m/s^2)	8
Temperatura primjene (°C)	-20 - 70
Maksimalno dinamičko opterećenje, F_x (N)	5000
Maksimalno dinamičko opterećenje, F_y (N)	3000
Maksimalno dinamičko opterećenje, F_z (N)	3000
Maksimalni moment opterećenja, M_x (Nm)	120
Maksimalni moment opterećenja, M_y (Nm)	275
Maksimalni moment opterećenja, M_z (Nm)	275
Promjer vretena (mm)	25
Uspon vretena	10
Masa linearne jedinice sa nosačima (kg)	15,5

Tablica 9. Specifikacije servo motora Kollmorgen AKM 41X, prema [12]

Specifikacije	Kollmorgen AKM 41X
Optimalni moment (Nm)	6
Maksimalni moment	20,6
Nazivna brzina vrtnje (min^{-1})	3000
Snaga (W)	480
Izvor struje	DC
Kočnica	Da
Masa (kg)	2,44

6.1.1.2. Proračun vijaka za pričvršćenje nosive konstrukcije linearnog pogona

Vijci za pričvršćenje nosive konstrukcije linearnog pogona opterećeni su smično prema izrazu:

$$\tau_{s,v} = \frac{F_{max}}{A_j} = \frac{F_{max}}{\frac{d_v^2 \cdot \pi}{4}} \leq \tau_{dop,v} \quad (7)$$

Gdje je:

F_{max} – najveća sila na vijke

d_v – nazivni promjer vijka

$\tau_{dop,v}$ – dopušteno smično naprezanje

Kvaliteta vijka odabrana je IT 6.8 iz koje slijedi da je granica tečenja jednaka:

$$R_e = 480 \text{ N/mm}^2$$

Iz čega slijedi da je dopušteno smično naprezanje prema [2]:

$$\tau_{dop,v} = 90 \text{ N/mm}^2$$

Iz izraza (7) izvodi se izraz za potreban promjer vijka:

$$d_v \geq \sqrt{\frac{4 \cdot F_{max}}{\tau_{dop,v} \cdot \pi}} \quad (8)$$

U izraz (8) uvrštavaju se brojčane vrijednosti:

$$F_{max} = G_{pret} = 1962 \text{ N}$$

$$\tau_{dop,v} = 90 \text{ N/mm}^2$$

pri čemu se dobiva:

$$d_v \geq \sqrt{\frac{4 \cdot 1962}{90 \cdot \pi}} = 5,27 \text{ mm}$$

Odabran vijak M12 IT 6.8

Potreban broj vijaka određuje se prema izrazu:

$$n_v \geq \frac{F_{max}}{\tau_{dop,v} \cdot A_j} \quad (9)$$

Gdje je:

F_{max} – najveća sila na vijke

A_j – površina presjeka jezgre vijka

$\tau_{dop,v}$ - dopušteno smično naprezanje

a – udaljenost reakcijske sile u osloncu A od oslonca B

b – udaljenost sile težine pogonskog uređaja od oslonca B

U izraz (9) uvrštavaju se brojčane vrijednosti:

$$F_{max} = 1962 \text{ N}$$

$$\tau_{dop} = 90 \text{ N/mm}^2, \text{ prema [2]}$$

$$A_j = 76,2 \text{ mm}^2, \text{ prema [1]}$$

pri čemu se dobiva:

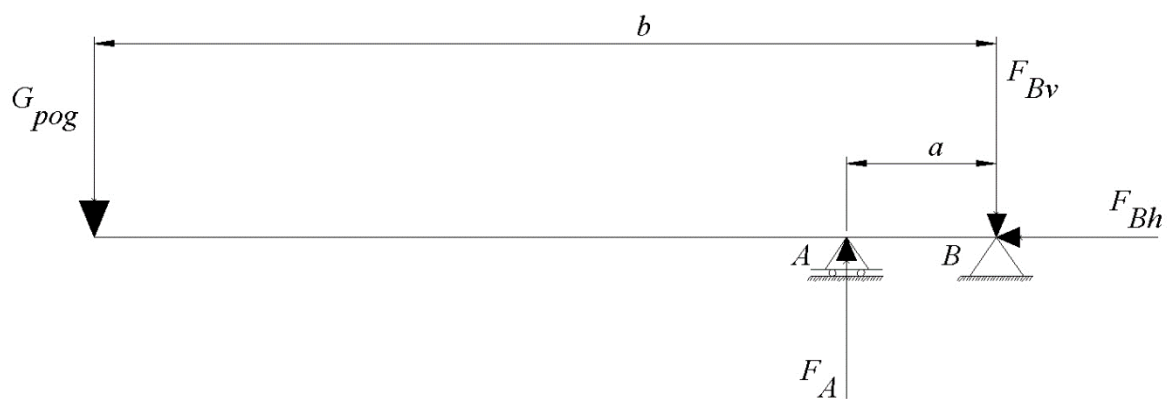
$$n_v \geq \frac{1962}{90 \cdot 76,2} = 0,286$$

Iz konstrukcijskih razloga, radi lakšeg rukovanja odabранo $n = 4$ odnosno odabrana 3 vijka M12 IT 6.8

6.1.2. Rotacijski pogon

6.1.2.1. Dimenzioniranje vratila

Opterećenje vratila za rotaciju prikazuje slika 43. Vratilo je uležišteno konzolno zbog male duljine vratila i jednostavnijeg montiranja.



Slika 43. Opterećenje vratila

- Određivanje reakcija u osloncima

Prema slici 43 reakcije u osloncima izračunavaju se iz ravnoteže momenata i sila prema izrazima:

$$F_A \cdot a = G_{pog} \cdot b \quad (10)$$

$$F_A - F_{Bv} = G_{pog} \quad (11)$$

$$F_{Bh} = 2G_{pog}$$

Iz kojih se izvode izrazi za reakcije u osloncima A i B:

$$F_A = G_{pog} \cdot \frac{b}{a} \quad (12)$$

$$F_{Bv} = F_A - G_{pog} \quad (13)$$

Gdje je :

F_A – sila u osloncu A

F_{Bv} – vertikalna sila u osloncu B

F_{Bh} – horizontalna sila u osloncu B

G_{pog} – težina pogonskog mehanizma

Težina pogonskog mehanizma izračunava se prema izrazu:

$$G_{pog} = (m_{LP} + m_{SMLP} + m_{NKLP}) \cdot g \quad (14)$$

Gdje je:

m_{LP} – masa linearног pogonskog mehanizma

m_{SMLP} – masa servo motora za linearni pogon

m_{NKLP} – masa nosive konstrukcije linearног pogona

g – ubrzanje zemljine sile teže

U izraz (14) uvrštavaju se brojčane vrijednosti:

$$m_{LP} = 15,5 \text{ kg}$$

$$m_{SMLP} = 2,44 \text{ kg}$$

$$m_{NKLP} = 3,5 \text{ kg}$$

$$g = 9,81 \text{ m/s}^2$$

Pri čemu se dobiva:

$$G_{pog}(15,5 + 2,44 + 3,5) \cdot 9,81 = 210,3 \text{ N} \approx 211 \text{ N}$$

U izraze (10) i (11) uvrštavaju se brojčane vrijednosti:

$$G_{pog} = 211 \text{ N}$$

$$a = 25 \text{ mm}$$

$$b = 150,5 \text{ mm}$$

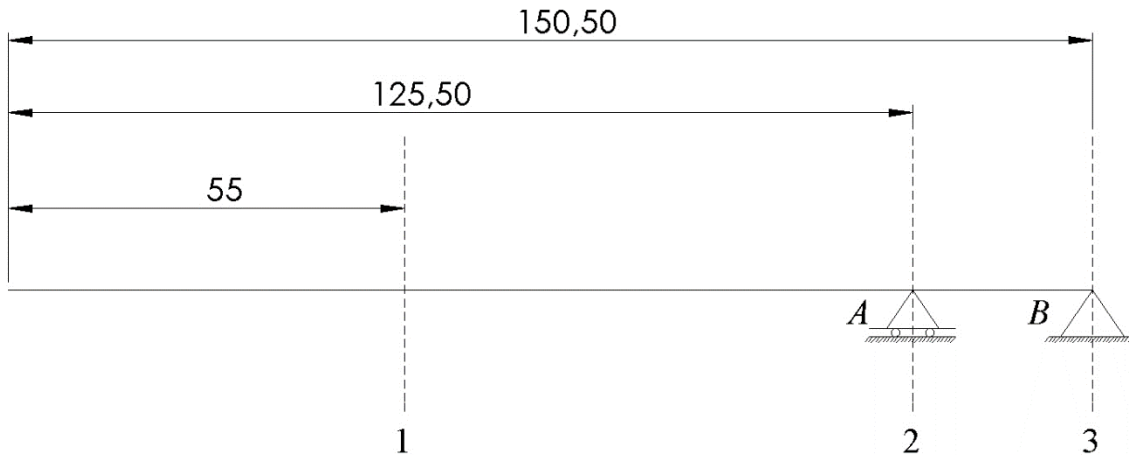
Pri čemu se dobiva:

$$F_A = 211 \cdot \frac{150}{25} = 1266 \text{ N}$$

$$F_{Bv} = 1266 - 211 = 1055 \text{ N}$$

$$F_{Bh} = 2 \cdot 211 = 422 \text{ N}$$

- Proračun idealnog oblika vratila



Slika 44. Presjeci idealnog oblika vratila

Za materijal vratila odabran je čelik S355JR (Č.0561) čija su svojstva prema [2]:

$$\sigma_{fDN\,dop} = 50 \text{ N/mm}^2 - \text{dopušteno savojno naprezanje}$$

$$\tau_{t\,dop} = 40 \text{ N/mm}^2 - \text{dopušteno torzijsko naprezanje}$$

$$\sigma_{fDN} = 240 \text{ N/mm}^2 - \text{trajna dinamička čvrstoća na savijanje pri naizmjeničnom opterećenju}$$

$$\tau_{tDI} = 190 \text{ N/mm}^2 - \text{trajna dinamička čvrstoća na uvijanje pri istosmjernom opterećenju}$$

Promjeri vratila u presjecima koji su istovremeno opterećeni na savijanje i uvijanje određuju se prema izrazu:

$$d = \sqrt[3]{\frac{10 \cdot M_{red}}{\sigma_{fDN\,dop}}} \quad (15)$$

Gdje je:

d – promjer vratila na određenom presjeku, prema [2]

M_{red} – reducirani moment, prema [2]

$\sigma_{fDN\,dop}$ – dopušteno savojno naprezanje, prema [2]

Reducirani moment određuje se prema izrazu:

$$M_{red} = \sqrt{M^2 + 0,75 \cdot (\alpha_0 \cdot T)^2} \quad (16)$$

Gdje je:

M – moment savijanja promatranog presjeka, prema [2]

T – moment uvijanja koji opterećuje promatrani presjek

α_0 – faktor čvrstoće materijala vratila obzirom na način njegova opterećenja,
prema [2]

Faktor čvrstoće materijala vratila određuje se prema izrazu:

$$\alpha_0 = \frac{\sigma_{fDN}}{1,73 \cdot \tau_{tDI}} \quad (17)$$

U izraz (34) uvrštavaju se brojčane vrijednosti prema [2], pri čemu se dobiva:

$$\alpha_0 = \frac{240}{1,73 \cdot 190} = 0,73$$

Moment savijanja na promatranom presjeku određuje se prema izrazu:

$$M_x = F \cdot x \quad (18)$$

Gdje je:

F – Sila koja opterećuje promatrani presjek, prema [2]

x – krak sile na promatranom presjeku

Moment uvijanja vratila određuje se prema izrazu:

$$T = G_{pog} \cdot s \quad (19)$$

Gdje je:

G_{pog} – težina pogonskog mehanizma

s – krak sile težine pogonskog mehanizma

U izraz (19) uvrštavaju se brojčane vrijednosti:

$$G_{pog} = 211 \text{ N}$$

$$s = 191 \text{ mm}$$

Pri čemu se dobiva:

$$T = 211 \cdot 191 = 40301 \text{ Nmm} = 40,3 \text{ Nm}$$

Svi presjeci (1..3) napregnuti su istovremeno savojno i torzijski

Presjek I

U izraze (15), (16) i (18) uvrštavaju se brojčane vrijednosti:

$$x_1 = 0,055 \text{ m}$$

$$F = G_{pog} = 211 \text{ N}$$

$$T = 40,3 \text{ Nm}$$

pri čemu se dobiva:

$$M_1 = 211 \cdot 0,055 = 11,605 \text{ Nm} = 11605 \text{ Nmm}$$

$$M_{red1} = \sqrt{11605^2 + 0,75 \cdot (0,73 \cdot 40300)^2} = 25478 \text{ Nmm}$$

$$d_1 = \sqrt[3]{\frac{10 \cdot 25478}{50}} = 17,21 \text{ mm}$$

Presjek 2

U izraze (15), (16) i (18) uvrštavaju se sljedeće brojčane vrijednosti:

$$x_2 = 0,1255 \text{ m}$$

$$G_{pog} = 211 \text{ N}$$

$$T = 40,3 \text{ Nm}$$

pri čemu se dobiva:

$$M_2 = 211 \cdot 0,1255 = 26,48 \text{ Nm} = 26480 \text{ Nmm}$$

$$M_{red2} = \sqrt{26480^2 + 0,75 \cdot (0,73 \cdot 40300)^2} = 36746 \text{ Nmm}$$

$$d_2 = \sqrt[3]{\frac{10 \cdot 36746}{50}} = 19,44 \text{ mm}$$

Presjek 3

U izraze (15), (16) i (18) uvrštavaju se brojčane vrijednosti:

$$x_3 = 0,1505 \text{ m}$$

$$F_A = 1266 \text{ N}$$

$$G_{pog} = 211 \text{ N}$$

$$T = 40,3 \text{ Nm}$$

pri čemu se dobiva:

$$M_3 = 211 \cdot 0,105 - 1266 \cdot 0,025 = 9,495 \text{ Nm} = 9495 \text{ Nmm}$$

$$M_{red3} = \sqrt{9495^2 + 0,75 \cdot (0,73 \cdot 40300)^2} = 27189 \text{ Nmm}$$

$$d_3 = \sqrt[3]{\frac{10 \cdot 27189}{50}} = 17,58 \text{ mm}$$

Iz konstrukcijskih i tehnoloških razloga odabrani su sljedeći promjeri vratila

$$d_1 = 30 \text{ mm}$$

$$d_2 = 35 \text{ mm}$$

$$d_3 = 30 \text{ mm}$$

- Odabir ležajeva

Ležajevi oslonaca opterećeni su radijalnim silama :

$$F_A = 1266 \text{ N}$$

$$F_{Bv} = 1055 \text{ N}$$

Ležaj oslonca B opterećen je u stanju mirovanja aksijalnom silom koja se računa prema izrazu:

$$F_a = F_{Bh} = 2 \cdot G_{pog} \quad (20)$$

U izraz (20) uvrštavaju se brojčane vrijednosti:

$$G_{pog} = 211 \text{ N}$$

Pri čemu se dobiva:

$$F_a = 2 \cdot 211 = 422 \text{ N}$$

Obzirom na iznose radijalnih sile i aksijalne sile te male duljine vratila iz konstrukcijskih razloga odabire se dvoredni kuglični ležaj sa kućištem prema [13]:

Kućište ležaja F11207 sa ležajem 11207

Dinamička nosivost ležaja iznosi prema [13]:

$$C = 19400 \text{ N}$$

Ekvivalentno opterećenje ležaja određuje se prema izrazu:

$$P = F_r + y \cdot F_a \quad (21)$$

Gdje je:

F_r – radijalna sila

F_a – aksijalna sila

y – aksijalni faktor ležaja, prema [13]

U izraz (21) uvrštavaju se brojčane vrijednosti:

$$F_r = 1266 \text{ N}$$

$$F_a = 422 \text{ N}$$

$$y = 3,04, \text{ prema [13]}$$

Pri čemu se dobiva:

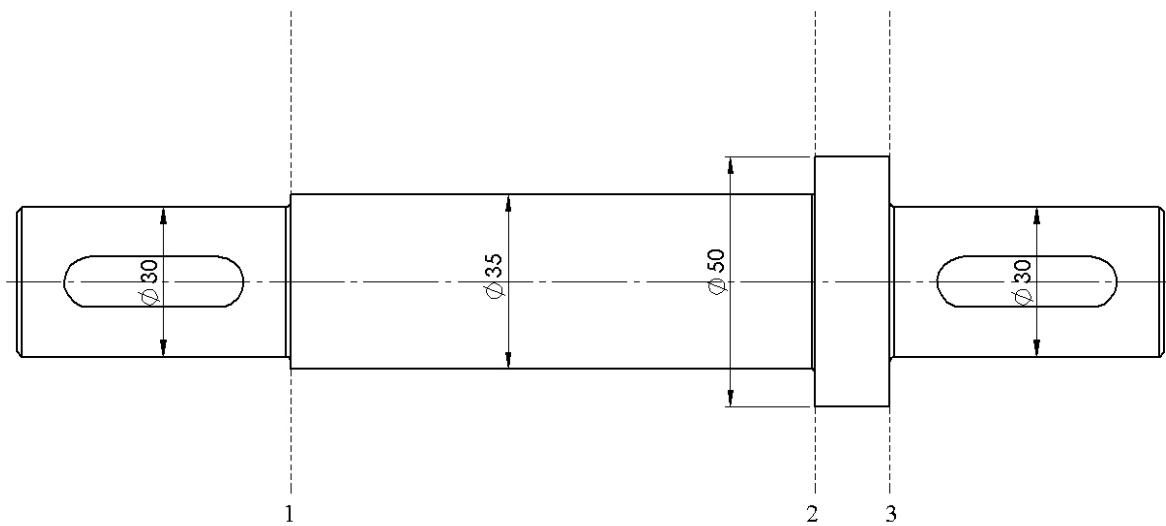
$$P = 1266 + 3,04 \cdot 422 = 2549 \text{ N}$$

$$C_1 \leq C = 19400 \text{ N}$$

$$C = 2549 \text{ N} \leq 19400 \text{ N}$$

Ležaj zadovoljava.

- Kontrolni proračun dinamičke sigurnosti vratila



Slika 45. Stupnjevano vratilo pogonskog mehanizma

Opterećenje vratila momentima u pojedinim presjecima računa se prema izrazu:

$$M_{red} = \sqrt{(M \cdot \beta_{k_f})^2 + 0,75 \cdot (\alpha_0 \cdot T \cdot \beta_{k_t})^2} \quad (22)$$

Gdje je:

M – moment savijanja promatranog presjeka, prema [2]

T – moment uvijanja koji opterećuje promatrani presjek, prema [2]

α_0 – faktor čvrstoće materijala vratila obzirom na način njegova opterećenja, prema [2]

β_{k_f} – faktor zareznog djelovanja kod savijanja, prema [2]

β_{k_t} – faktor zareznog djelovanja kod uvijanja, prema [2]

Moment savijanja za pojedini presjek određen je izrazom (18).

Postojeća sigurnost u svakom presjeku određena je izrazom prema [2]:

$$S_{post} = \frac{b_1 \cdot b_2 \cdot \sigma_{fDN}}{\varphi \cdot \sigma_{red}} \geq S_{potr} \quad (23)$$

Gdje je:

b_1 – faktor veličine, prema [2]

b_2 – faktor kvalitete površine, prema [2]

σ_{fDN} – trajna dinamička čvrstoća na savijanje pri naizmjeničnom opterećenju, prema [2]

φ – faktor udara, prema [2]

σ_{red} – reducirano naprezanje na presjeku, prema [2]

S_{potr} – potrebna sigurnost, $f(TP\%, h_{bmax}\%)$, prema [2]

Reducirano naprezanje na presjeku određeno je izrazom prema [2]:

$$\sigma_{red} = \frac{M_{red}}{W} \quad (24)$$

Gdje je:

M_{red} – reducirani moment , prema [2]

W – moment otpora presjeka, prema[2]

Moment otpora presjeka određen je izrazom prema [1]:

$$W = \frac{\pi \cdot d^3}{32} \quad (25)$$

Gdje je:

d – promjer presjeka vratila

Presjek 1

U izraz (18) uvrštavaju se brojčane vrijednosti:

$$x_1 = 0,055 \text{ mm}$$

$$F = G_{pog} = 211 \text{ N}$$

pri čemu se dobiva:

$$M_1 = 211 \cdot 0,055 = 11,605 \text{ Nm} = 11605 \text{ Nmm}$$

Na presjeku 1 zarezno djelovanje uzrokovano promjenom veličine presjeka:

β_{k_f} određen je izrazom prema [3]:

$$\beta_{k_f} = 1 + c_1 \cdot (\beta_{k_{f2}} - 1) \quad (26)$$

U izraz (26) uvrštavaju se brojčane vrijednosti:

$$c_1 = 0,38 , \text{ prema [3]} (D/d = 1,1667)$$

$$\beta_{k_{f2}} = 1,5 , \text{ prema [3]} (\rho/d = 0,1 \text{ i } Rm = 500 \text{ N/mm}^2 - S355 JR)$$

pri čemu se dobiva:

$$\beta_{k_f} = 1 + 0,38 \cdot (1,5 - 1) = 1,19$$

β_{k_t} određen je izrazom prema [3]:

$$\beta_{k_t} = 1 + c_2 \cdot (\beta_{k_{t1,4}} - 1) \quad (27)$$

U izraz (27) uvrštavaju se brojčane vrijednosti:

$$c_2 = 0,72 , \text{ prema [3]} (D/d = 1,1667)$$

$$\beta_{k_{t1,4}} = 1,2 , \text{ prema [3]} (\rho/d = 0,1 \text{ i } Rm = 500 \text{ N/mm}^2 - S355 JR)$$

pri čemu se dobiva:

$$\beta_{k_t} = 1 + 0,72 \cdot (1,2 - 1) = 1,14$$

U izraz (22) uvrštavaju se brojčane vrijednosti:

$$M_1 = 11605 \text{ Nmm}$$

$$\alpha_0 = 0,73$$

$$T = 40,3 \text{ Nm} = 40300 \text{ Nmm}$$

$$\beta_{k_f} = 1,19$$

$$\beta_{k_t} = 1,14$$

pri čemu se dobiva:

$$M_{red1} = \sqrt{(11605 \cdot 1,19)^2 + 0,75 \cdot (0,73 \cdot 40300 \cdot 1,14)^2} = 32161 \text{ Nmm}$$

U izraz (25) uvrštavaju se brojčane vrijednosti:

$$d_1 = 30 \text{ mm}$$

pri čemu se dobiva:

$$W = \frac{\pi \cdot 30^3}{32} = 2650,72 \text{ mm}^3$$

U izraz (24) uvrštavaju se brojčane vrijednosti:

$$M_{red1} = 32161 \text{ Nmm}$$

$$W = 2650,72 \text{ mm}^3$$

pri čemu se dobiva:

$$\sigma_{red1} = \frac{32161}{2650,72} = 12,13 \text{ N/mm}^2$$

U izraz (23) uvrštavaju se brojčane vrijednosti:

$$b_1 = 0,9, \text{ prema [3]}$$

$$b_2 = 0,92, \text{ prema [3]}$$

$$\sigma_{f_{DN}} = 240 \text{ N/mm}^2$$

$$\varphi = 1$$

$$\sigma_{red1} = 12,13 \text{ N/mm}^2$$

$$S_{pot} = 5, \text{ prema [2]}$$

pri čemu se dobiva:

$$S_{post} = \frac{0,9 \cdot 0,92 \cdot 240}{1 \cdot 12,13} = 16,38 \geq 5$$

Presjek 2

U izraz (18) uvrštavaju se brojčane vrijednosti:

$$x_2 = 0,125 \text{ m}$$

$$F = G_{pog} = 211 \text{ N}$$

pri čemu se dobiva:

$$M_2 = 211 \cdot 0,125 = 26,375 \text{ Nm} = 26375 \text{ Nmm}$$

Na presjeku 2 zarezno djelovanje uzrokovano je promjenom veličine presjeka

U izraz (22) uvrštavaju brojčane vrijednosti:

$$M_2 = 26375 \text{ Nmm}$$

$$\alpha_0 = 0,73$$

$$T = 40,3 \text{ Nm}$$

$$\beta_{k_f} = 1,8$$

$$\beta_{k_t} = 1,9$$

pri čemu se dobiva:

$$M_{red2} = \sqrt{(26375 \cdot 1,8)^2 + 0,75 \cdot (0,73 \cdot 40300 \cdot 1,9)^2} = 67802 \text{ Nmm}$$

U izraz (25) uvrštavaju se brojčane vrijednosti:

$$d_2 = 35 \text{ mm}$$

pri čemu se dobiva:

$$W = \frac{\pi \cdot 35^3}{32} = 4209,24 \text{ mm}^3$$

U izraz (24) uvrštavaju se brojčane vrijednosti:

$$M_{red2} = 67802 \text{ Nmm}$$

$$W = 4209,24 \text{ mm}^3$$

pri čemu se dobiva:

$$\sigma_{red2} = \frac{67802}{4209,24} = 16,108 \text{ N/mm}^2$$

U izraz (23) uvrštavaju se brojčane vrijednosti:

$$b_1 = 0,87, \text{ prema [3]}$$

$$b_2 = 0,85, \text{ prema [3]}$$

$$\sigma_{f_{DN}} = 240 \text{ N/mm}^2$$

$$\varphi = 1$$

$$\sigma_{red2} = 16,108 \text{ N/mm}^2$$

$$S_{pot} = 5, \text{ prema [3]}$$

pri čemu se dobiva:

$$S_{post} = \frac{0,87 \cdot 0,85 \cdot 240}{1 \cdot 16,108} = 11,1 \geq 5$$

Presjek 3

U izraz (18) uvrštavaju se brojčane vrijednosti:

$$x_3 = 0,175 \text{ m}$$

$$G_{pog} = 211 \text{ N}$$

$$F_A = 1266 \text{ N}$$

pri čemu se dobiva:

$$M_3 = 211 \cdot 0,175 - 1266 \cdot 0,05 = 26,375 \text{ Nm} = 26375 \text{ Nmm}$$

Na presjeku 1 zarezno djelovanje uzrokovano je promjenom veličine presjeka:

β_{k_f} određen je izrazom (26) :

$$\beta_{k_f} = 1 + c_1 \cdot (\beta_{k_{f2}} - 1)$$

U izraz (26) uvrštavaju se brojčane vrijednosti:

$$c_1 = 0,9, \text{ prema [3]} (D/d = 1,67)$$

$$\beta_{k_{f2}} = 2, \text{ prema [3]} (\rho/d = 0,033 \text{ i } Rm = 500 \text{ N/mm}^2 - S355 JR)$$

pri čemu se dobiva:

$$\beta_{k_f} = 1 + 0,9 \cdot (2 - 1) = 1,9$$

β_{k_t} određen je izrazom (27) :

$$\beta_{k_t} = 1 + c_2 \cdot (\beta_{k_{t1,4}} - 1)$$

U izraz (27) uvrštavaju se brojčane vrijednosti:

$$c_2 = 1, \text{ prema [3]} (D/d = 1,67)$$

$$\beta_{k_{t1,4}} = 1,6, \text{ prema [3]} (\rho/d = 0,033 \text{ i } Rm = 500 \text{ N/mm}^2 - S355 JR)$$

pri čemu se dobiva:

$$\beta_{k_t} = 1 + 1 \cdot (1,6 - 1) = 1,6$$

U izraz (22) uvrštavaju se brojčane vrijednosti:

$$M_3 = 26375 \text{ Nmm}$$

$$\alpha_0 = 0,73$$

$$T = 40,3 \text{ Nm} = 40300 \text{ Nmm}$$

$$\beta_{k_f} = 1,9$$

$$\beta_{k_t} = 1,6$$

pri čemu se dobiva:

$$M_{red3} = \sqrt{(26375 \cdot 1,9)^2 + 0,75 \cdot (0,73 \cdot 40300 \cdot 1,6)^2} = 64599 \text{ Nmm}$$

U izraz (25) uvrštavaju se sljedeće brojevne vrijednosti:

$$d_3 = 30 \text{ mm}$$

pri čemu se dobiva:

$$W = \frac{\pi \cdot 30^3}{32} = 2650,72 \text{ mm}^3$$

U izraz (24) uvrštavaju se brojčane vrijednosti:

$$M_{red3} = 64599 \text{ Nmm}$$

$$W = 2650,72 \text{ mm}^3$$

pri čemu se dobiva:

$$\sigma_{red3} = \frac{64599}{2650,22} = 24,37 \text{ N/mm}^2$$

U izraz (23) uvrštavaju se brojčane vrijednosti:

$$b_1 = 0,87, \text{ prema [3]}$$

$$b_2 = 0,85, \text{ prema [3]}$$

$$\sigma_{f_{DN}} = 240 \text{ N/mm}^2$$

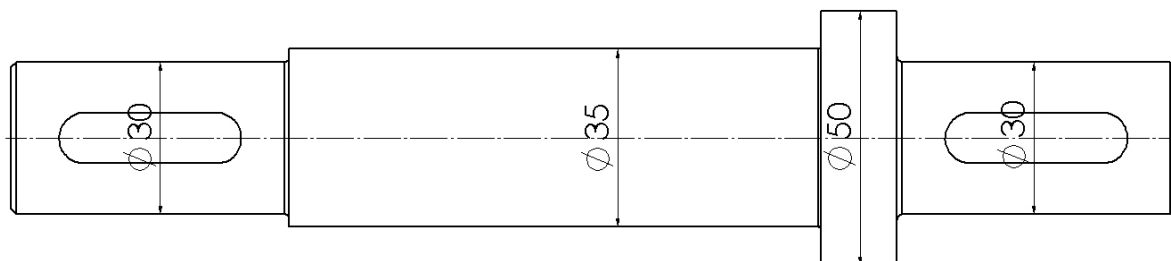
$$\varphi = 1$$

$$\sigma_{red3} = 24,37 \text{ N/mm}^2$$

$$S_{pot} = 5, \text{ prema [3]}$$

pri čemu se dobiva:

$$S_{post} = \frac{0,87 \cdot 0,85 \cdot 240}{1 \cdot 24,37} = 7,3 \geq 5$$



Slika 46. Konačni oblik vratila pogonskog mehanizma

- Odabir elektromotora za rotaciju pogonskog mehanizma

Odabir potrebnog elektromotora za rotaciju pogonskog mehanizma izvršiti će se prema izračunatom momentu vrtnje i prepostavljenim brojem okretaja. Obzirom na težinu i dimenzije samog pokretnog mehanizma te uvjete u kojima uređaj radi prepostavlja se mali broj okretaja.

Potrebna snaga elektromotora određuje se izrazom:

$$P_{EM} \geq P_{rot} \quad (28)$$

Gdje je:

P_{rot} – snaga potrebna za rotaciju pogonskog mehanizma

Snaga potrebna za rotaciju pogonskog mehanizma određuje se prema izrazu:

$$P_{rot} = M_{rot} \cdot \omega \quad (29)$$

Gdje je:

M_{rot} – moment ostvaren djelovanjem sile težine linearног pogona na kraku s

ω – kutna brzina definirana pretpostavljenim brojem okretaja

Moment ostvaren djelovanjem sile težine linearног pogona određuje se izrazom:

$$M_{rot} = G_{pog} \cdot s \quad (30)$$

Gdje je:

G_{pog} – težina pogonskog mehanizma

s – krak sile težine pogonskog mehanizma

U izraz (30) uvrštavaju se broјčane vrijednosti:

$$G_{pog} = 211 \text{ N}$$

$$s = 191 \text{ mm}$$

Pri čemu se dobiva:

$$M_{rot} = 211 \cdot 191 = 40301 \text{ Nmm} = 40,3 \text{ Nm}$$

Kutna brzina, ω određuje se izrazom:

$$\omega = 2 \cdot \pi \cdot n \quad (31)$$

Gdje je:

n – pretpostavljeni broj okretaja

Pretpostavljeni broj okretaja uzima se:

$$n = 5 \text{ min}^{-1} = 0,083 \text{ s}^{-1}$$

U izraz (31) uvrštavaju se broјčane vrijednosti:

$$n = 5 \text{ min}^{-1} = 0,083 \text{ s}^{-1}$$

Pri čemu se dobiva:

$$\omega = 2 \cdot \pi \cdot 0,083 = 5,22 \text{ rad/s}$$

U izraz (29) uvrštavaju se broјčane vrijednosti:

$$\omega = 5,22 \text{ rad/s}$$

$$M_{rot} = 40,3 \text{ Nm}$$

Pri čemu se dobiva:

$$P_{rot} = 40,3 \cdot 5,22 = 210,36 \text{ W}$$

Obzirom na dobivenu snagu potrebnu za rotaciju pogonskog mehanizma, P_{rot} i broj okretaja, n odabire se servo motor sa kočnicom BMH1002T [Slika 47] tvrtke SCHNEIDER čije su specifikacije prikazane u tablici 10 [prema 14].



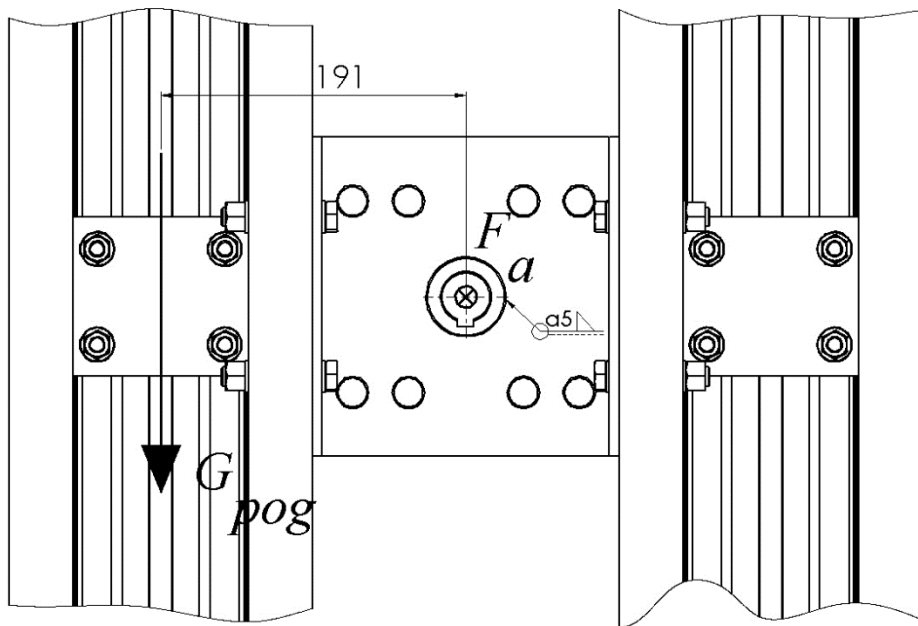
Slika 47. Servo motor BMH1002T

Tablica 10. Specifikacije elektromotora SCHNEIDER BMH1002T, prema [14]

Specifikacije	SCHNEIDER BMH1002T
Snaga (W)	750
Operativni moment (Nm)	10,3
Vršni moment (Nm)	42
Brzina vrtnje (min^{-1})	2000
Izvor struje	DC
Kočnica	Da

6.1.2.2. Proračun zavara glavine pogonskog mehanizma

Zavar na glavini pogonskog mehanizma opterećena je na savijanje, uvijanje i smik djelovanjem sile G_{pog} i na tlak pod djelovanjem sile F_a [Slika 48].



Slika 48. Opterećenje zavara na glavini pogonskog mehanizma

Opterećenje zavara na savijanje određuje se prema izrazu [2]:

$$\sigma_{s,z} = \frac{M_{s,z}}{W_{x,z}} \quad (32)$$

Gdje je:

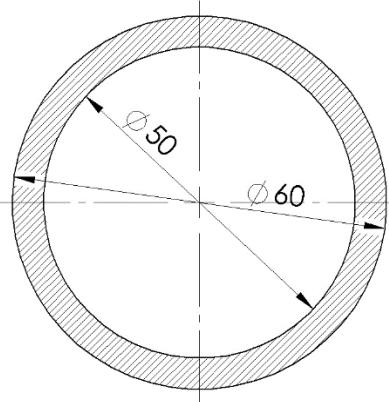
$M_{s,z}$ – moment savijanja koji opterećuje presjek zavara

$W_{x,z}$ – aksijalni moment otpora presjeka zavara

Moment savijanja jednak je momentu potrebnom za rotaciju pogonskog mehanizma odnosno:

$$M_{s,z} = M_{rot} = 40,3 \text{ Nm} = 40300 \text{ Nmm}$$

Aksijalni moment otpora presjeka zavara računa se prema izrazu [Slika 49]:



Slika 49. Presjek zavara na glavini pogonskog mehanizma

$$W_{x,z} = \frac{\pi}{32} \cdot \frac{D_z^4 - d_z^4}{D_z} \quad (33)$$

Gdje je:

D_z – vanjski promjer presjeka zavara

d_z – unutarnji promjer presjeka zavara

U izraz (33) uvrštavaju se brojčane vrijednosti:

$$D_z = 60 \text{ mm}$$

$$d_z = 50 \text{ mm}$$

Pri čemu se dobiva:

$$W_{x,z} = \frac{\pi}{32} \cdot \frac{60^4 - 50^4}{60} = 10979 \text{ mm}^3$$

U izraz (32) uvrštavaju se brojčane vrijednosti:

$$M_{s,z} = 40300 \text{ Nmm}$$

$$W_{x,z} = 10979 \text{ mm}^3$$

Pri čemu se dobiva:

$$\sigma_{s,z} = \frac{40300}{10979} = 3,67 \text{ N/mm}^2$$

Tlačno opterećenje zavara određuje se prema izrazu [2]:

$$\sigma_{t,z} = \frac{F_{a,z}}{A_z} \quad (34)$$

Gdje je:

$F_{a,z}$ – aksijalna sila tlačno opterećuju presjek zavara

A_z – površina presjeka zavara

Površina presjeka zavara određuje se prema izrazu [1]:

$$A_z = \frac{\pi}{4} \cdot (D_z^2 - d_z^2) \quad (35)$$

Gdje je:

D_z – vanjski promjer presjeka zavara

d_z – unutarnji promjer presjeka zavara

U izraz (35) uvrštavaju se brojčane vrijednosti:

$$D_z = 60 \text{ mm}$$

$$d_z = 50 \text{ mm}$$

Pri čemu se dobiva:

$$A_z = \frac{\pi}{4} \cdot (60^2 - 50^2) = 863,94 \text{ mm}^2$$

U izraz (34) uvrštavaju se brojčane vrijednosti:

$$F_{a,z} = F_a = F_{Bh} = 422 \text{ N}$$

$$A_z = 863,94 \text{ mm}^2$$

Pri čemu se dobiva:

$$\sigma_{t,z} = \frac{422}{863,94} = 0,488 \text{ N/mm}^2$$

Opterećenje zavara na uvijanje određuje se prema izrazu [2]:

$$\tau_{t,z} = \frac{T_z}{W_{t,z}} \quad (36)$$

Gdje je:

T_z – torzijski moment koji opterećuje presjek zavara

$W_{t,z}$ – torzijski moment otpora presjeka zavara

Torzijski moment otpora presjeka zavara određuje se prema izrazu [1]:

$$W_{t,z} = \frac{\pi}{16} \cdot \frac{D_z^4 - d_z^4}{D_z} \quad (37)$$

Gdje je:

D_z – vanjski promjer presjeka zavara

d_z – unutarnji promjer presjeka zavara

U izraz (37) uvrštavaju se brojčane vrijednosti:

$$D_z = 60 \text{ mm}$$

$$d_z = 50 \text{ mm}$$

Pri čemu se dobiva:

$$W_{t,z} = \frac{\pi}{16} \cdot \frac{60^4 - 50^4}{60} = 21958 \text{ mm}^3$$

U izraz (36) uvrštavaju se brojčane vrijednosti:

$$T_z = M_{rot} = 40300 \text{ Nmm}$$

$$A_z = 863,94 \text{ mm}^2$$

Pri čemu se dobiva:

$$\tau_{t,z} = \frac{40300}{21958} = 1,84 \text{ N/mm}^2$$

Smično opterećenje zavara određuje se prema izrazu [2]:

$$\tau_{s,z} = \frac{G_{pog}}{A_z} \quad (38)$$

Gdje je:

G_{pog} – težina pogonskog mehanizma

A_z – površina presjeka zavara

U izraz (38) uvrštavaju se brojčane vrijednosti:

$$G_{pog} = 211 \text{ N}$$

$$A_z = 863,94 \text{ mm}^2$$

Pri čemu se dobiva:

$$\tau_{s,z} = \frac{211}{863,94} = 0,244 \text{ N/mm}^2$$

Reducirano naprezanje određuje se prema izrazu [2]:

$$\sigma_{red,z} = \sqrt{\sigma_{uk,z}^2 + 3 \cdot \tau_{uk,z}^2} \leq \sigma_{dop,z} \quad (39)$$

Gdje je:

$\sigma_{uk,z}$ – ukupno normalno naprezanje presjeka zavara

$\tau_{uk,z}$ – ukupno smično naprezanje presjeka zavara

$\sigma_{dop,z}$ – dopušteno naprezanje presjeka zavara

Ukupno normalno naprezanje zavara određuje se prema izrazu [2]:

$$\sigma_{uk,z} = \sigma_{s,z} + \sigma_{t,z} \quad (40)$$

Gdje je:

$\sigma_{s,z}$ – savojno naprezanje presjeka zavara

$\sigma_{t,z}$ – tlačno naprezanje presjeka zavara

Ukupno smično naprezanje zavara određuje se prema izrazu [2]:

$$\tau_{uk,z} = \sqrt{\tau_{t,z}^2 + \tau_{s,z}^2} \quad (41)$$

Gdje je:

$\tau_{t,z}$ – torzijsko naprezanje presjeka zavara

$\tau_{s,z}$ – smično naprezanje presjeka zavara

U izraz (40) uvrštavaju se brojčane vrijednosti:

$$\sigma_{s,z} = 3,67 \text{ N/mm}^2$$

$$\sigma_{t,z} = 0,488 \text{ N/mm}^2$$

Pri čemu se dobiva:

$$\sigma_{uk,z} = 3,67 + 0,488 = 4,158 \text{ N/mm}^2$$

U izraz (41) uvrštavaju se brojčane vrijednosti:

$$\tau_{t,z} = 1,84 \text{ N/mm}^2$$

$$\tau_{s,z} = 0,244 \text{ N/mm}^2$$

Pri čemu se dobiva:

$$\tau_{uk,z} = \sqrt{1,84^2 + 0,244^2} = 1,86 \text{ N/mm}^2$$

U izraz (39) uvrštavaju se brojčane vrijednosti:

$$\sigma_{uk,z} = 4,158 \text{ N/mm}^2$$

$$\tau_{uk,z} = 1,86 \text{ N/mm}^2$$

$$\sigma_{dop,z} = 90 \text{ N/mm}^2, \text{ prema [1]}$$

Pri čemu se dobiva:

$$\sigma_{red,z} = \sqrt{4,158^2 + 3 \cdot 1,86^2} = 5,26 \text{ N/mm}^2 \leq \sigma_{dop,z} = 90 \text{ N/mm}^2$$

Zavar zadovoljava.

6.2. Ostvarivanje kontakta sa površinom stakla

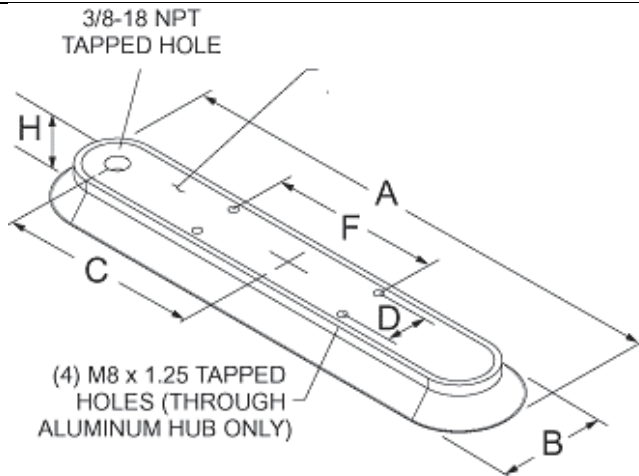
Ostvarivanje kontakta između uređaja i staklene površine vrši se preko vakuumskih hvataljki.

Na uređaju se nalaze dvije vrste vakuumskih hvataljki:

- Pokretne vakuumske hvataljke postavljene na linearni pogon
- Nepokretne (fiksne) vakuumske hvataljke postavljene na nosivu konstrukciju

6.2.1. Odabir vakuumskih hvataljki

Kako bi se odredio potreban podtlak vakuum pumpe potrebno je odabrati odgovarajuće vakuumske hvataljke odnosno vakuumske zdjelice. Za pokretne vakuumske hvataljke odabiru se vakuumske zdjelice ANVERFLEX OC32-150 tvrtke ANVER [Slika 50] čije su karakteristike prikazane u tablici 11.



Vakuumska zdjelica ANVERFLEX OC32-150

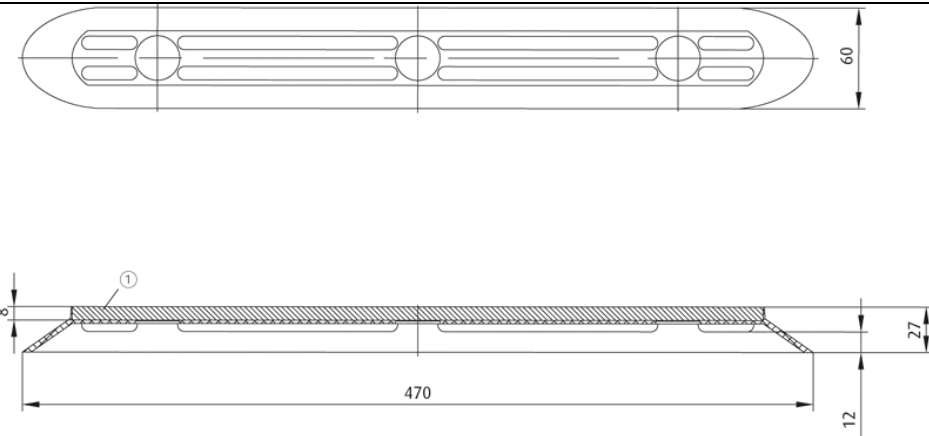
A (mm)	B(mm)	C (mm)	D (mm)	E (mm)	F (mm)	H (mm)
394	92	149	32	9,6	127	26

Slika 50. Vakuumska zdjelica ANVERFLEX OC32-150

Tablica 11. Specifikacije vakuumske zdjelice ANVERFLEX OC32-150, prema [15]

Specifikacije	ANVERFLEX OC32-150
Vrsta pneumatskog priključka	G 3/8
Položaj priključka	Gore
Položaj ugradnje	Proizvoljno
Pogonski tlak (bar)	-0,9 - 0
Pogonski medij	Atmosferski zrak (ISO 8573-1:2010)
Sila držanja u horizontalnom smjeru (N)	430
Sila držanja u vertikalnom smjeru (N)	860
Materijal navojnog čepa	Aluminijска legura
Materijal vakuumske zdjelice	PU

Za nepokretne vakuumske hvataljke postavljene u vertikalnom smjeru odabiru se vakuumske zdjelice ANVERFLEX OC32-150 tvrtke ANVER [Slika 50] čije su karakteristike prikazane u tablici 11, dok se za nepokretne vakuumske hvataljke postavljene u horizontalnom smjeru odabiru vakuumske zdjelice FIPA 470x60 [Slika 51] čije su karakteristike prikazane u tablici 12.



Slika 51. Vakuumska zdjelica FIPA 470x60

Tablica 12. Specifikacije vakuumske zdjelice FIPA 470x60, prema [16]

Specifikacije	FIPA 470x60
Vrsta pneumatskog priključka	G 3/8
Položaj priključka	Gore
Položaj ugradnje	Proizvoljno
Pogonski tlak (bar)	-0,85 - 0
Pogonski medij	Atmosferski zrak (ISO 8573-1:2010)
Sila držanja u horizontalnom smjeru (N)	350
Sila držanja u vertikalnom smjeru (N)	750
Materijal navojnog čepa	Aluminijска legura
Materijal vakuumske zdjelice	NBR

Obzirom na nosivost i veličinu vakuumskih zdjelica odabire se sljedeći broj vakuumskih zdjelica:

$$n_{VZ,p} = 2 \text{ na svakoj linearnej jedinici}$$

$$n_{VZ,np} = 14 \text{ (8 ANVERFLEX OC32 - 150 + 6 FIPA470x60)}$$

Gdje je:

$n_{VZ,p}$ – broj pokretnih vakuumskih zdjelica

$n_{VZ,np}$ – broj nepokretnih vakuumskih zdjelica

6.2.2. Određivanje potrebnog podtlaka vakuum pumpe

Podtlak potreban za generiranje vakuma određuje se iz uvjeta ravnoteže impulsa sile stvorenog vakuumom i normalne sile na podlogu odnosno:

$$I_v = F_N \quad (42)$$

Gdje je:

I_v – impuls sile stvoren vakuumom

F_N – normalna sila na podlogu

Impuls sile stvoren vakuumom određen je izrazom:

$$I_v = n_{VZ} \cdot p_v \cdot A_{VZ} \quad (43)$$

Gdje je:

I_v – impuls sile stvoren vakuumom

n_{VZ} – broj vakuumskih zdjelica

p_v – podtlak potreban za generiranje vakuma

A_{VZ} – površina vakumske zdjelice

Normalna sila na podlogu određuje se prema izrazu:

$$F_N = \frac{F_{tr}}{\mu} \quad (44)$$

Gdje je:

F_{tr} – sila trenja na podlozi

μ – faktor trenja podloge

Uvrštavanjem izraza (43) i (44) u izraz (42) dobiva se izraz za određivanje potrebnog podtlaka vakuum pumpe:

$$p_v = \frac{F_{tr}}{\mu \cdot n_{VZ} \cdot A_{VZ}} \quad (45)$$

Gdje je:

F_{tr} – sila trenja na podlozi

n_{VZ} – broj vakuumskih zdjelica

μ – faktor trenja

A_{VZ} – površina vakumske zdjelice

Najveći potrebni podtlak biti će onaj koji je potreban za ostvarivanje vakuma za pokretne vakumske hvataljke.

U izraz (45) uvrštavaju se brojčane vrijednosti:

$$F_{tr} = F_{tr1} = 1294 \text{ N}$$

$$\mu = 0,5$$

$$n_{VZ} = n_{VZ,p} = 2$$

$$A_{VZ} = 36248 \text{ mm}^2 = 0,036 \text{ m}^2$$

Pri čemu se dobiva:

$$p_v = \frac{1294}{0,5 \cdot 2 \cdot 0,036} = 35944 \text{ N/m}^2 = 0,35944 \text{ bar}$$

6.2.3. Odabir vakuum pumpe

Vakuum pumpa odabire se prema izrazu:

$$p_{vp} \geq p_v \quad (46)$$

p_{vp} – podtlak vakuum pumpe

p_v – podtlak potreban za generiranje vakuma

U izraz (46) uvrštavaju se brojčane vrijednosti:

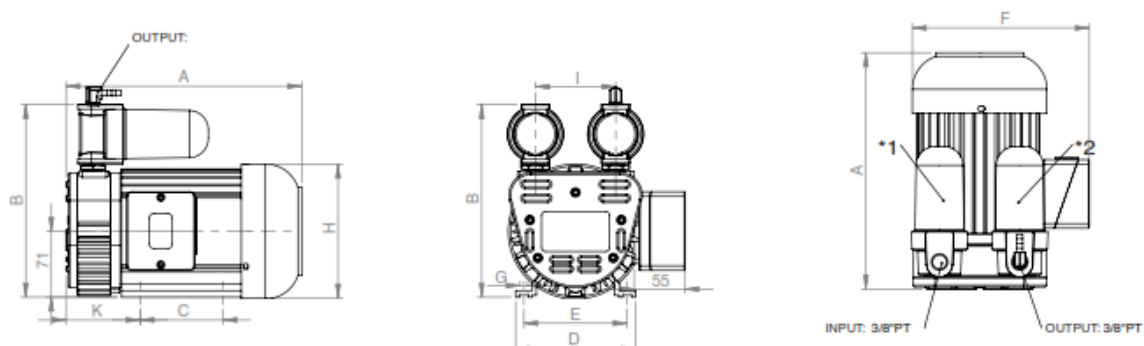
$$p_v = 0,35944 \text{ bar}$$

Pri čemu se dobiva:

$$p_{vp} \geq 0,35944 \text{ bar}$$

Prema potrebnom podtlaku odabire se rotacijska vakuum pumpa INECO RV22 [Slika 52] čije se karakteristike prikazane u tablici 13.

Series	A	B	C	D	E	F	G	H	J	K
RV 22	258	220	90	130	112	192	Ø8	Ø145	87	80
RV 26	260	220	90	130	112	192	Ø8	Ø145	87	82



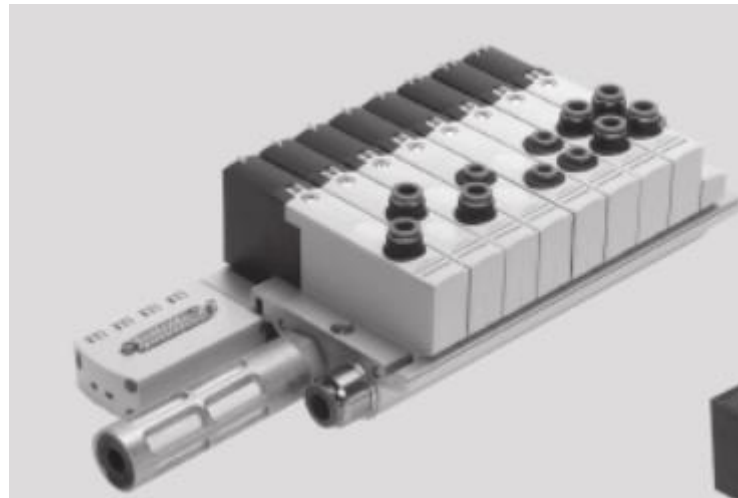
Slika 52. Rotacijska vakuum pumpa INECO RV22

Tablica 13. Specifikacije vakuum pumpe INECO RV22, prema [17]

Specifikacije	INECO RV22
Volumni protok (l/min)	120
Vakuum (bar)	0,88
Razina zaštite	IP54
Snaga (W)	310
Razina buke (dB)	59
Masa (kg)	13
Pneumatski priključak	G 3/8

6.2.4. Odabir perifernih uređaja

Kako bi bilo moguće koristiti sapnice ili vakuum zdjelice potrebno je pravilno raspodijeliti radni medij. Raspodjela se obavlja putem elektropneumatskih ventila. Prema [18] odabire se potreban ventilski blok FESTO VTUB-SET-S1D-G12-D-P4T-B-6K-NN prikazan na slici 53 dok su njegove karakteristike navedene u tablici 14.



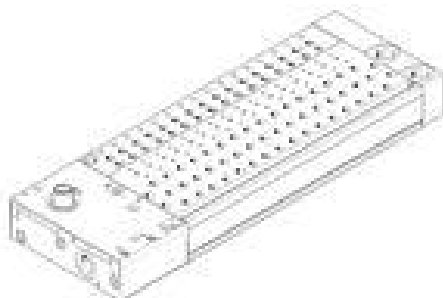
Slika 53. FESTO VTUB, prema [FESTO]

Tablica 14. Specifikacije FESTO VTUB, prema [18]

Specifikacije	FESTO VTUB
Funkcija ventila	3/2 monostabilan
Nazivni protok (l/min)	200 -1000
Nazivni tlak (bar)	-0,9 – 8
Električna zaštita	IP 65
Način aktiviranja	Električno
Princip brtvljenja	Mekano
Indikacija položaja	LED
Prikladnost za vakuum	Da

Ventil se pričvršćuje putem standardnih pričvršćenja MPL-04 prema [FESTO].

Zbog većeg broja vakuum zdjelica potrebno je ugraditi priključnu letvu čime se olakšava priključivanje vakuum zdjelica na ventil. Prema [18] odabire se priključna letva FESTO VABM-B6-E-G12-8-M1 prikazana na slici 54, tehničkih karakteristika navedenih u tablici 15.

**Slika 54.** FESTO VABM**Tablica 15.** Specifikacije FESTO VABM, prema [18]

Specifikacije	FESTO VABM
Broj ventilskih mesta	8
Masa (kg)	0,77
Pneumatski priključak	G 1/2

6.2.4.1. Odabir kompenzatora visine vakuumskih hvataljki

Kako bi se omogućilo prelaženje preko aluminijskih profila staklenih pročelja te drugih neravnina na staklu do maksimalno 45 mm visine odabiru se kompenzatori visine SALSA-330 tvrtke ANVER [Slika 55] čije karakteristike prikazuje tablica 16.



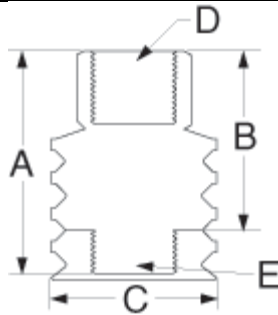
Slika 55. Kompenzator visine SALSA-330

Tablica 16. Specifikacije SALSA-330, prema [15]

Specifikacije	ANVER SALSA-330
Pneumatski priključak	G 3/8
Hod (mm)	49
Visina (mm)	102
Priključak za montiranje	3/4"
Maksimalna debljina stjenke za montiranje (mm)	18

6.2.4.2. Odabir rotirajućih zglobnih mehanizama vakuumskih hvataljki

Kako bi se omogućio prihvat vakuumskih zdjelica i za blago zakrivljene staklene površine na kompenzatore visine može se ugraditi zglobni mehanizam SW38F-38M-G [Slika 56] tvrtke ANVER čije su specifikacije prikazane u tablici 17.

**Slika 56.** ANVER SW38F-38M-G**Tablica 17.** Specifikacije ANVER SW38F-38M-G, prema [15]

Specifikacije	ANVER SW38F-38M-G
A (mm)	57,7
B (mm)	50,5
C (mm)	39,9
Pneumatski priključak-ženski, D	G 3/8
Pneumatski priključak-muški, E	G 3/8

6.2.4.3. Odabir spojnih cijevi za stvaranje vakuma

Za spajanje elemenata za generiranje vakuma odabiru se savitljive cijevi FESTO PAN-MF-10x1,25-SW [Slika 57] čije su karakteristike prikazane u tablici 18.

**Slika 57.** FESTO PAN-MF-10x1,25-SW

Tablica 18. Specifikacije FESTO PAN-MF-10x1,25-SW, prema [18]

Specifikacije	FESTO PAN-MF-10x1,25-SW
Vanjski promjer (mm)	10
Radijus savijanja (mm)	65
Unutarnji promjer (mm)	7,5
Min. radijus savijanja (mm)	45
Pogonski tlak (bar)	-0,95 - 19
Pogonski medij	Komprimirani zrak prema ISO 8573-1:2010
Temperatura okoline(°C)	-60 – 100
Boja	Crna
Težina proizvoda prema duljini (kg/m)	0,035
Materijal	Poliamid 12

6.3. Čišćenje staklenih pročelja

Čišćenje staklenih pročelja vrši se pomoću pare koja se stvara u generatoru pare iz pročišćene vode dobivene pročišćavanjem kroz sustav reverzne osmoze.

6.3.1. Odabir generatora pare

Generator pare odabire se prema potrebnom tlaku čišćenja i količini vodene pare dovoljnoj za čišćenje staklenih pročelja. Potrebna snaga generatora određuje izračunavanjem toplinskog toka potrebnog za pregrijavanje pare.

Toplinski tok potreban za pregrijavanje pare određuje se prema izrazu:

$$\phi_{gen} \geq q_{mp} \cdot (h_{pp} - h_{pv}) \quad (47)$$

Gdje je:

q_{mp} – maseni protok pare

h_{pp} – entalpija pregrijane pare

h_{pv} – entalpija vode

U izraz (47) uvrštavaju se brojčane vrijednosti:

$$q_{mp} = 3 \text{ kg/h} = 0,000833 \text{ kg/s}$$

$$h_{pp} = 2769,09 \text{ kJ/kg , prema [Toplinske tablice za } p_{pp} = 2 \text{ bar } T_p = 150 \text{ °C]}$$

$$h_v = 84,11 \text{ kJ/kg, prema [Toplinske tablice za } p_{pv} = 2 \text{ bar } T_v = 20 \text{ °C}]$$

Pri čemu se dobiva:

$$\phi_{gen} \geq 0,000833 \cdot (2769,09 - 84,11) = 2,24 \text{ kW}$$

Prema određenom toplinskom toku, tlaku čišćenje te masenom protoku pare odabire se generator pare CELLKRAFT E-3000 [Slika 58] tvrtke CELLKRAFT čije specifikacije prikazuje tablica 19.



Slika 58. CELLKRAFT E-3000

Tablica 19. Specifikacije CELLKRAFT E-3000, prema [19]

Specifikacije	CELLKRAFT R-3000
Maseni protok pare (g/min)	0 - 100
Temperatura pare (°C)	100 - 200
Tlak pare (bar)	1 – 6
Ulagani medij	Destilirana, deionizirana voda
Tlak vode na ulazu (bar)	1 - 4
Snaga (W)	3000
Temperatura okoline (°C)	-40...60
Dimenzije W x H x D (mm)	281 x 471 x 391
Masa (kg)	20
Priklučak za vodu / ulaz	G 1/4
Priklučak za paru / izlaz	G 1/2

6.3.2. Odabir spremnika vode

Spremnik vode odabire se prema potrebnom masenom protoku vode te pretpostavljenom ciklusu čišćenja od min 1h.

Maseni protok vode iznosi:

$$q_{mv} = 3 \text{ kg/h} = 0,000833 \text{ kg/s}$$

Prema masenom protoku i pretpostavljenom ciklusu čišćenja odabire se spremnik T12NA-2BC tvrtke TANKS-DIRECT [Slika 59] čije su specifikacije prikazane u tablici 20.



Slika 59. Spremnik vode T12NA-2BC

Tablica 20. Specifikacije T12NA-2BC, prema [20]

Specifikacije	T12NA-2BC
Volumen (L)	12
V x Š x D (mm)	200 x 150 x 420
Izlazni priključak	G 1/4
Ulagani priključak sa čepom	G 2 1/4
Masa (kg)	1,3

6.3.3. Odabir sustava za pročišćavanje vode

Za pročišćavanje vode odabire se sustav reverzne osmoze AAA-245P [Slika 60] sa 5 razina pročišćavanja vode tvrtke AMI čije specifikacije prikazuju tablica 21.



Slika 60. Sustav pročišćavanja vode AAA-245P

Tablica 21. Specifikacije AMI AAA-245P, prema [21]

Specifikacije	AMI AAA-245P
V x Š x D (mm)	30 x 270 x 200
Izlazni priključak	G 1/4
Ulagani priključak sa čepom	G 1/4
Razine filtriranja	5
Volumni protok (l/h)	4

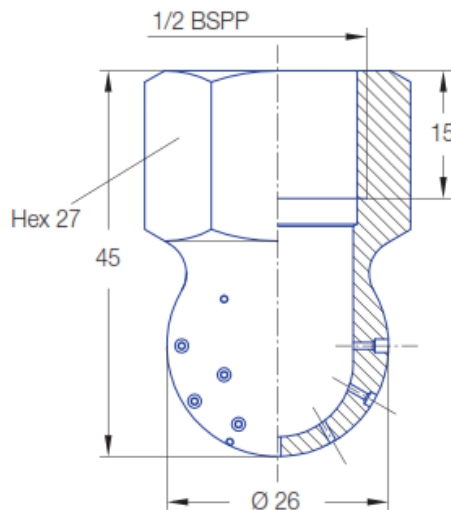
6.3.4. Odabir mlaznica vodene pare

Mlaznice vodene pare odabiru se prema potrebnom tlaku čišćenja i masenom protoku pare gdje je:

$$q_{mp} = 3 \text{ kg/h} = 0,000833 \text{ kg/s}$$

$$p_{čiš} = 2 \text{ bar}$$

Odabiru se mlaznice LECHLER 540.909.16.CA [Slika 61] tvrtke LECHLER čije su specifikacije prikazane u tablici 22.



Slika 61. Mlaznica vodene pare LECHLER 540.909.16.CA

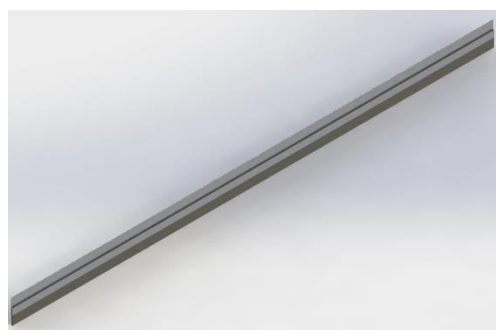
Tablica 22. Specifikacije LECHLER 540.909.16.CA, prema [22]

Specifikacije	LECHLER 540.909.16.CA
Operativni tlak (bar)	2
Maseni protok pare (kg/h)	0..18,10
Promjer izlaznih mlaznica (mm)	0,8
Kut špricanja (°)	240
Maksimalna temperatura (°C)	200
Materijal	AISI 303

Obzirom na kut čišćenja odabire se 10 mlaznica koje mogu pokriti cijelu površinu čišćenja.

6.3.5. Odabir gumenih brisača

Za skupljanje kondenzirane vodene pare odabiru se 4 gumeni brisača sa pripadajućim držaćima tvrtke UNGER [Slika 62].



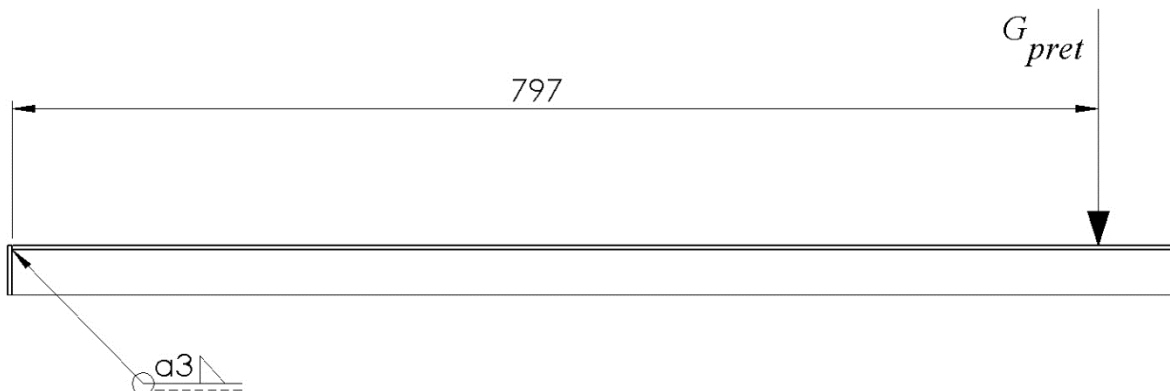
Slika 62. Gumeni brisač

6.4. Nosiva konstrukcija

Nosiva konstrukcija izrađuje se u zavarenoj izvedbi od aluminijskih limova Al 6061 debljine 3 mm.

6.4.1. Proračun kritičnog zavara

Najopterećeniji zavar nalazi se na spoju između bočnih ploča nosive konstrukcije kada teoretski zavar opterećuje ukupna težina uređaja [Slika 63].



Slika 63. Opterećenje zavara na nosivoj konstrukciji

Zavar je opterećen na savijanje i smik pod djelovanjem sile težine uređaja.

Opterećenje na savijanje određuje se prema izrazu (32):

$$\sigma_{s,z} = \frac{M_{s,z}}{W_{x,z}}$$

Gdje je:

$M_{s,z}$ – moment savijanja koji opterećuje presjek zavara

$W_{x,z}$ – aksijalni moment otpora presjeka zavara

Moment savijanja određuje se prema izrazu:

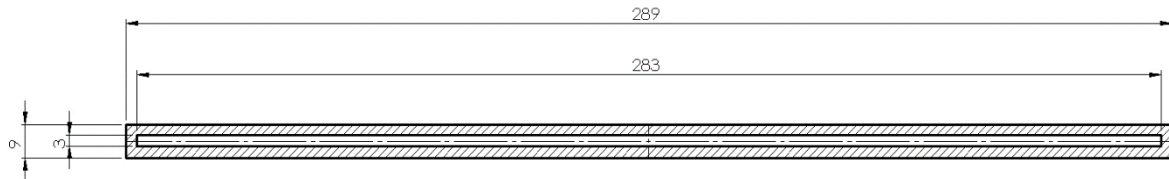
$$M_{s,z} = G_{pret} \cdot \frac{l_{bp}}{2} \quad (48)$$

Gdje je:

G_{pret} – pretpostavljena težina uređaja

l_{bp} – duljina bočne ploče

Aksijalni moment otpora presjeka zavara računa se prema izrazu [Slika 64]:



Slika 64. Presjek zavara nosive konstrukcije

$$W_{x,z} = \frac{(9 \cdot 289^2 - 3 \cdot 283^2)}{6} \quad (49)$$

Pri čemu se dobiva:

$$W_{x,z} = \frac{(9 \cdot 289^2 - 3 \cdot 283^2)}{6} = 85237 \text{ mm}^3$$

U izraz (48) uvrštavaju se brojčane vrijednosti:

$$G_{pret} = 1962 \text{ N}$$

$$l_{bp} = 1594 \text{ mm}$$

Pri čemu se dobiva:

$$M_{s,z} = 1962 \cdot \frac{1594}{2} = 1563714 \text{ Nmm}$$

U izraz (32) uvrštavaju se brojčane vrijednosti:

$$M_{s,z} = 1563714 \text{ Nmm}$$

$$W_{x,z} = 85237 \text{ mm}$$

Pri čemu se dobiva:

$$\sigma_{s,z} = \frac{1563714}{85237} = 18,35 \text{ N/mm}^2$$

Smično opterećenje zavara određuje se prema izrazu [2]:

$$\tau_{s,z} = \frac{G_{pret}}{A_z} \quad (50)$$

Gdje je:

G_{pret} – pretpostavljena težina uređaja

A_z – površina presjeka zavara

U izraz (50) uvrštavaju se brojčane vrijednosti:

$$G_{pret} = 1962 \text{ N}$$

$$A_z = 1752 \text{ mm}^2$$

Pri čemu se dobiva:

$$\tau_{s,z} = \frac{1962}{1752} = 1,12 \text{ N/mm}^2$$

Reducirano naprezanje određuje se prema izrazu [2]:

$$\sigma_{red,z} = \sqrt{\sigma_{s,z}^2 + 3 \cdot \tau_{s,z}^2} \leq \sigma_{dop,z} \quad (51)$$

Gdje je:

$\sigma_{s,z}$ – normalno naprezanje presjeka zavara

$\tau_{s,z}$ – smično naprezanje presjeka zavara

$\sigma_{dop,z}$ – dopušteno naprezanje presjeka zavara

U izraz (51) uvrštavaju se brojčane vrijednosti:

$$\sigma_{s,z} = 18,35 \text{ N/mm}^2$$

$$\tau_{s,z} = 1,12 \text{ N/mm}^2$$

$$\sigma_{dop,z} = 90 \text{ N/mm}^2, \text{ prema [1]}$$

Pri čemu se dobiva:

$$\sigma_{red,z} = \sqrt{18,35^2 + 3 \cdot 1,12^2} = 18,45 \text{ N/mm}^2 \leq \sigma_{dop,z} = 90 \text{ N/mm}^2$$

Zavar zadovoljava.

6.4.2. Proračun maksimalnog progiba

Maksimalni progib javiti će se djelovanjem ukupne težine uređaja na bočnu ploču nosive konstrukcije.

Maksimalni progib bočne ploče određuje se prema izrazu [1]:

$$f = \frac{G_{pret}}{E \cdot I_{bp}} \cdot \frac{l_{bp}^3}{192} \quad (52)$$

Gdje je:

G_{pret} – pretpostavljena težina uređaja

E – modul elastičnosti

I_{bp} – moment tromosti presjeka

l_{bp} – duljina bočne ploče

Moment tromosti presjeka određuje se prema izrazu:

$$I_{bp} = \frac{t_{bp} \cdot w_{bp}^3}{12} \quad (53)$$

Gdje je:

t_{bp} – širina presjeka bočne ploče

w_{bp} – duljina presjeka bočne ploče

U izraz (53) uvrštavaju se brojčane vrijednosti:

$$t_{bp} = 3 \text{ mm}$$

$$w_{bp} = 283 \text{ mm}$$

Pri čemu se dobiva:

$$I_{bp} = \frac{3 \cdot 283^3}{12} = 5666296,75 \text{ mm}^4$$

U izraz (52) uvrštavaju se brojčane vrijednosti:

$$G_{pret} = 1962 \text{ N}$$

$$E = 69000 \text{ MPa} = 69000 \text{ N/mm}^2$$

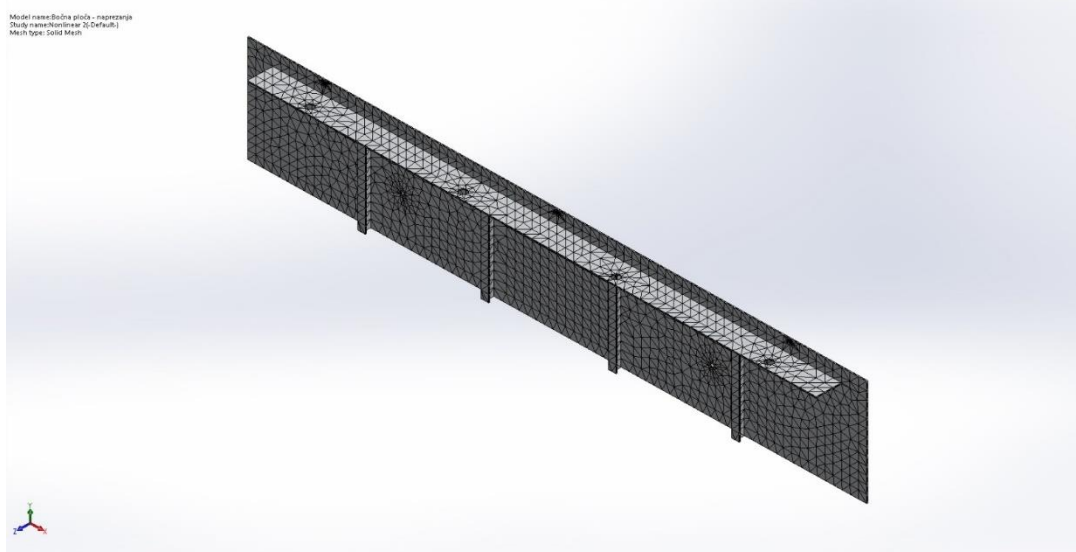
$$I_{bp} = 5666296,75 \text{ mm}^4$$

$$l_{bp} = 1594 \text{ mm}$$

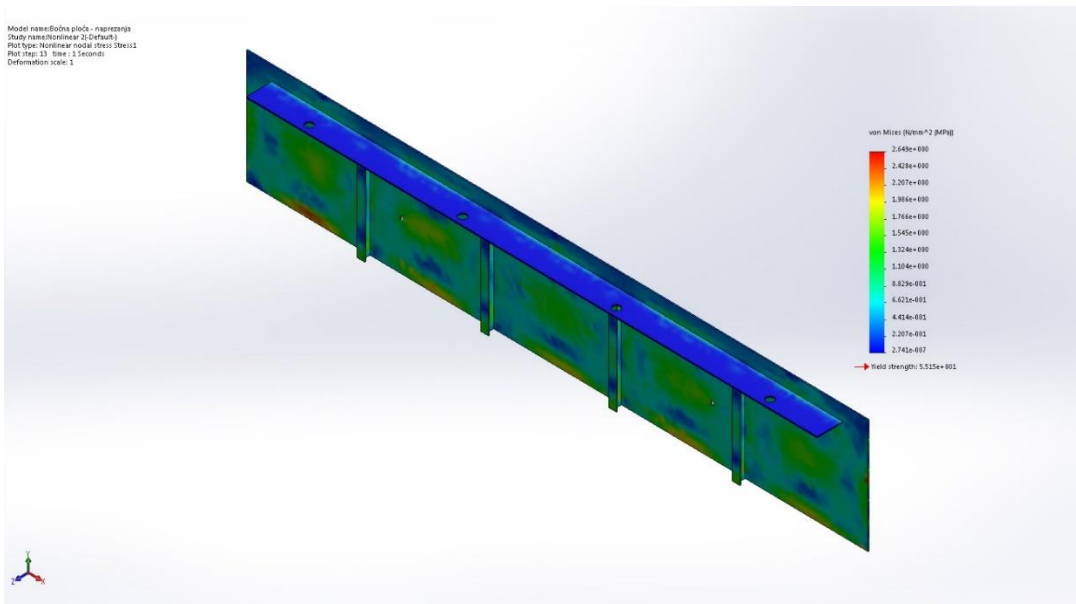
Pri čemu se dobiva:

$$f = \frac{1962}{69000 \cdot 5666296,75} \cdot \frac{1594^3}{192} = 0,105 \text{ mm}$$

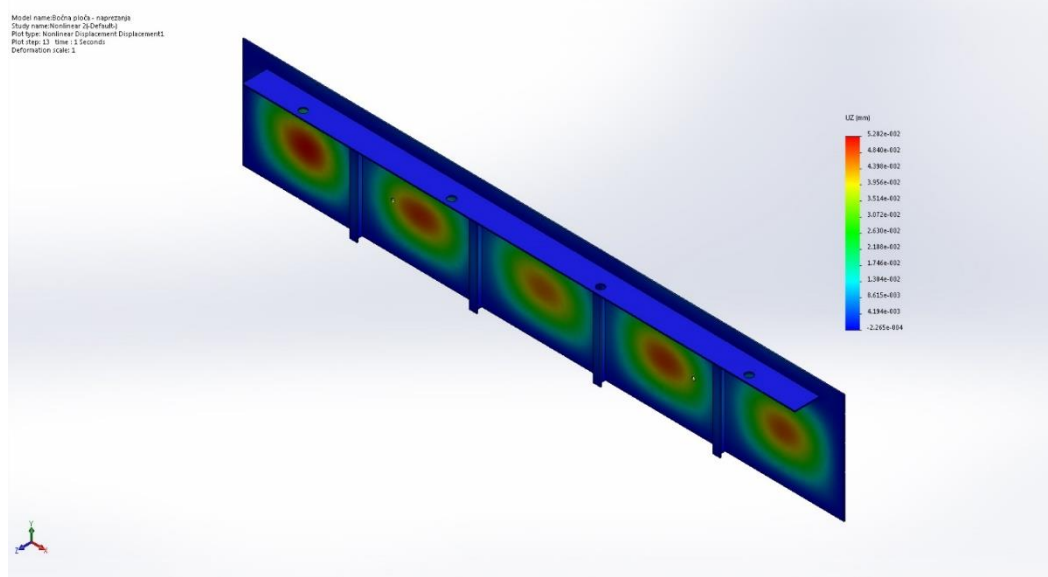
Obzirom na veličinu progiba na bočnu ploču zavaruju se 4 ukrute od aluminijskih T profila, 20x20x2 mm, nakon čega je progib određen računalnom metodom u programskom paketu SolidWorks 2015. Na slici 65. prikazana je mreža konačnih elemenata na bočnoj ploči, a na slikama 66. i 67. prikazani su dobivena maksimalna naprezanja i progibi bočne ploče.



Slika 65. Prikaz mreže konačnih elemenata na bočnoj ploči



Slika 66. Prikaz ukupnih naprezanja na bočnoj ploči – računalna metoda



Slika 67. Prikaz progiba na bočnoj ploči – računalna metoda

Najveći progib dobiven računalnom metodom iznosi:

$$f_{max} = 0,005 \text{ mm}$$

6.5. Odabir napajanja uređaja

Obzirom da je uređaj potpuno autonoman kao izvor električne energije odabiru se baterije. Odabir potrebnih baterija vrši se prema ukupno potrebnoj snazi za pokretanje svih pogonskih uređaja te procijenjenom vremenskom ciklusu čišćenja od 1h.

Ukupna snaga potrebna za pogon uređaja određena je izrazom:

$$P_{uk} = P_{GP} + 2 \cdot P_{EM,L} + P_{EM,R} + P_{VP} + P_O \quad (54)$$

Gdje je:

P_{GP} – snaga potrebna za pogon generatora pare

$P_{EM,L}$ – snaga potrebna za pogon elektromotora linearog pogona

$P_{EM,R}$ – snaga potrebna za pogon elektromotora za rotaciju pogonskog mehanizma

P_{VP} – snaga potrebna za pogon vakuum pumpe

P_O – snaga potrebna za pogon ostalih uređaja (regulacijski, pretvorni, upravljački uređaji, senzori)

U izraz (54) uvrštavaju se brojčane vrijednosti:

$$P_{GP} = 2200 \text{ W}$$

$$P_{EM,L} = 480 \text{ W}$$

$$P_{EM,R} = 750 \text{ W}$$

$$P_{VP} = 300 \text{ W}$$

$$P_O = 500 \text{ W}$$

Pri čemu se dobiva:

$$P_{uk} = 2200 + 2 \cdot 480 + 750 + 310 + 500 = 4720 \text{ W} \quad (46)$$

Prema dobivenoj ukupnoj snazi odabiru se 2 baterije WB-LYP700AHA tvrtke GWL/Power [Slika 68] čije su karakteristike prikazane u tablici 23.



Slika 68. Baterija WB-LYP700AHA

Tablica 23. Specifikacije WB-LYP700AHA, prema [23]

Specifikacije	WB-LYP700AHA
Tehnologija	LiFeYPO4
Dimenzije, VxŠxD (mm)	306x627x67
Nominalni napon (V)	12
Kapacitet (Ah)	700
Max. struja pražnjenja (A)	7000
Optimalna struja pražnjenja (A)	350
Max. struja punjenja (A)	2100
Optimalna struja punjenja (A)	350
Masa (kg)	21

6.6. Upravljanje, regulacija i sigurnost u radu

Upravljanje je predviđeno putem daljinskog upravljača koji prima potrebne signale od senzora i ostalih regulacijskih uređaja. U ovom diplomskom radu neće se razrađivati potrebnii elektronični sklopovi i uređaji za upravljanje pojedinim pogonskim uređajem i za njih je samo predviđeno mjesto za spajanje na nosivoj konstrukciji uređaja.

Vođenje uređaja po staklenom pročelju osigurano je pomoću ultrazvučnih senzora UM30 [Slika 69] postavljenih na bočne plohe nosive konstrukcije. Specifikacije senzora prikazane su u tablici 24.



Slika 69. Senzor UM30

Tablica 24. Specifikacije senzora UM30, prema [24]

Specifikacije	UM30
Operativni domet (mm)	30...8000
Preciznost (%)	±1
Vrijeme odziva (ms)	50
Ultrazvučna frekvencija (kHz)	320
Masa (g)	150

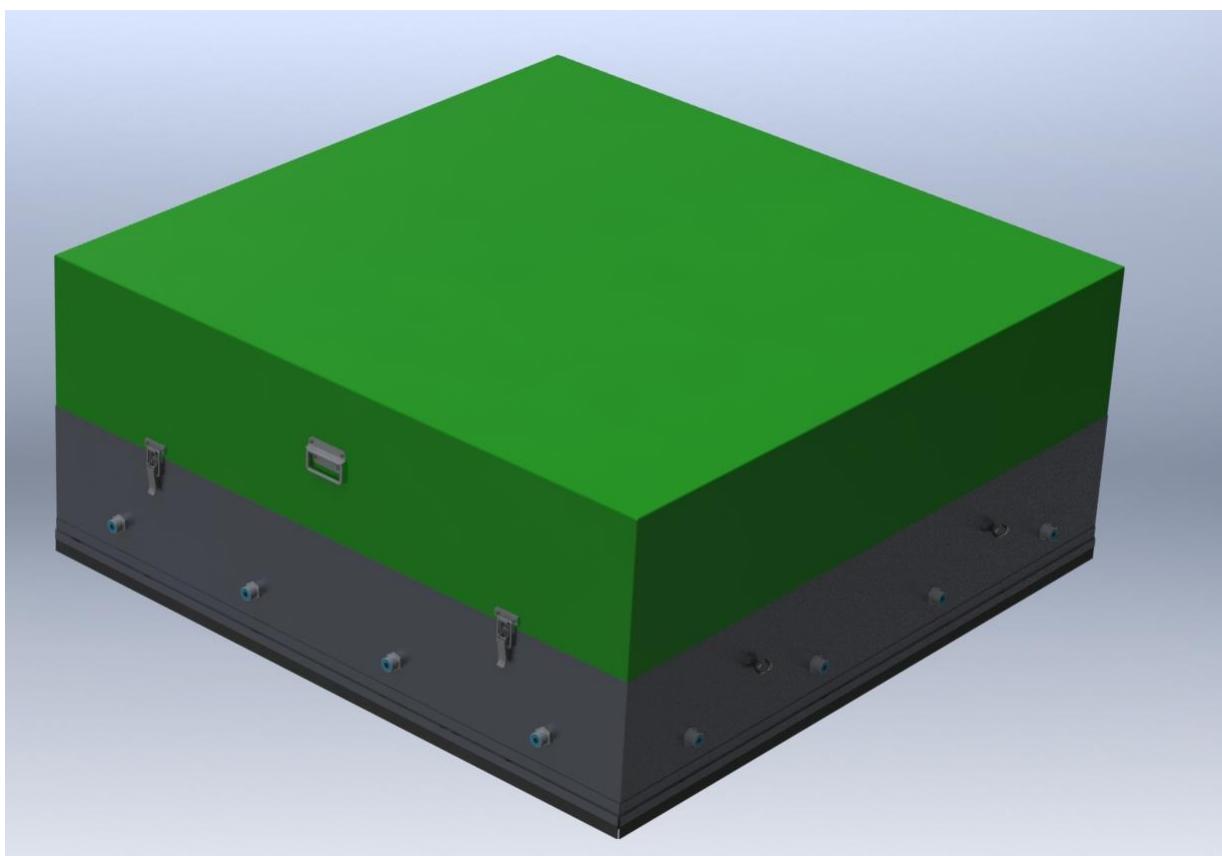
Sigurnost u radu samog uređaja za čišćenje staklenih pročelja osigurava se pomoću većeg broja vakuumskih hvataljki postavljenih na nosivoj konstrukciji. Na nosivoj konstrukciji postavljeno je 14 vakuumskih zdjelica koje su odabrane tako da dvije mogu držati cijeli uređaj [Poglavlje 6.2.1]. Generiranje vakuma regulira se pomoću elektromagnetskih ventila od kojih svaki

upravlja sa 2 ili 3 vakuumske zdjelice na nosivoj konstrukciji. Time je uvelike smanjena vjerojatnost da će u istom trenutku (pukotine na staklu) sve hvataljke izgubiti vakuum.

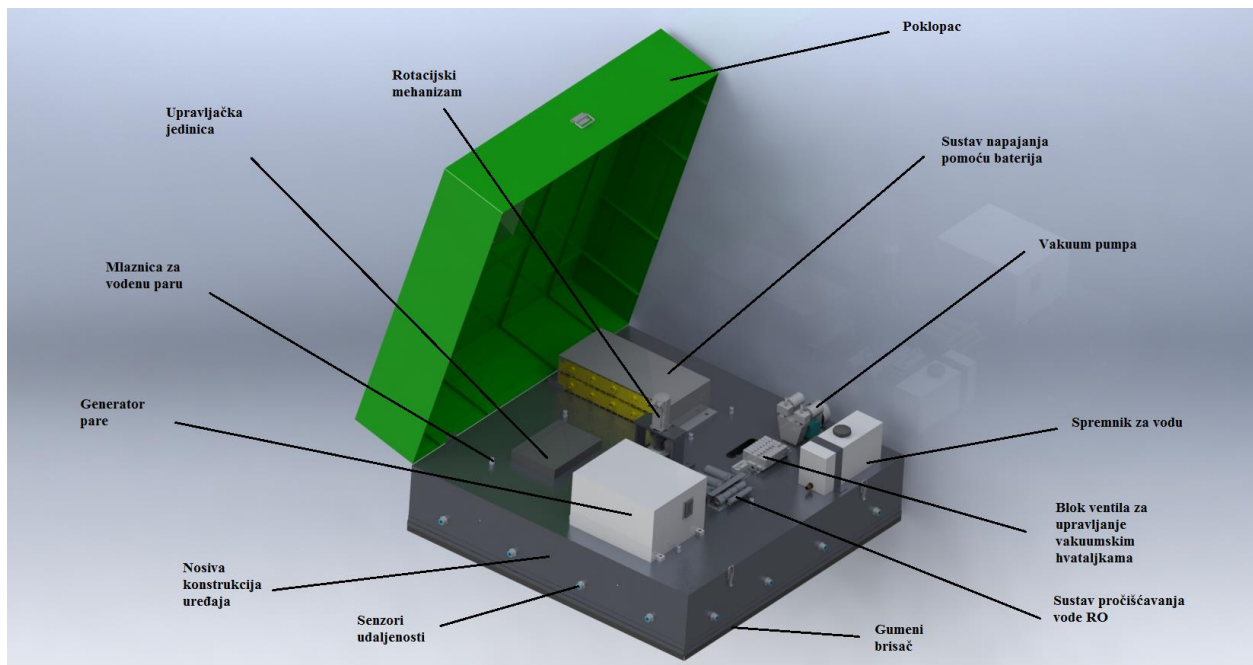
Obzirom da je uređaj u potpunosti autonoman i može raditi na velikim visinama kao krajnja sigurnost od pada predlaže se postavljanje padobrana i zračnog jastuka koji bi se u trenutku odvajanja uređaja od stakla odmah aktivirao i tako relativno sigurno spustio na tlo.

6.7. Izrada 3D modela odabranog koncepta

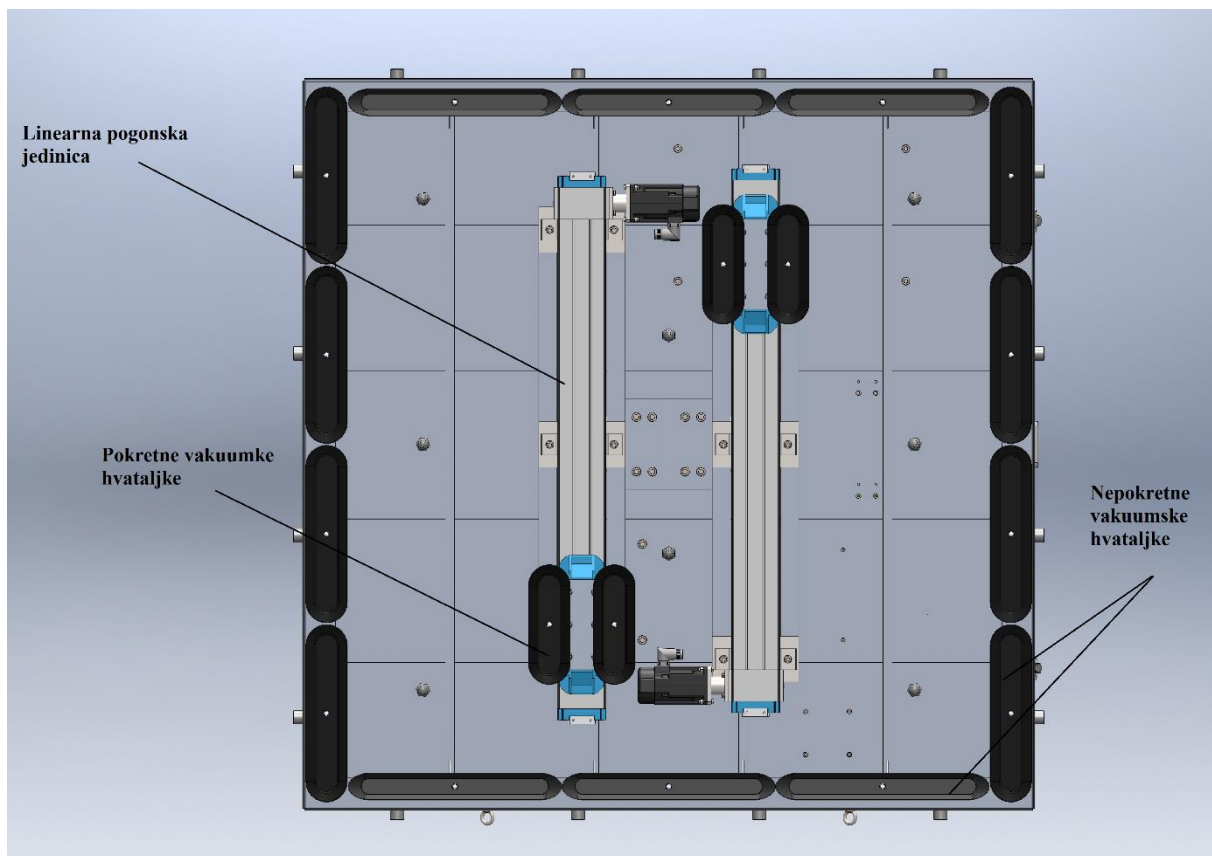
Za izradu 3D modela odabranog koncepta korišten je programski paket SolidWorks 2015. Na 3D modelu prikazan je uređaj sa svim pogonskim uređajima i sa potrebnim spojnim elementima osim tlačnih crijeva koji međusobno povezuju uređaje [Slika 70 i Slika 71]. Upravljačka jedinica prikazana je samo kao crna kutija koja predstavlja mjesto spajanja upravljačke jedinice.



Slika 70. 3D model uređaja za čišćenje staklenih pročelja



Slika 71. Prikaz 3D modela sa otvorenim poklopcem



Slika 72. Prikaz uređaja s donje strane (prikaz pogonskog mehanizma)

7. ZAKLJUČAK

Staklena pročelja zbog svojih povoljnih svojstava i atraktivnog izgleda predstavljaju trend u izgradnji novih građevina bilo poslovnih ili stambenih. Uporaba novih visokotehnoloških stakala u takvim staklenim pročeljima zahtjeva odgovarajući način čišćenja i održavanja same staklene površine. Čišćenje staklenih površina danas se još uvijek najviše izvodi ručno dok je na tržištu vrlo malo automatiziranih uređaja koji bi mogli zamijeniti čovjeka [Poglavlje 4]. Upravo ta činjenica predstavlja velik potencijal za razvoj uređaja koji bi samostalno mogao čistiti staklena pročelja zgrada. U ovom radu pokušalo se dati rješenje jednog takvog automatiziranog uređaja za čišćenje staklenih pročelja. Nakon definiranih potreba korisnika generirana su tri koncepta nakon čega je koncept 3 uzet kao najpovoljniji za detaljniju razradu [poglavlje 5]. Detaljna razrada i projektiranje rezultirali su uređajem koje prikazuju slike 70 i 71. Tijekom razrade pokušalo se koristiti što više standardnih dijelova kako bi troškovi izrade bili što niži. Kontinuirano gibanje uređaja po pročelju omogućeno je pomoću pokretnih vakuumskih hvataljki koje se nalaze na linearnoj jedinici [Slika 41] i rotacijskog mehanizma. Stalni kontakt sa staklenom površinom osiguravaju vakuumske hvataljke postavljene po obodu nosive konstrukcije kojima se upravlja pomoću elektropneumatskih ventila [Poglavlje 6.2.4]. Na sve vakuumske hvataljke postavljeni su kompenzatori visine [Slika 55] čime se omogućuje prijelaz uređaja preko manjih neravnina (do 50 mm) i profila na pročeljima (ako je pročelje tako izvedeno).

Upravljanje uređajem vrši se pomoću daljinskog upravljača koji od senzora dobiva signale od pojedinih pogonskih uređaja. Razrada potrebnog elektroničkog sklopa za upravljanje uređajem kao i potreban softver za čišćenje i upravljanje pojedinim uređajima nisu razrađeni u ovom radu već je za njih prepostavljeno mjesto za postavljanje na nosivoj konstrukciji uređaja. Napajanje svih pogonskih uređaja vrši se pomoću baterija koje bi trebale omogućiti minimalno 1h čišćenja u kontinuitetu.

Najveća prednost ovog uređaja je potpuna autonomnost u radu odnosno svi uređaji potrebni za čišćenje, pogon i vođenje nalaze se na samom uređaju i nije potrebna nikakva uporaba vanjskih uređaja (dizalica). Prednost korištenja ovakvog uređaja predstavlja i čišćenje parom čime se smanjuje potrošnja vode. Značajnu prednost predstavlja i korištenje sustava reverzne osmoze za pročišćavanje vode čime se omogućuje čišćenje bez agresivnih medija (kemikalije).

Ovakav uređaj predstavlja inovativno rješenje koje bi nakon dodatne optimizacije u pogledu korištenja novih materijala (kompoziti, ugljična vlakna i sl.), izrade specifičnih uređaja

isključivo za ovu namjenu (linearna jedinica, generator pare, baterije) te izrade kvalitetnog softvera za upravljanje moglo uvelike olakšati način čišćenja staklenih pročelja i osigurati konkurentnost obzirom da na tržištu još nema ovakvog uređaja. Detaljne specifikacije uređaja i parametri čišćenja mogle bi se odrediti tek nakon izrade odgovarajućeg softvera za upravljanje te izrade prototipa i testiranja.

LITERATURA

- [1] Kraut, B.: Strojarski priručnik, Tehnička knjiga Zagreb, 2009.
- [2] Decker, K. H.: Elementi strojeva, Tehnička knjiga Zagreb, 2006.
- [3] Horvat Z. i suradnici: Vratilo (Proračun), Zagreb,
- [4] <http://www.glassforeurope.com>
Zadnji posjet: studeni 2015.
- [5] <http://www.gradimo.hr/clanak/dvostruka-staklena-procelja/21129>
Zadnji posjet: studeni 2015.
- [6] <http://www.okno-hr.com/staklene-fasade/>
Zadnji posjet: studeni 2015.
- [7] <http://www.yourglass.com/>
Zadnji posjet: studeni 2015.
- [8] <http://work.chron.com/average-income-window-washing-company-owner-19574.html>
Zadnji posjet: studeni 2015.
- [9] <http://www.serbot.ch/>
Zadnji posjet: studeni 2015.
- [10] Jinwei Gu, Ravi Ramamoorthi, Peter Belhumeur, Shree Nayar, Dirty Glass: Rendering Contamination on Transparent Surfaces, Columbia University, 2007
- [11] http://www.thomsonlinear.com/website/com/eng/products/positioning_slides_linear_units/bsdgb_mftf.php
Zadnji posjet: studeni 2015.
- [12] <http://www.kollmorgen.com/en-us/products/motors/servo/akm-series/>
Zadnji posjet: studeni 2015.
- [13] <http://medias.schaeffler.de/>
Zadnji posjet: studeni 2015.
- [14] <http://www.schneider-electric.com/en/product-range-download/2302-lexium-32---motors/?parent-subcategory-id=2935>
Zadnji posjet: studeni 2015.
- [15] http://www.anver.com/document/company/vacuum_cups.htm
Zadnji posjet: studeni 2015.
- [16] http://www.fipa.com/en_GB/products/212414-vacuum-cups
Zadnji posjet: studeni 2015.
- [17] <http://www.in-eco.eu/vacuum-pumps/rotary-vane-pumps/>

-
- Zadnji posjet: studeni 2015.
- [18] https://www.festo.com/cat/hr_hr/products
Zadnji posjet: studeni 2015.
- [19] <http://www.cellkraft.se/downloads/E-Series.html>
Zadnji posjet: studeni 2015.
- [20] [http://www.tanks-direct.co.uk/10-50_litre_water_tanks/12_litre_water_tank_\(natural\)](http://www.tanks-direct.co.uk/10-50_litre_water_tanks/12_litre_water_tank_(natural))
Zadnji posjet: studeni 2015.
- [21] <http://appliedmembranes.com/5-stage-residential-ro-systems.html>
Zadnji posjet: studeni 2015.
- [22] http://www.lechler.de/Products/General-Industry/Air-nozzles/-cbKjB_AAABj4UAAAEvdlOh.E.A-en_US
Zadnji posjet: studeni 2015.
- [23] <http://www.ev-power.eu/Winston-40Ah-200Ah/WB-LYP700AHA-LiFeYPO4-3-2V-700Ah-Special-product.html>
Zadnji posjet: studeni 2015.
- [24] <http://www.sensorsincorporated.com/uploaded/Doc/Sick%20Ultrasonic%20Sensors.pdf>
Zadnji posjet: studeni 2015.
- [25] <http://www.aisglass.com/sites/default/files/pdfs/technical%20papers/AIS-59.pdf>
Zadnji posjet: studeni 2015.

PRILOZI

- I. CD-R disc
- II. Tehnička dokumentacija sa popisom dokumentacije

SVEUČILIŠTE U ZAGREBU
FAKULTET STROJARSTVA I BRODOGRADNJE

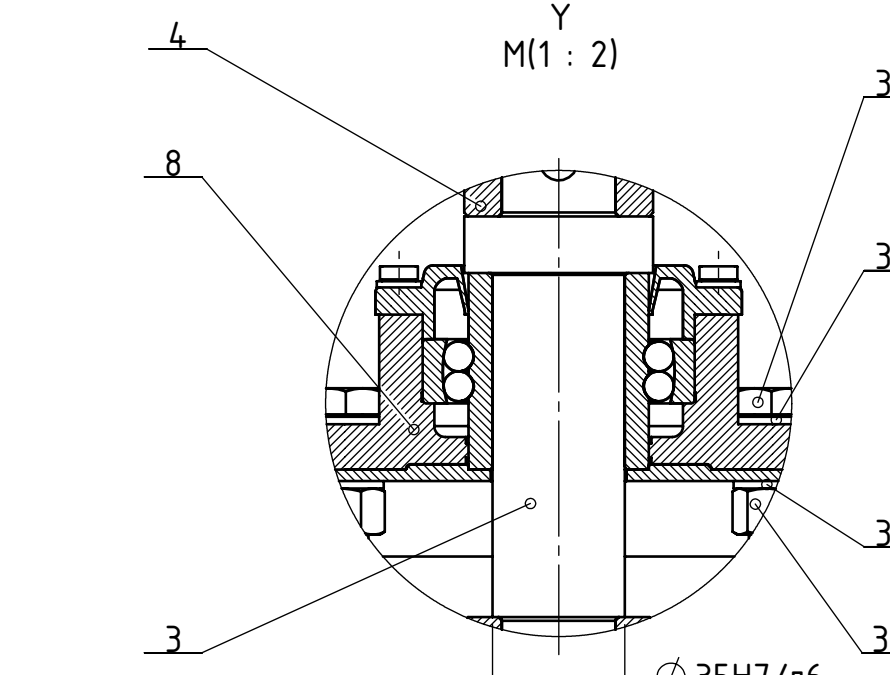
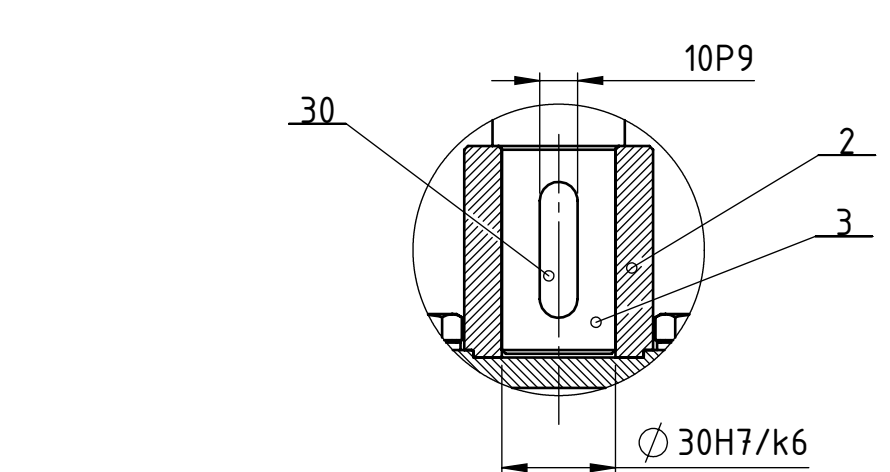
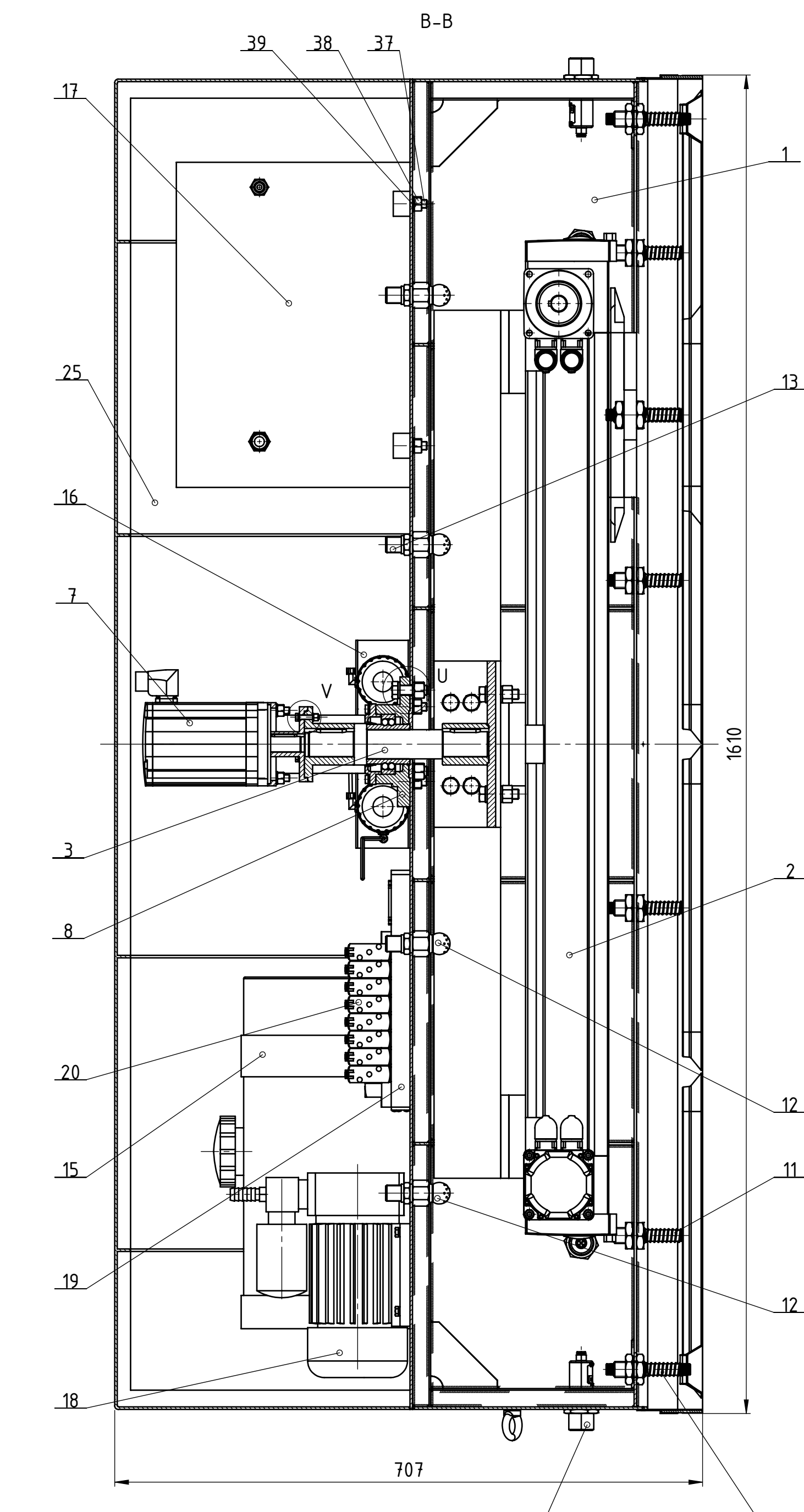
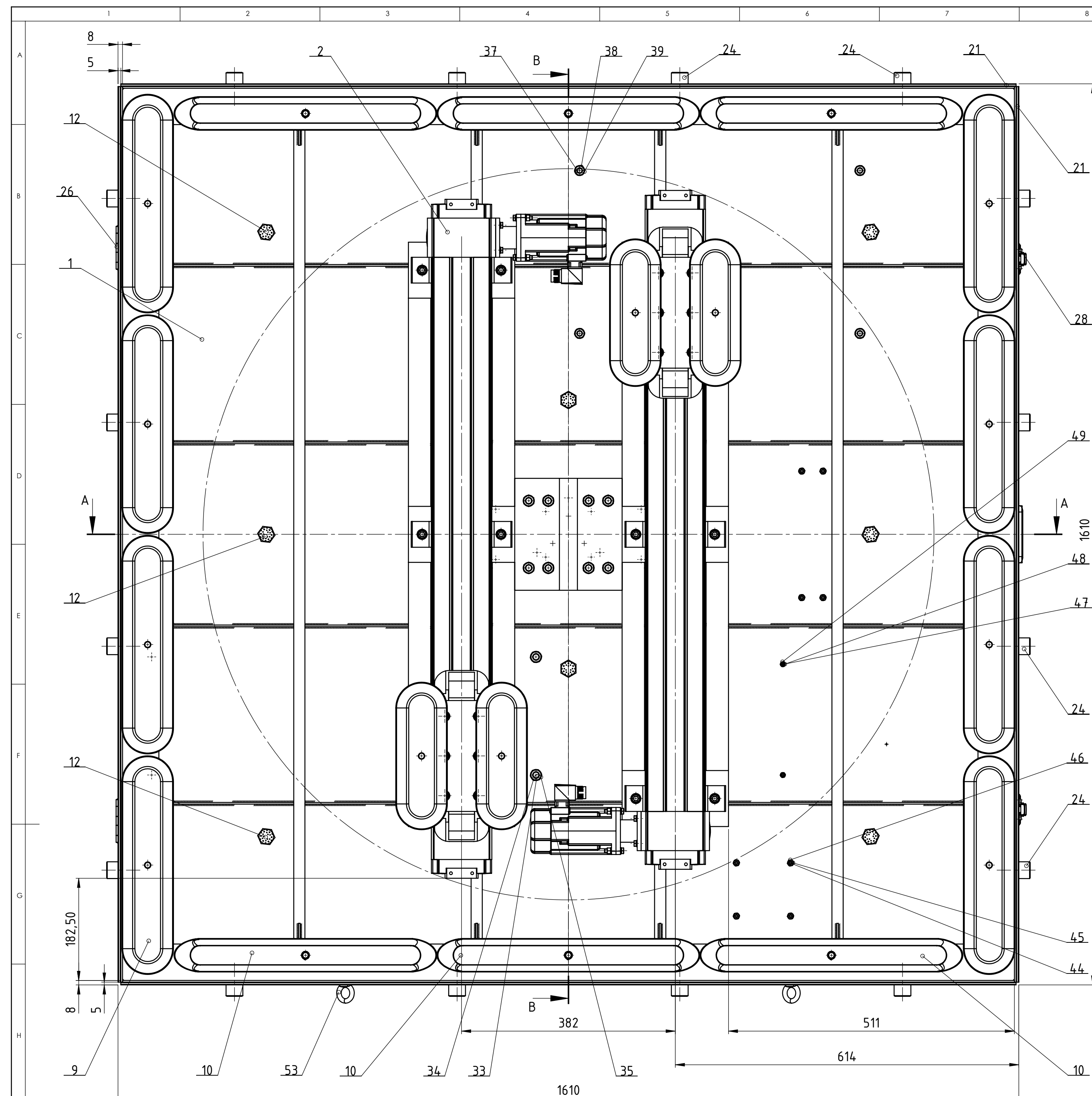
PRILOG DIPLOMSKOM RADU
TEHNIČKA DOKUMENTACIJA SA POPISOM
DOKUMENTACIJE

Ivan Janjiš

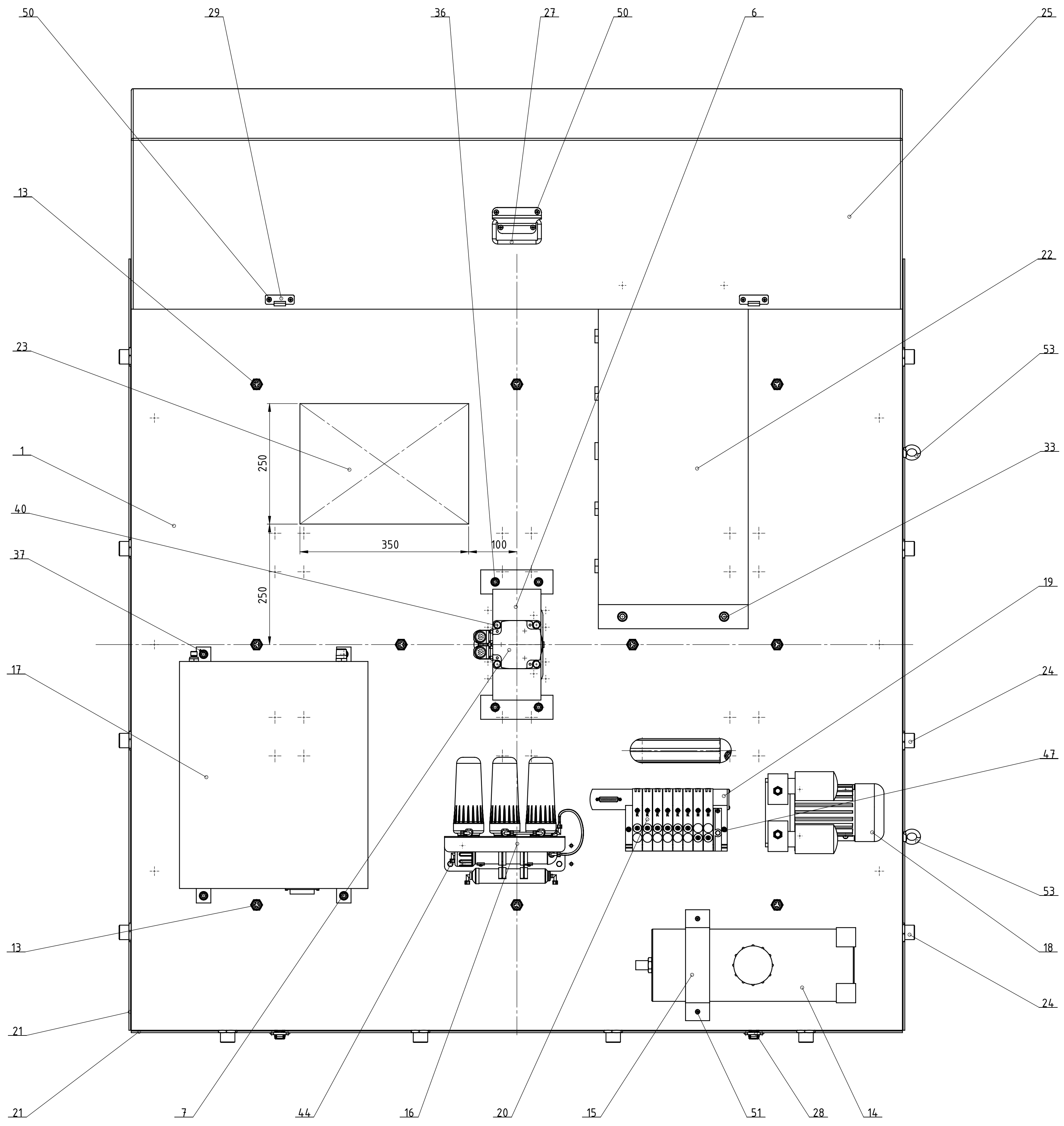
Zagreb, 2015.

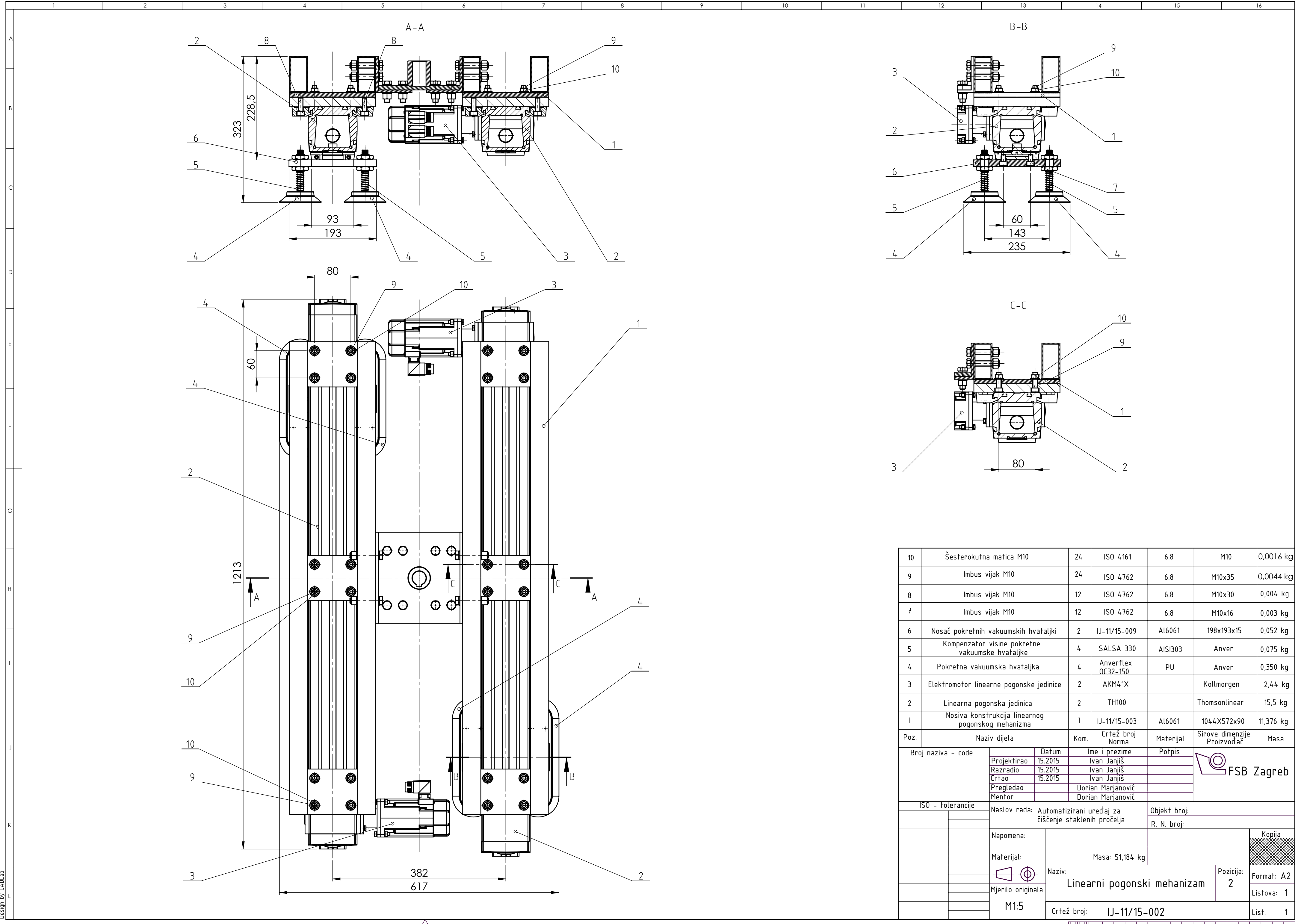
POPIS TEHNIČKE DOKUMENTACIJE

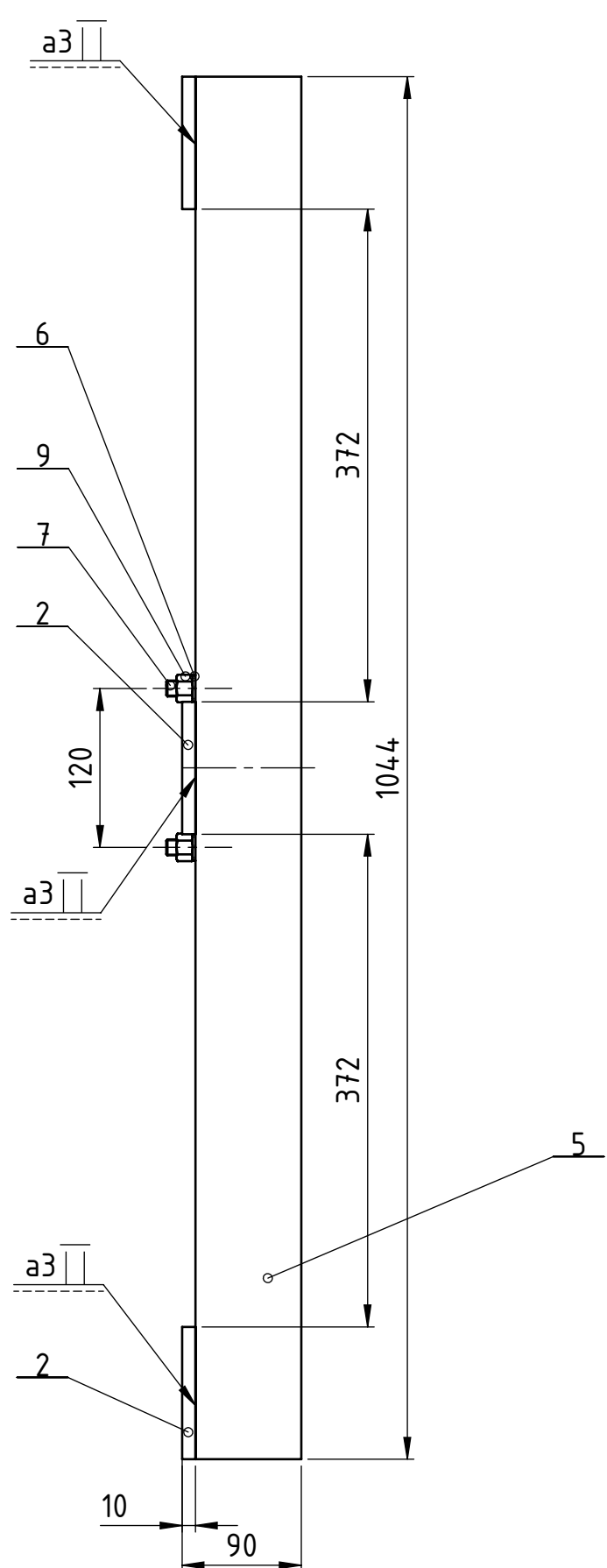
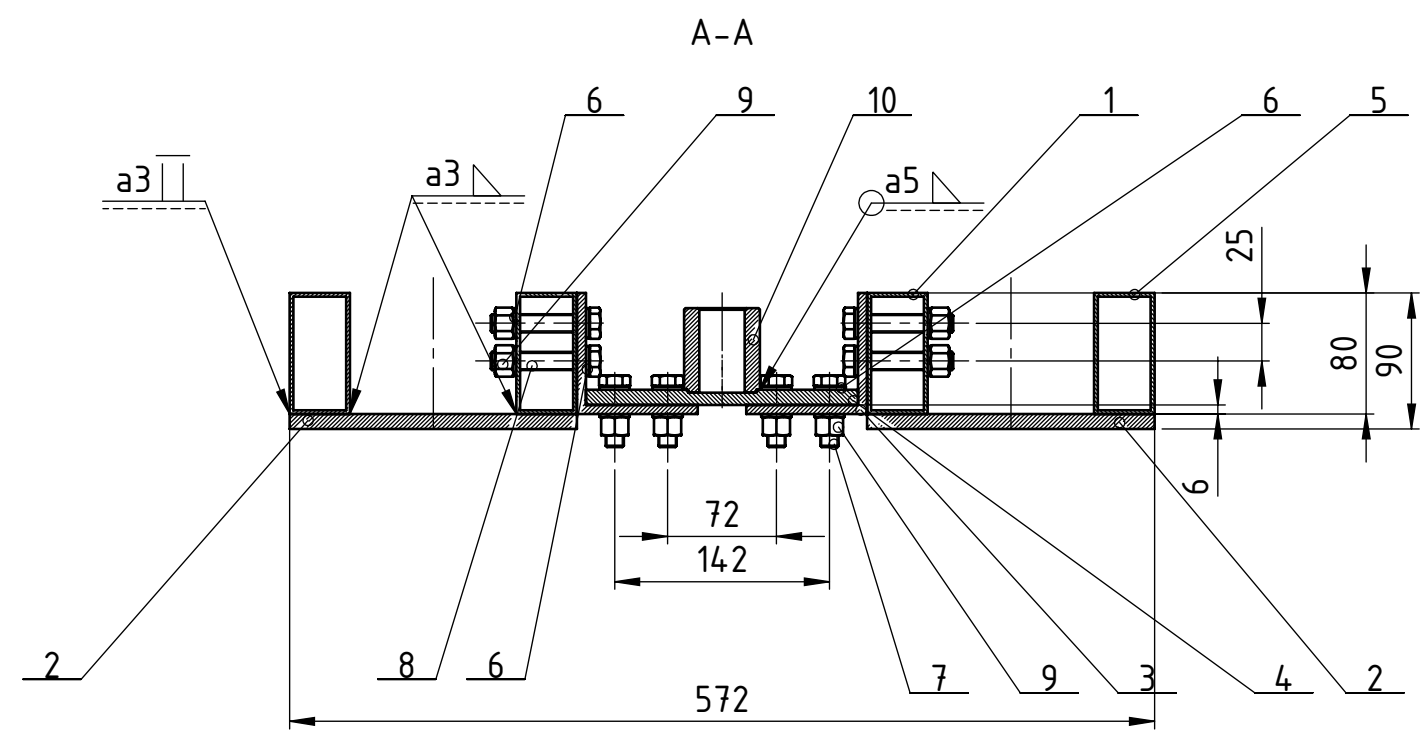
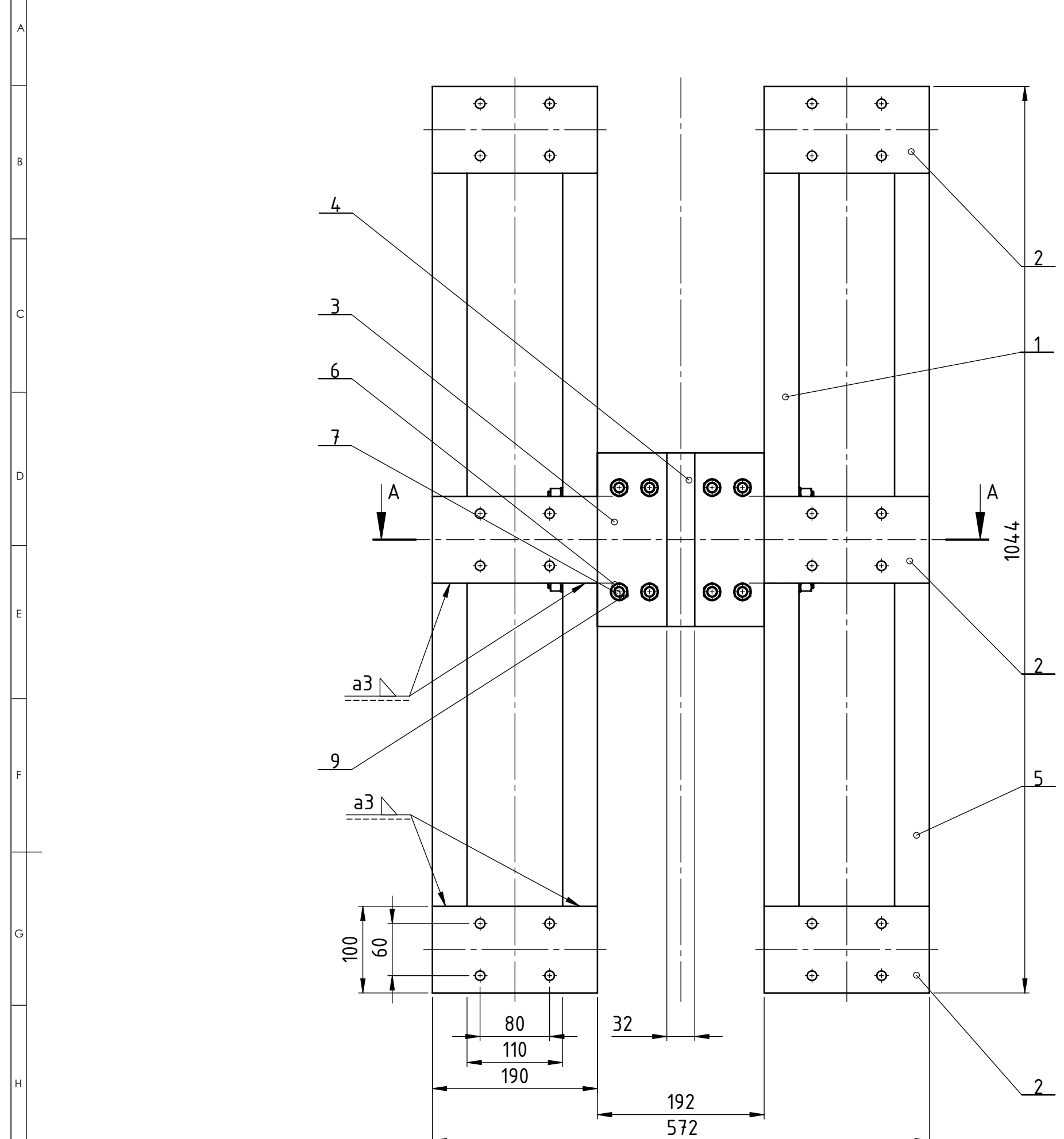
BROJ CRTEŽA	Naziv iz sastavnice
IJ-11/15-001	Automatizirani uređaj za čišćenje staklenih pročelja–poklopac zatvoren
	Automatizirani uređaj za čišćenje staklenih pročelja–poklopac otvoren
IJ-11/15-002	Linearni pogonski mehanizam
IJ-11/15-003	Nosiva konstrukcija linearног pogonskog mehanizma
IJ-11/15-004	Nosiva konstrukcija
IJ-11/15-005	Vratilo
IJ-11/15-006	Glavina linearног pogonskog mehanizma
IJ-11/15-007	Glavina vratila
IJ-11/15-008	Glavina elektromotora za rotaciju pogonskog mehanizma
IJ-11/15-009	Nosač pokretnih vakuumskih hvataljki
IJ-11/15-010	Nosač linearног pogonskog mehanizma
IJ-11/15-011	Nosiva ploča
IJ-11/15-012	Bočna ploča – vertikalna
IJ-11/15-013	Bočna ploča – horizontalna
IJ-11/15-014	Poklopac
IJ-11/15-015	Nosač horizontalnih nepokretnih vakuumskih hvataljki
IJ-11/15-016	Nosač vertikalnih nepokretnih vakuumskih hvataljki
IJ-11/15-017	Trokutasta ukruta



31	Pero 2	1	DIN 6885		6x6x32	0,012 kg
30	Pero 1	2	DIN 6885		10x8x36	0,022 kg
29	Sklopka poklopca - prihvat jezička	2	01-502MSBL	MS	PROTEX	0,0299 kg
28	Sklopka poklopca - jezičak	2	30-502MSBL	MS	PROTEX	0,0742 kg
27	Ručica poklopca	1	94-120AMSBL	MS	PROTEX	0,0858 kg
26	Spojnica poklopca	2	BH-076-050-MS	MS	PROTEX	0,0746 kg
25	Poklopac	1	IJ-11/15-014	Denril(POM)	1600x1600x355	10,250 kg
24	Senzori udaljnosti	16	UM30		SICK	0,150 kg
23	Sustav upravljanja	1	POZICIJA		350x250x100	5 kg
22	Sustav napajanja pomoću baterija	1	WB-LYP700AHA		306x627x135	20 kg
21	Gumeni brisač	4	UNGER	PU	Unger	0,831 kg
20	Ventilski blok	1	FESTO VTUB		FESTO	0,44 kg
19	Priključna letva ventila	1	FESTO VABM		FESTO	0,77 kg
18	Vakuum pumpa	1	INECO-RV22		INECO	13 kg
17	Generator pare	1	Cellkraft E-3000	AISI303	281x471x391	20 kg
16	Sustav pročišćavanja vode RO	1	AAA-245P	X	270X200x30	2,5 kg
15	Osigurač spremnika vode	1	IJ-11/15-019	Al6061	203x230x3	0,254 kg
14	Spremnik vode	1	T12NA-2BC	PEHD	TANKS-DIRECT	1,3 kg
13	Priključak za mlaznicu vodene pare	10	G 1/2, G 1/2	AISI303	LECHLER	0,005 kg
12	Mlaznica vodene pare	10	540.909.16.CA	AISI303	LECHLER	0,007 kg
11	Kompenzator visine vakuumskih hvataljki	14	SALSA 330	AISI303	Anver	0,052 kg
10	Horizontalna nepokretna vakuumska hvataljka	6	FIPA470x60	NBR	FIPA	0,320 kg
9	Vertikalna nepokretna vakuumska hvataljka	8	Anverflex OC32-150	PU	Anver	0,350 kg
8	Kućište sa ležajem	1	F11207		FAG	0,831 kg
7	Elektromotor za rotaciju pogonskog mehanizma	1	BMH1002T		Schneider	1,5 kg
6	Nosač elektromotora za rotaciju pogonskog mehanizma	1	IJ-11/15-018	Al6061	310x150x171	0,052 kg
5	Glavina elektromotora za rotaciju pogonskog mehanizma	1	IJ-11/15-008	Al6061	Ø 90x48	0,152 kg
4	Glavina vratila	1	IJ-11/15-007	Al6061	Ø 90x60	0,298 kg
3	Vratilo	1	IJ-11/15-005	S355	Ø 50x216	1,495 kg
2	Linearni pogonski mehanizam	1	IJ-11/15-002		1213X617x323	51,184 kg
1	Nosiva konstrukcija	1	IJ-11/15-004	Al6061	1600X1600x283	42,676 kg
Poz.	Naziv dijela	Kom.	Crtež broj Norma	Materijal	Sirove dimenzije Proizvodjač	Masa
	ISO - tolerancije		Datum	Ime i prezime	Potpis	
Ø 35H7/k6	+0,023 -0,018	Projektirao Razradio	11.2015 11.2015	Ivan Janjiš Ivan Janjiš		
Ø 30H7/r6	+0,009 -0,050	Crtao Pregledao	11.2015	Ivan Janjiš Dorian Marjanović		
Ø 19H7/k6	+0,019 -0,015	Voditelj rada		Dorian Marjanović		
10P9/h9	-0,025 -0,061	Naslov rada: Automatizirani uređaj za čišćenje staklenih pročelja			Objekt: R. N. broj:	
6P9/h9	-0,021 -0,051	Napomena:			Smjer: KONSTRUKCIJSKI	Kopija
		Materijal:	Masa: 187,22 kg	DIPLOMSKI RAD		
			Naziv: Automatizirani uređaj za čišćenje staklenih pročelja-poklopac zatvoren	Pozicija:		Format: A1
		Mjerilo originala				Listova: 2
		M1:5	Crtež broj: IJ-11/2015-001			List: 1

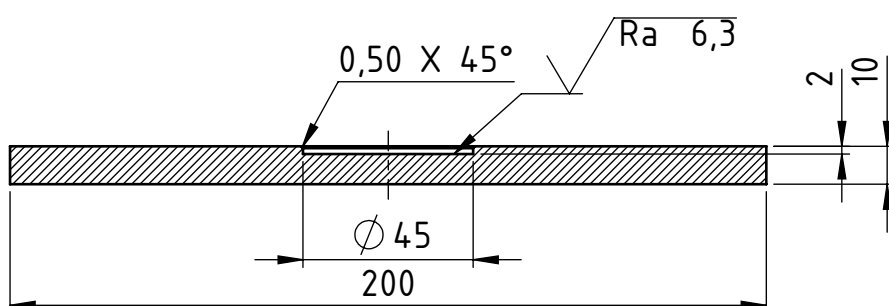
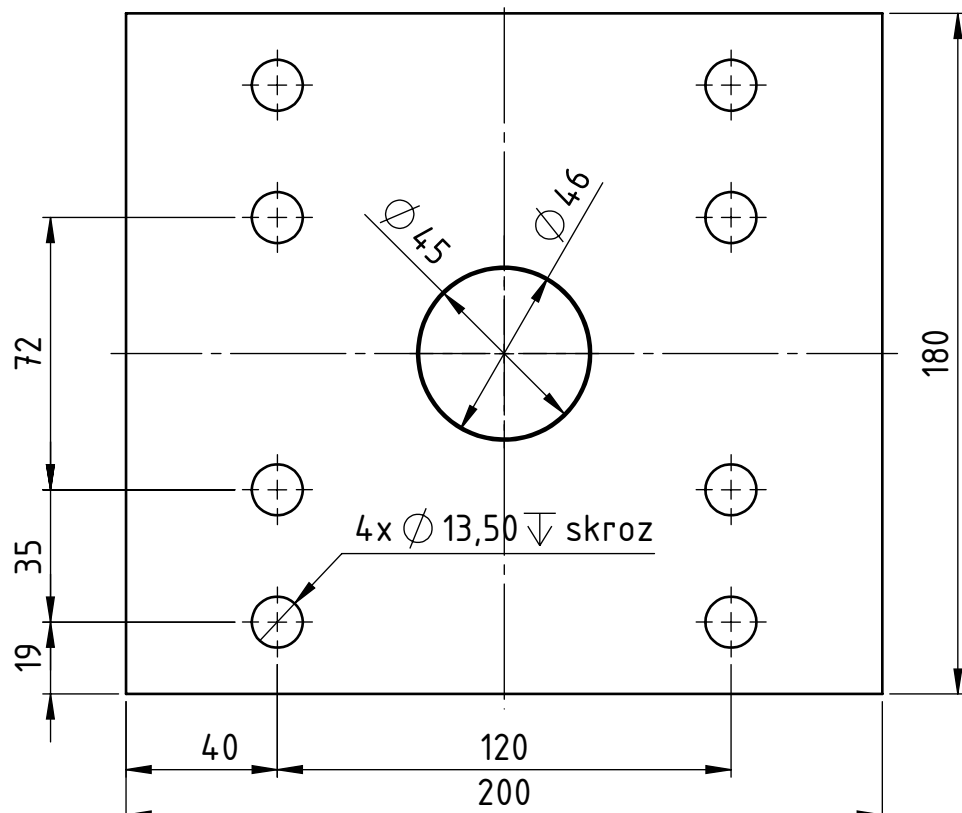


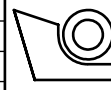
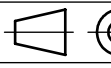


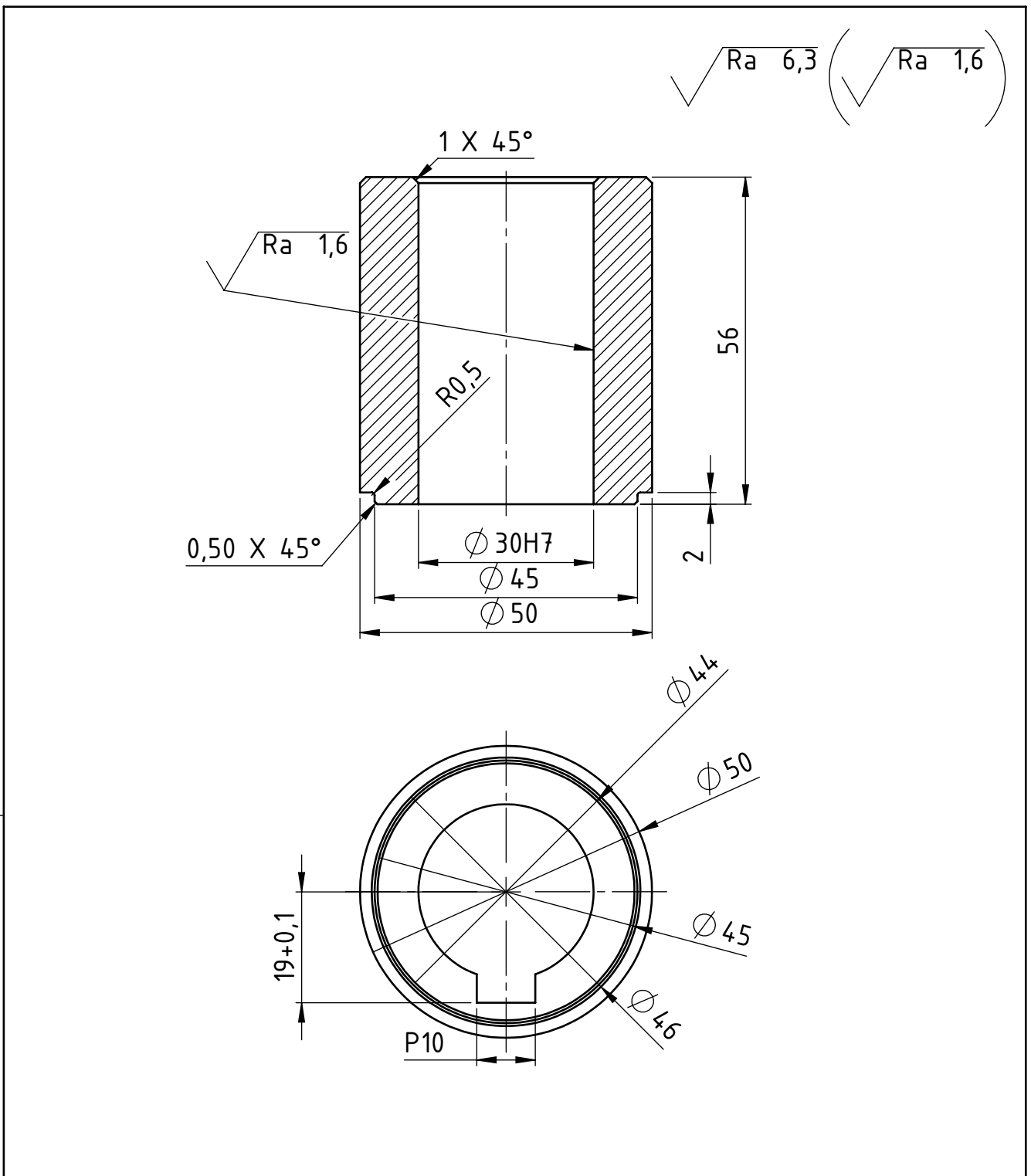


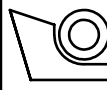
10	Glavina linearog pogonskog mehanizma	1	IJ-11/15-006	Al6061	$\varnothing 50 \times 10 \times 56$	0,180 kg
9	Matica M12	16	ISO 4034	6.8	M12	0,0024 kg
8	Vijak sa šeterokutnom glavom M12	8	ISO 4034	6.8	M12x65	0,0094 kg
7	Vijak sa šeterokutnom glavom M12	8	ISO 4014	6.8	M12x50	0,0066 kg
6	Podložna pločica M12	32	ISO 7092	6.8	M12	0,0003 kg
5	Nosač lineare pogonske jedinice 2	2	80x40x2,50	Al6061	80X40x1044	1,620 kg
4	Element za pričvršćenje lineare pogonske jedinice	4	L profil 80x80x6	Al6061	80X80x200	0,480 kg
3	Nosač linearog pogonskog mehanizma	1	IJ-11/15-010	Al6061	200X180x10	0,932 kg
2	Ploča za pričvršćenje lineare pogonske jedinice	6	100x10	Al6061	100x10x190	0,502 kg
1	Nosač lineare pogonske jedinice 1	2	80x40x2,50	Al6061	80X40x1044	1,613 kg
Poz.	Naziv dijela	Kom.	Crtež broj Norma	Materijal	Sirove dimenzije Proizvod ač	Masa
Broj naziva - code	Projektirao	Datum	Ime i prezime	Potpis	FSB Zagreb	
	Razradio	15.2015	Ivan Janjiš			
	Crtao	15.2015	Ivan Janjiš			
	Pregledao		Dorian Marjanović			
	Mentor		Dorian Marjanović			
ISO - tolerancije	Naslov rada:	Automatizirani uredaj za čišćenje staklenih pročelja	Objekt broj:			
			R. N. broj:			
	Napomena:					
	Materijal:	Al6061	Masa: 11,736 kg			
	Mjerilo originala	M1:5	Naziv: Nosiva konstrukcija linearog pogonskog mehanizma	Pozicija: 1	Format: A2	
					Listova: 1	
			Crtež broj:	IJ-11/15-003	List:	1

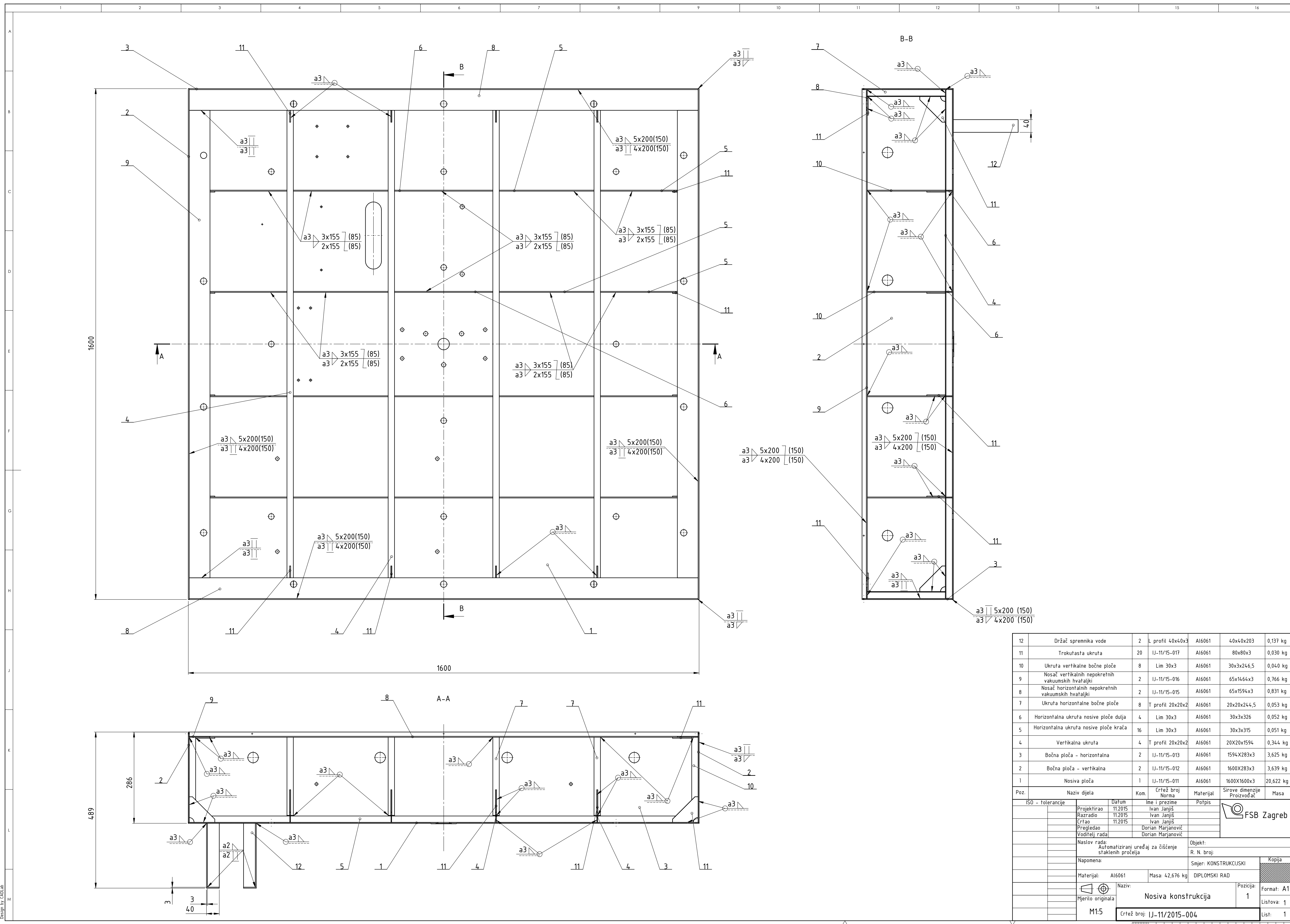
$\checkmark Ra 12,5$ ($\checkmark Ra 6,3$)

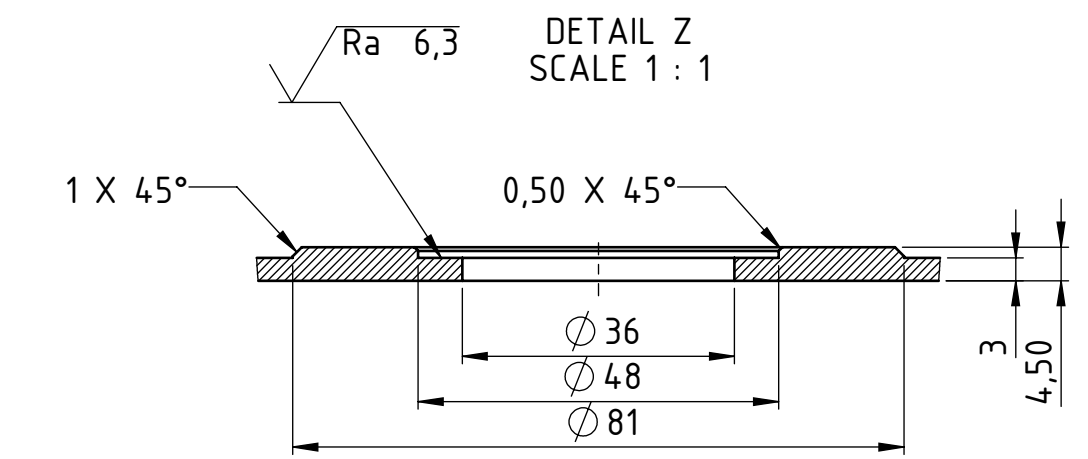
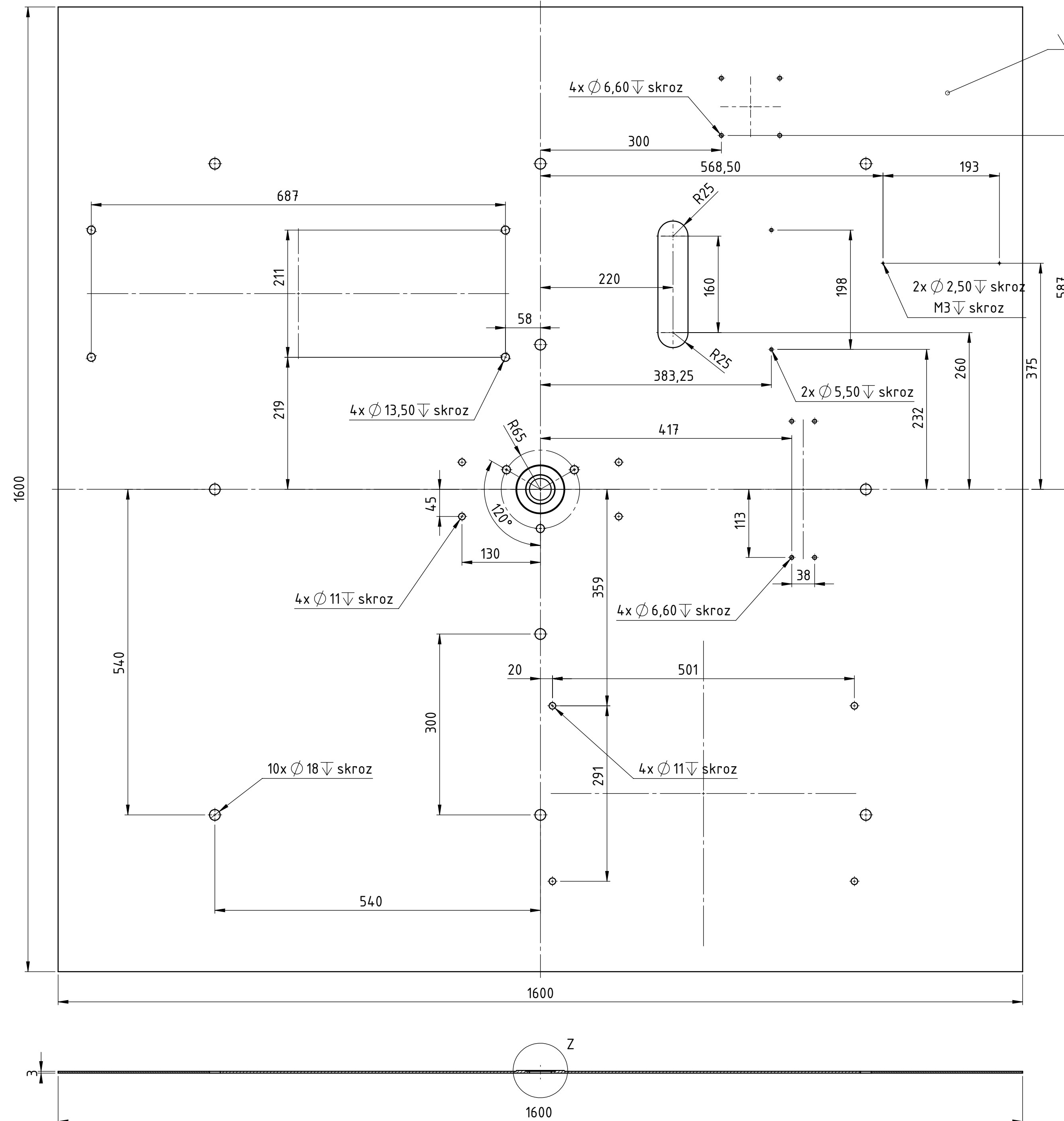


	Datum	Ime i prezime	Potpis	 FSB Zagreb
Projektirao	11.2015.	Ivan Janjiš		
Razradio	11.2015.	Ivan Janjiš		
Crtao	11.2015.	Ivan Janjiš		
Pregledao		Dorian Marjanović		
Voditelj rada		Dorian Marjanović		
Naslov rada:	Automatizirani uređaj za čišćenje staklenih pročelja		Objekt:	Kopija
			R. N. broj:	
Materijal:	Al6061	Masa: 0,932 kg	DIPLOMSKI RAD	Kopija
	Naziv: Nosač linearног pogonskog mehanizma		Pozicija: 3	Format: A4
Mjerilo originala				Listova: 1
M1:2	Crtanje broj: IJ-11/15-010			List: 1



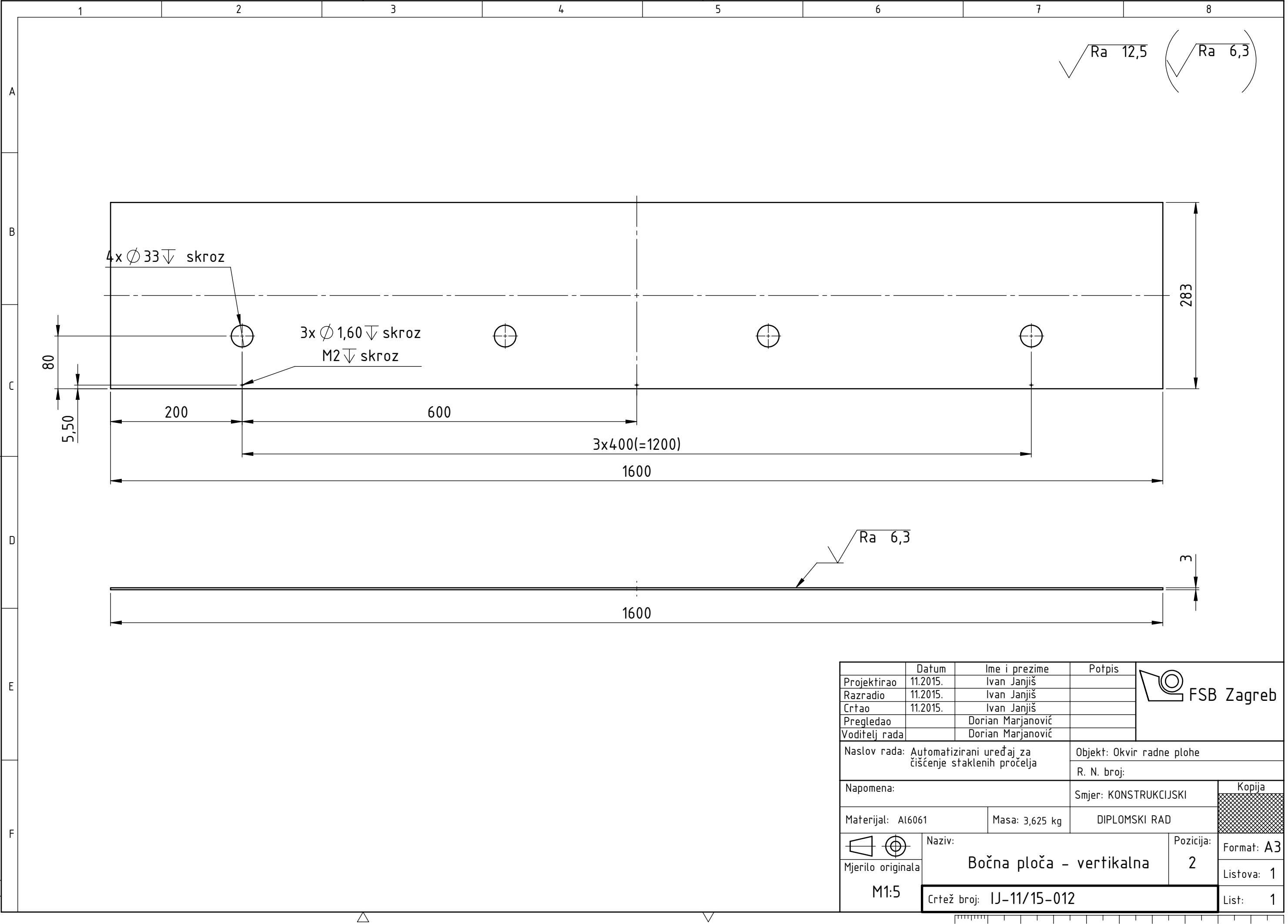
Broj naziva - code	Datum	Ime i prezime	Potpis	 FSB Zagreb
	Projektirao	11.2015.	Ivan Janjiš	
	Razradio	11.2015.	Ivan Janjiš	
	Crtao	11.2015.	Ivan Janjiš	
	Pregledao		Dorian Marjanović	
	Voditelj rada		Dorian Marjanović	
ISO - tolerancije	Naslov rada:	Automatizirani uređaj za čišćenje staklenih pročelja	Objekt:	
Ø30H7 + 0,025 0			R. N. broj:	
10P9 -0,018 -0,061			Smjer: KONSTRUKCIJSKI	Kopija
	Materijal: Al6061	Masa: 0,180 kg	DIPLOMSKI RAD	
	Naziv: Glavina linearne pogonske mekanizma		Pozicija: 10	Format: A4
	Mjerilo originala			Listova: 1
Design by CADlab	M1:1	Crtanje broj: IJ-11/15-006		List: 1

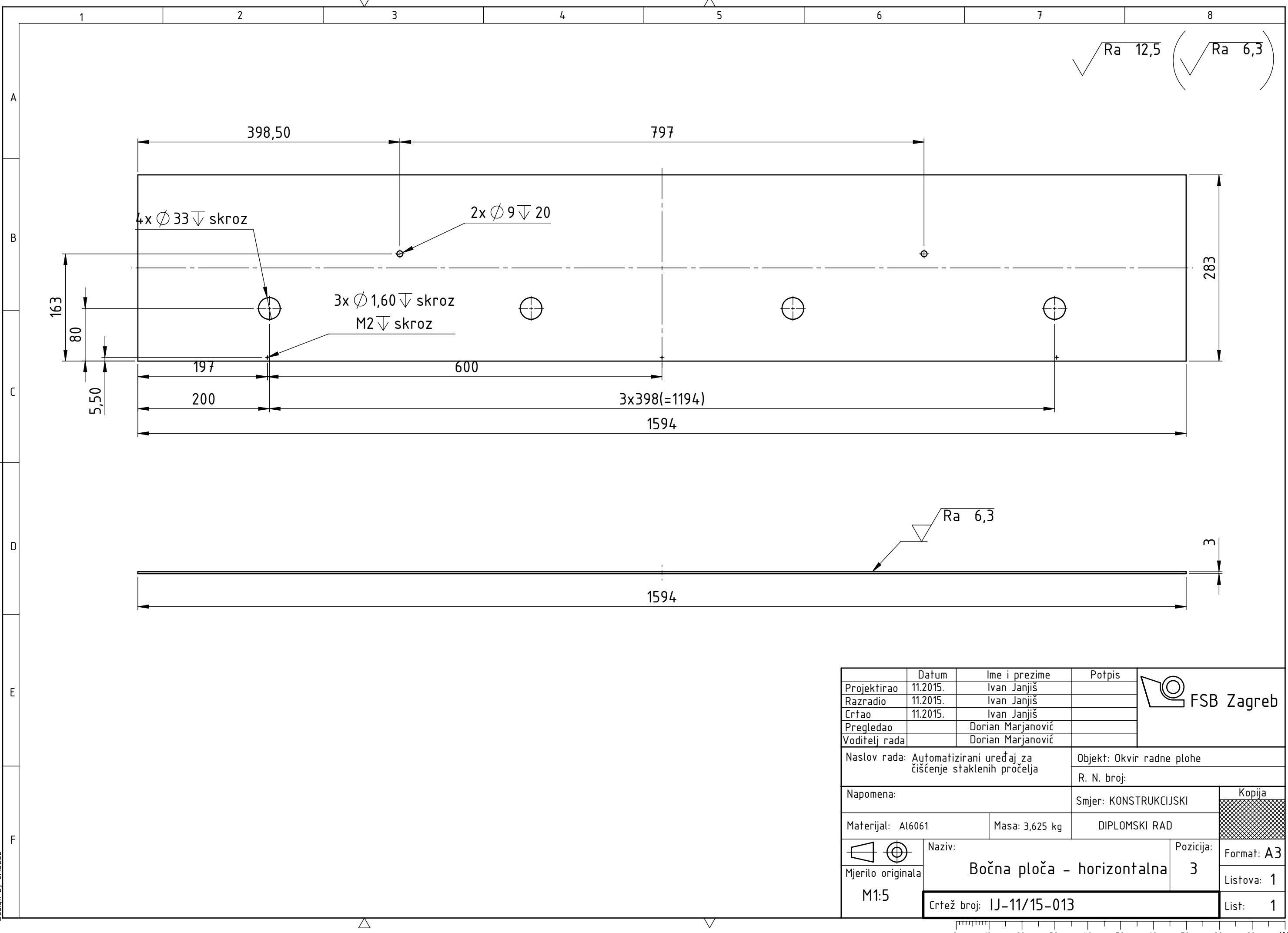




Broj naziva - code	Datum	Ime i prezime	Potpis	FSB Zagreb
Projektirao	15.2015	Ivan Janjiš		
Razradio	15.2015	Ivan Janjiš		
Crtao	15.2015	Ivan Janjiš		
Pregledao		Dorian Marjanović		
Mentor		Dorian Marjanović		
ISO - tolerancije	Naslov rada: Automatizirani uređaj za čišćenje staklenih pročelja	Objekt broj:		
		R. N. broj:		
Napomena:				
Materijal:	Al6061	Masa: 20,622 kg		
Mjerilo originala	Naziv:		Pozicija:	
M 1:5			Format: A2	
			Listova:	1
			List:	1
			Crtež broj:	IJ-11/15-011

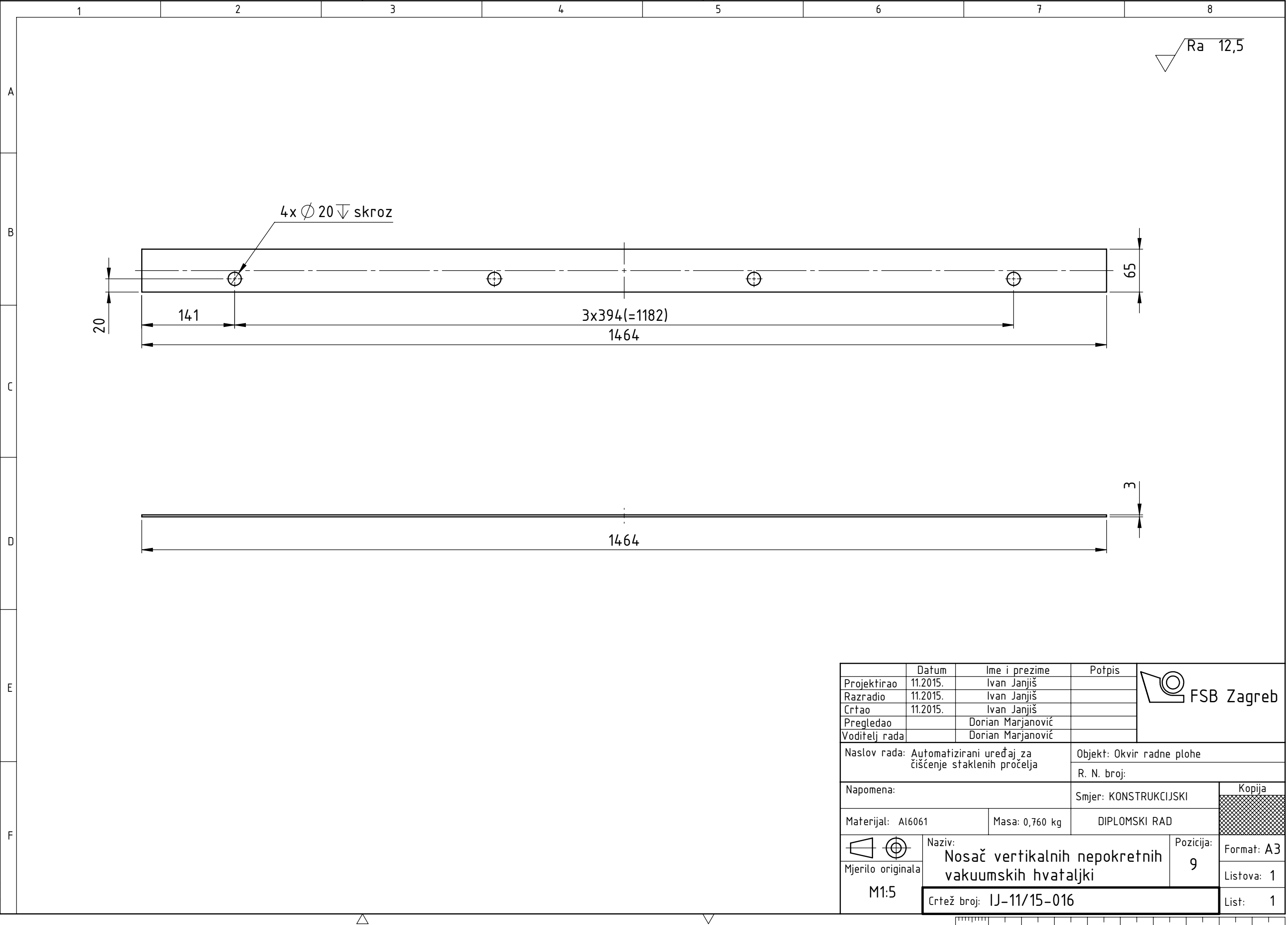
1 2 3 4 5 6 7 8



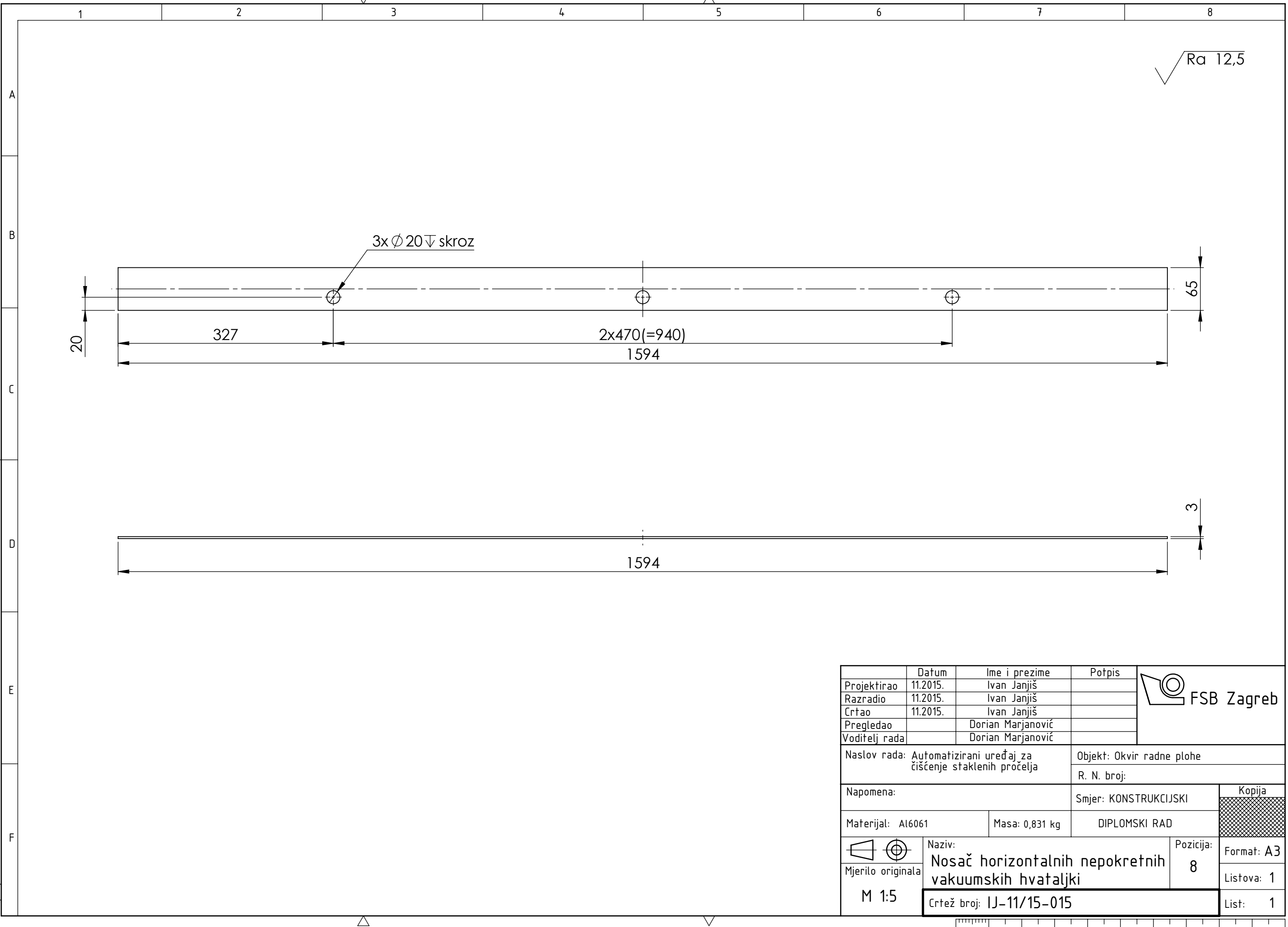


	Datum	Ime i prezime	Potpis	FSB Zagreb
Projektirao	11.2015.	Ivan Janjiš		
Razradio	11.2015.	Ivan Janjiš		
Crtao	11.2015.	Ivan Janjiš		
Pregledao		Dorian Marjanović		
Voditelj rada		Dorian Marjanović		
Naslov rada:	Automatizirani uređaj za čišćenje staklenih pročelja		Objekt:	Okvir radne plohe
			R. N. broj:	
Napomena:			Smjer:	KONSTRUKCIJSKI
Materijal:	Al6061	Masa: 3,625 kg	DIPLOMSKI RAD	Kopija
Mjerilo originala	Bočna ploča - horizontalna		Pozicija:	A3
M1:5	Naziv: Bočna ploča - horizontalna		Listova:	1
	Crtež broj: IJ-11/15-013		List:	1

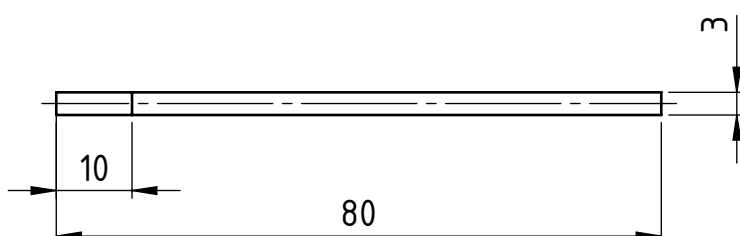
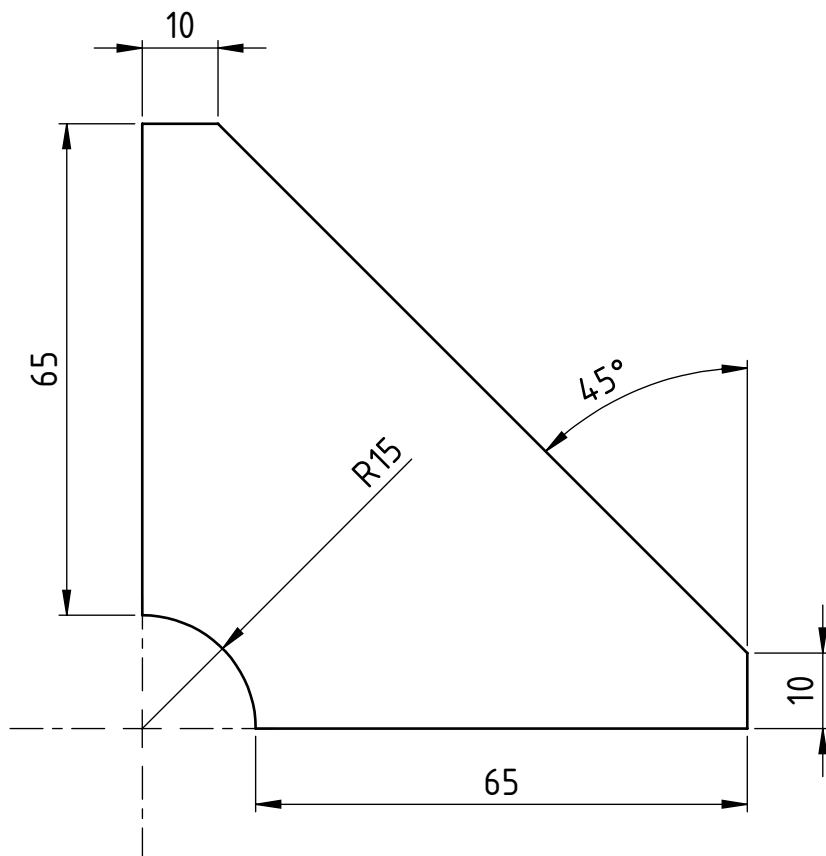
1 2 3 4 5 6 7 8

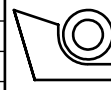


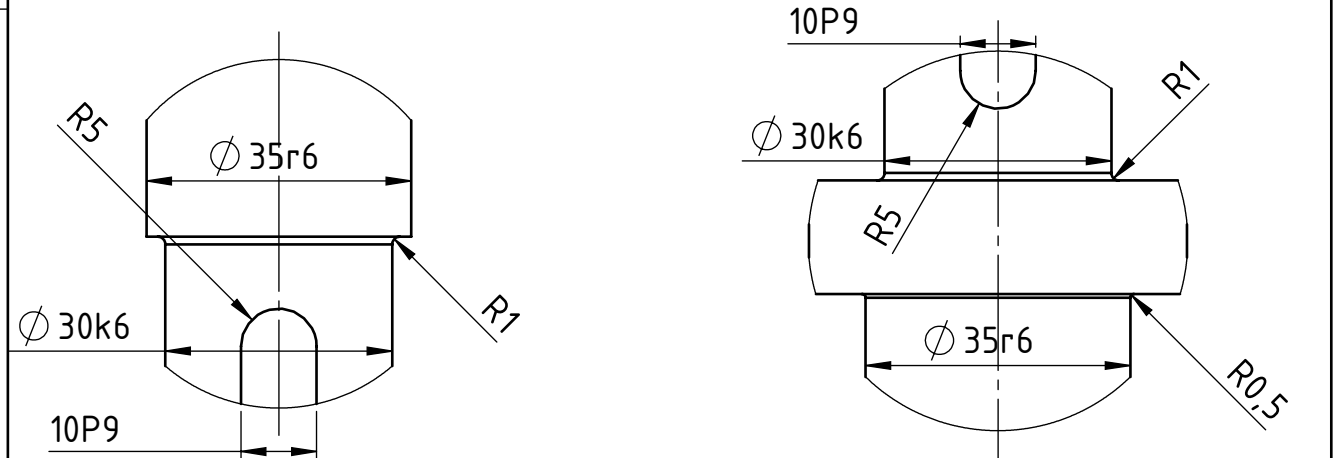
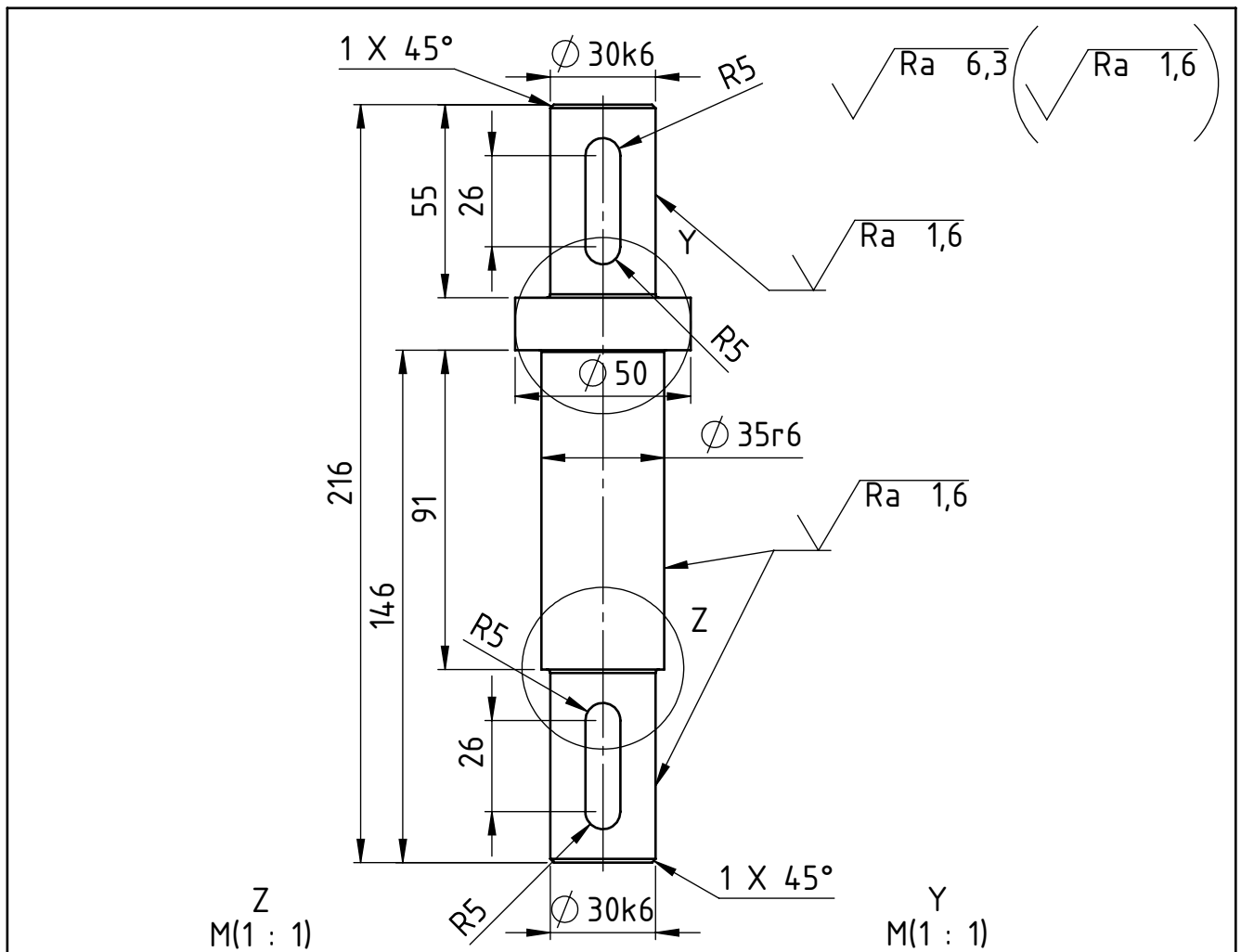
1 2 3 4 5 6 7 8



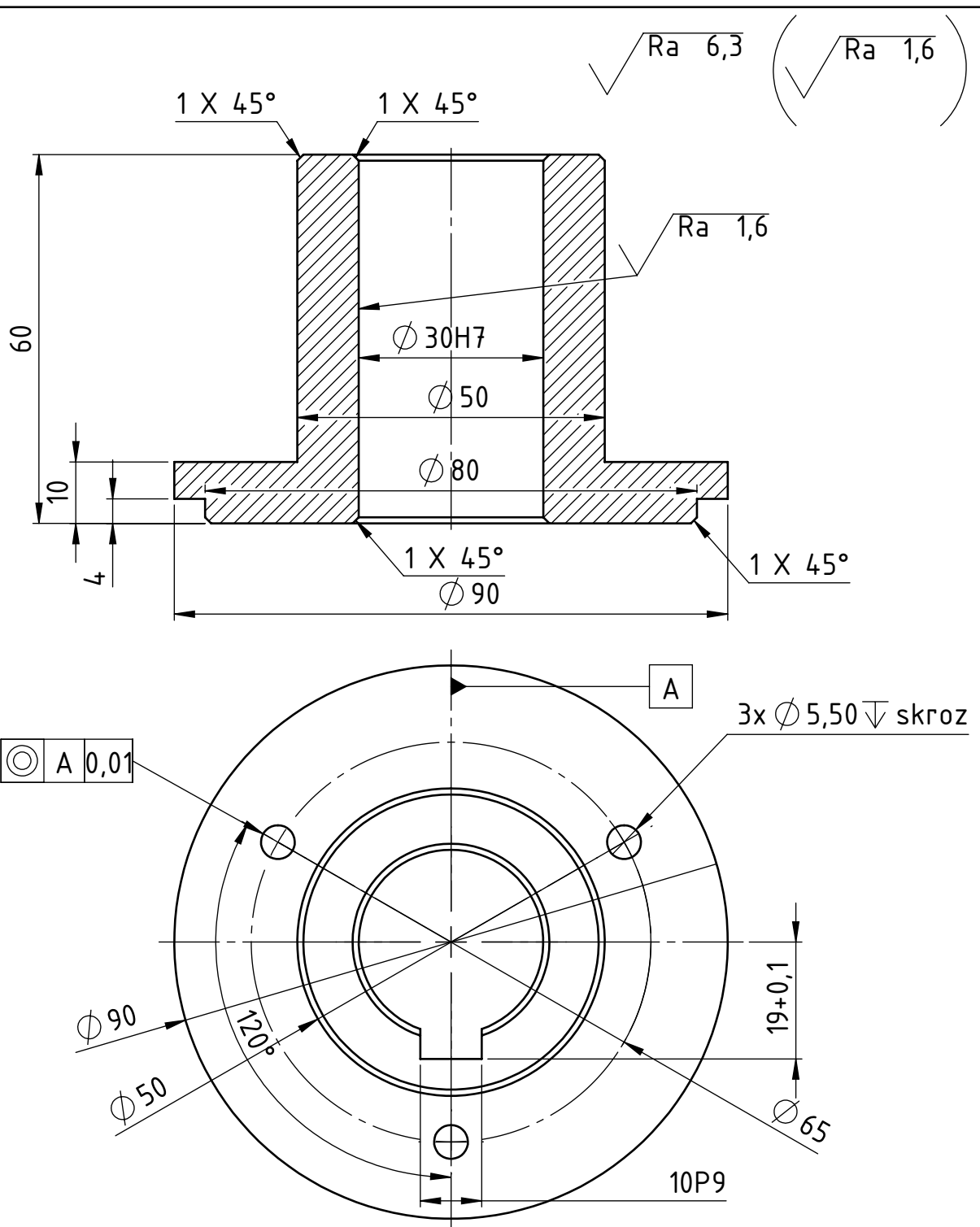
\checkmark Ra 12,5

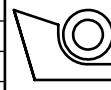


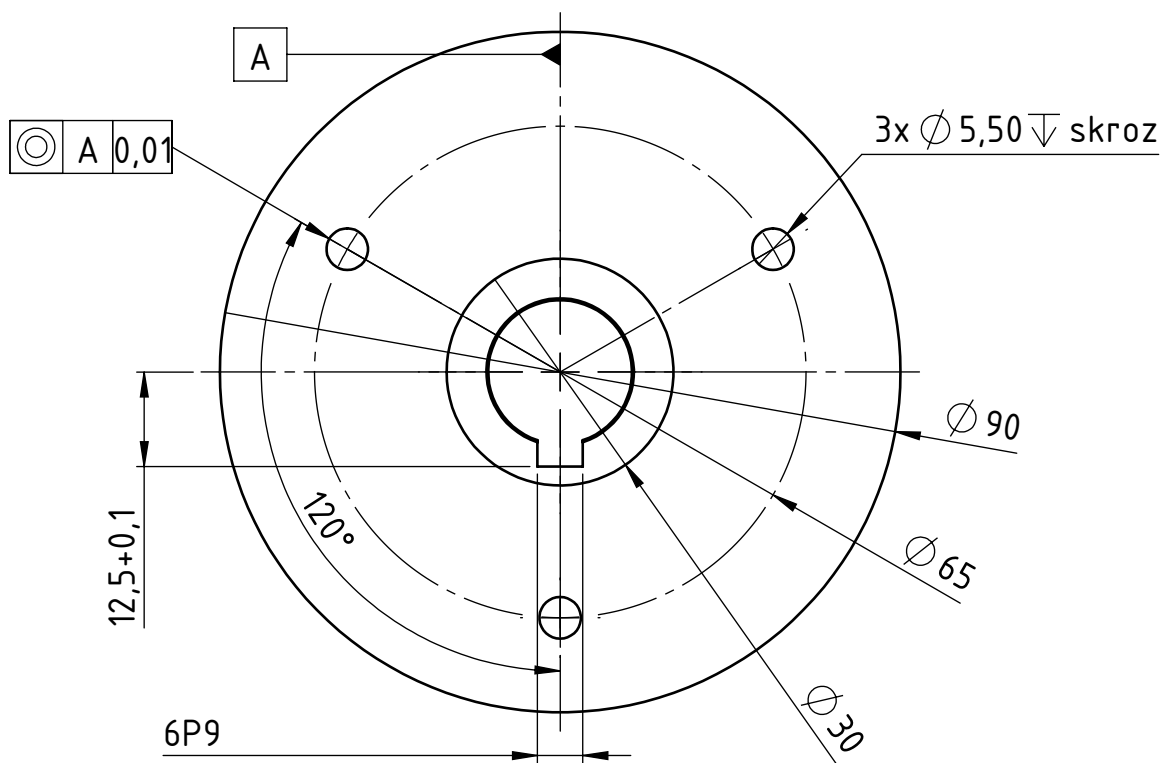
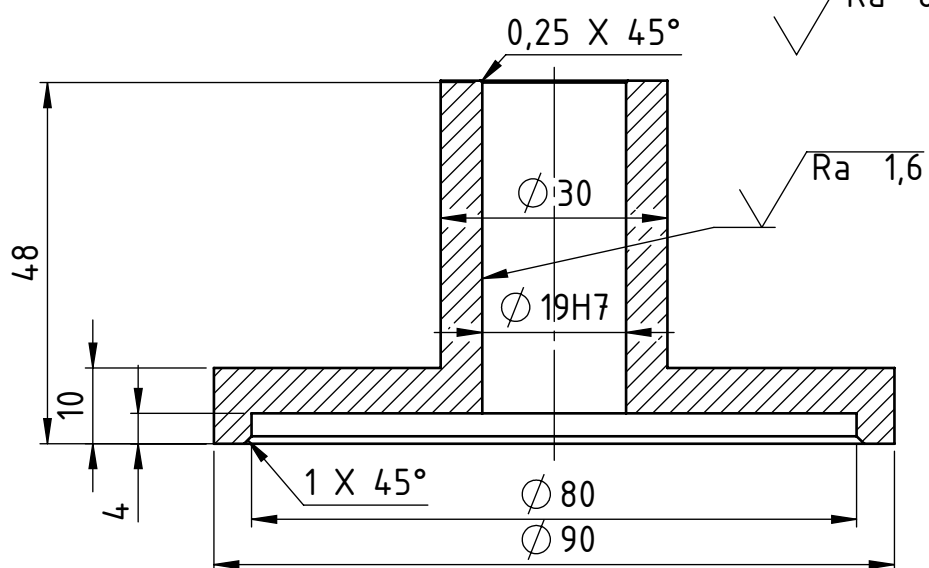
Projektirao	Datum	Ime i prezime	Potpis	 FSB Zagreb
Razradio	11.2015.	Ivan Janjiš		
Crtao	11.2015.	Ivan Janjiš		
Pregledao		Dorian Marjanović		
Voditelj rada		Dorian Marjanović		
Naslov rada:		Automatizirani uređaj za čišćenje staklenih pročelja	Objekt:	
			R. N. broj:	
Materijal:	Al6061	Masa: 0,030 kg	Smjer: KONSTRUKCIJSKI	Kopija
Mjerilo originala	Naziv:	Trokutasta ukruta	Pozicija: 11	Format: A4
M1:1	Crtanje broj:	IJ-11/15-0017	Listova: 1	List: 1

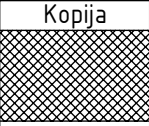


Broj naziva - code	Datum	Ime i prezime	Potpis	 FSB Zagreb
	Projektirao	11.2015.	Ivan Janjiš	
	Razradio	11.2015.	Ivan Janjiš	
	Crtao	11.2015.	Ivan Janjiš	
	Pregledao		Dorian Marjanović	
	Voditelj rada		Dorian Marjanović	
ISO - tolerancije	Naslov rada:	Automatizirani uređaj za čišćenje staklenih pročelja	Objekt:	
$\phi 35r6$ +0,050 +0,034			R. N. broj:	
$\phi 30k6$ +0,018 +0,002			Smjer: KONSTRUKCIJSKI	Kopija
$10P9$ -0,018 -0,061	Materijal: S355	Masa: 1,495 kg	DIPLOMSKI RAD	
	Naziv:	Vratilo	Pozicija: 3	Format: A4
	Mjerilo originala			Listova: 1
	M1:2	Crtanje broj: IJ-11/15-005		List: 1



Broj naziva - code		Datum	Ime i prezime	Potpis	 FSB Zagreb	
	Projektirao	11.2015.	Ivan Janjiš			
	Razradio	11.2015.	Ivan Janjiš			
	Crtao	11.2015.	Ivan Janjiš			
	Pregledao		Dorian Marjanović			
	Voditelj rada		Dorian Marjanović			
ISO - tolerancije	Naslov rada: Automatizirani uređaj za čišćenje staklenih pročelja		Objekt:			
Ø 30H7	+ 0,025			R. N. broj:		
	0					
10P9	-0,018			Smjer: KONSTRUKCIJSKI	Kopija	
	-0,061					
		Materijal: Al6061	Masa: 0,298 kg	DIPLOMSKI RAD		
		Naziv: Glavina vratila		Pozicija: 4	Format: A4	
		Mjerilo originala			Listova: 1	
		M1:1	Crtanje broj: IJ-11/15-007		List: 1	



Broj naziva - code		Datum	Ime i prezime	Potpis	 FSB Zagreb
	Projektirao	11.2015.	Ivan Janjiš		
	Razradio	11.2015.	Ivan Janjiš		
	Crtao	11.2015.	Ivan Janjiš		
	Pregledao		Dorian Marjanović		
	Voditelj rada		Dorian Marjanović		
ISO - tolerancije	$\varnothing 19H7$	Naslov rada: Automatizirani uređaj za čišćenje staklenih pročelja		Objekt: R. N. broj:	
		+ 0,021			
		0			
6P9	$-0,015$ $-0,051$			Smjer: KONSTRUKCIJSKI	Kopija
					
		Materijal: Al6061	Masa: 0,152 kg	DIPLOMSKI RAD	
Design by CADlab		  Mjerilo originala M1:1	Naziv: Glavina elektromotora za rotaciju pogonskog mehanizma	Pozicija: 5	Format: A4 Listova: 1
			Crtanje broj: IJ-11/15-008		List: 1

